

Sistema de Transmisión AM con Codificación DTMF

Informe de Trabajo Integrador



**Procesamiento Digital de Señales
Ingeniería en Computación
Facultad de Ciencias Exactas y Tecnología
Universidad Nacional de Tucumán**

Autores:

Boeri, Benjamin
Campero, Leandro
Villafañe, Cristian

28 de agosto de 2023

Resumen

El procesamiento digital de señales se refiere a la manipulación, análisis y transformación de señales utilizando algoritmos y técnicas computacionales. En este proyecto, el procesamiento digital de señales se aplica para generar y decodificar los tonos DTMF, así como para simular la transmisión y detección de los dígitos enviados.

Este proyecto presenta la implementación de un sistema de Modulación en Amplitud (AM) y Codificación DTMF utilizando MATLAB/SIMULINK. Se busca transmitir dígitos numéricos codificados en DTMF a través de un enlace cableado simulado. El sistema involucra la generación de tonos DTMF, el diseño de filtros digitales pasa bandas para el decodificador, la configuración de la frecuencia de portadora RF y la modelización del canal de transmisión como un filtro analógico pasa banda.

Un filtro digital es un componente esencial en el procesamiento digital de señales que permite modificar las características de una señal. En este proyecto, se utilizan filtros digitales pasa bandas implementados mediante la técnica del filtro Butterworth. Estos filtros permiten seleccionar y aislar las frecuencias específicas asociadas a los tonos DTMF.

La implementación de los filtros digitales se logra mediante la transformación de los coeficientes del filtro en una representación numérica que se aplica a la señal de entrada. Esto puede lograrse utilizando algoritmos y técnicas de programación, así como también herramientas como MATLAB y SIMULINK.

El resultado de este proyecto demuestra la viabilidad y efectividad de la implementación del sistema propuesto. El procesamiento digital de señales y el uso de filtros digitales son fundamentales en diversas aplicaciones, incluyendo las comunicaciones y el procesamiento de señales de audio.

En resumen, este proyecto combina el procesamiento digital de señales, la modulación AM, el diseño de filtros digitales y la codificación DTMF para lograr la transmisión y detección de dígitos numéricos. La implementación exitosa de este sistema contribuye al avance y comprensión de las técnicas de procesamiento y transmisión de señales en el ámbito de las comunicaciones.

Índice general

Índice general	1
1. Introducción	4
1.1. Problema propuesto	4
1.2. Objetivo	4
1.3. Enunciado	5
1.4. Lineamientos Generales	5
2. Planteamiento	7
2.1. Sistema	7
2.2. Decodificación	8
2.3. Simulación	8
3. Filtros Digitales	10
3.1. Diseño	11
3.2. Conversión a digital	14
3.3. Estabilidad	16
3.4. Conclusiones	20
4. Desarrollo	22
4.1. Análisis	22
4.2. Diseño	24
4.3. Prototipo	28
4.4. Simulación	29
4.4.1. Ancho de banda Extendido - 1 [MHz]	29
4.4.2. Ancho de banda Reducido - 3 [kHz]	35
4.4.3. Canal con Fallas	41
5. Conclusiones	46
5.1. Resultados	46
5.2. Aplicaciones	46
5.3. Problemáticas	47

5.4. Conceptos	47
Bibliografía	48
Siglas	49
Índice de figuras	50
Índice de cuadros	52
Índice de bloques de código fuente	53
A. Cálculos algebráicos	54
A.1. Diseño de filtro digital $H(z)$	54
B. Scripts de Matlab	55
B.1. Polos y Ceros	55
B.2. Respuesta al Impulso y al Escalón	56
B.3. Estabilidad de Filtro Pasa-Banda	57
C. Análisis de Estabilidad	58
C.1. Filtro pasa-banda centrado en 697 [Hz]	59
C.2. Filtro pasa-banda centrado en 770 [Hz]	60
C.3. Filtro pasa-banda centrado en 852 [Hz]	61
C.4. Filtro pasa-banda centrado en 941 [Hz]	62
C.5. Filtro pasa-banda centrado en 1209 [Hz]	63
C.6. Filtro pasa-banda centrado en 1336 [Hz]	64
C.7. Filtro pasa-banda centrado en 1477 [Hz]	65
C.8. Polos y Ceros	66
D. Señales a través del canal con fallas	68
D.1. Número 1: 697 [Hz] + 1209 [Hz]	69
D.2. Número 2: 697 [Hz] + 1336 [Hz]	71
D.3. Número 3: 697 [Hz] + 1477 [Hz]	73
D.4. Número 4: 770 [Hz] + 1336 [Hz]	75
D.5. Número 5: 770 [Hz] + 1336 [Hz]	77
D.6. Número 6: 770 [Hz] + 1477 [Hz]	79
D.7. Número 7: 852 [Hz] + 1209 [Hz]	81
D.8. Número 8: 852 [Hz] + 1336 [Hz]	83

D.9. Número 9: 852 [Hz] + 1477 [Hz]	85
D.10. Número 0: 941 [Hz] + 1336 [Hz]	87

Capítulo 1

Introducción

1.1. Problema propuesto

La modulación en amplitud o Amplitud Modulada (AM), permite la transmisión de una señal de baja frecuencia superpuesta a una onda de alta frecuencia. Este sistema de modulación permite enviar mensajes en la forma de envolventes de la onda portadora, ya sea por un canal de aire o físico utilizando un enlace cableado.

El sistema de codificación Doble Tonos Múltiples Frecuencias (DTMF), utiliza una combinación de tonos de frecuencia audibles para representar el conjunto de números del 0 al 9 disponible en el teclado telefónico, con lo cual es posible enviar una codificación numérica por la línea telefónica.

El modelo de trabajo está representado en la Figura 1.1, correspondientes al Modulador y Demodulador AM, el canal de cable telefónico, y las etapas de codificación y decodificación DTMF.



Figura 1.1: Diagrama de bloques general

1.2. Objetivo

El objetivo principal de este proyecto integrador es la implementación del sistema mostrado en la Figura 1.1, utilizando MATLAB, SIMULINK, o la combinación de ambos recursos de modelado computacional, para el envío de números (0-9) codificados en DTMF bajo modulación AM, y la detección del número enviado a la salida (uno número cada vez).

A modo de referencia, el Cuadro 1.1, muestra la combinación de tonos auditivos asociados al conjunto numérico, y en el enlace indicado se encuentra la información ampliada sobre la codificación DTMF.

Frecuencia Baja	Frecuencia Alta	Dígito	Frecuencia Final
697	1209	1	1906
697	1336	2	2033
697	1477	3	2174
770	1209	4	1979
770	1336	5	2106
770	1477	6	2247
852	1209	7	2061
852	1336	8	2188
852	1477	9	2329
941	1336	0	2277

Cuadro 1.1: Combinación de tonos audibles (medido en [Hz])

1.3. Enunciado

- a) A nivel simulación se deberán sintetizar los tonos asociados a cada dígito numérico seleccionando una Frecuencia de Muestreo (f_s) apropiada (Teorema de Nyquist-Shannon).
- b) El demodulador DTFM deberá ser implementado mediante filtros digitales pasa bandas, con un orden y respuestas apropiadas. El modo de indicar cuál fue el dígito enviado queda a criterio del grupo de trabajo.
- c) Para el modelo de transmisión AM (enlace cableado) se deberán establecer y sintetizar la frecuencia de portadora RF el índice de modulación apropiados (recordando que f_s es única en todo el sistema).
- d) El canal de transmisión se corresponde al de un filtro analógico (transformado a digital) pasa banda con un rango de 300 Hz a 3400 Hz, respuesta plana y orden apropiado. Se considera el rango útil asignado a la frecuencia telefónica, aunque el cable telefónico de cobre tipo AWG-24, por ejemplo, supera este ancho de banda a 1MHz en distancias inferiores a 200 Mts.

1.4. Lineamientos Generales

- a) El grupo de trabajo deberá cumplir con las especificaciones del proyecto, utilizando criterios de diseños justificados para cada bloque del sistema.
- b) Se deberán indicar el paso a paso para el diseño de los filtros digitales utilizados en las diferentes etapas.
- c) El criterio de selección para el filtro analógico representativo del canal (Bessel, Butterworth, etc.), y el método de transformación analógico a discreto escogido, brindando una gráfica comparativa de la respuesta en frecuencia resultantes en ambos planos (Laplace y Z).

- d) Se pide 3 aplicaciones posibles del sistema desarrollado en aplicaciones de tele comando (por ejemplo, aplicación de sistema de riego por comando telefónico de 3 zonas), y como se imprentaría en la práctica (no el desarrollo, solo la propuesta).
- e) Problema de análisis: para el caso de que ocurran fallos en el canal de comunicación (por ejemplo, una atenuación en determinadas frecuencias), analizar la robustez del código detector para al menos 3 zonas atenuadas de frecuencias diferentes. Utilizar el código adjunto en Matlab para el diseño del canal con fallas. Justificar los resultados.
- f) Escribir el informe, Incluir conclusiones, observaciones y sugerencias sobre los resultados obtenidos

Capítulo 2

Planteamiento

2.1. Sistema

Lo que se busca es simular un sistema DTMF cuya señal se transmite a través de un canal telefónico con modulación AM. Tal simulación debe comprender cada uno de los bloques intervinientes en el sistema, como se muestra en la Figura 2.1. Antes de diseñar y planificar la simulación hay que tener en cuenta las frecuencias intervinientes, particularmente hablando de la Frecuencia de Portadora (f_p) (que determina la frecuencia de la señal a ser modulada en la transmisión) y la f_s (que determina la cantidad de muestras por segundo para la simulación).

Ya que esta simulación trata de la transmisión en AM a través de un canal telefónico, podemos tomar una f_s utilizada universalmente en sistemas de audio, y esta equivale a 44 [kHz], y podemos ver que claramente cumple con el Teorema de Nyquist-Shannon ya que es mayor al doble de la señal de mayor frecuencia (1477 [Hz], componente alta de los dígitos 3, 6 y 9). Para la f_p tomamos 15 [kHz] ya que es 10 veces mayor a la señal antes mencionada y es menor a la mitad de f_s (para poder seguir cumpliendo con el teorema).

A continuación enumeramos el tratamiento de la señal en cada bloque del sistema:

1. Codificador DTMF: Se suman las señales sinusoidales correspondientes a las frecuencias que componen cada dígito
2. Modulador AM: Se modula la señal portadora con la señal codificada
3. Cable Telefónico: La señal modulada pasa por un filtro pasa-banda para simular el canal de voz [300-3300][Hz]
4. Demodulador AM: Se bate la señal recibida con la misma portadora para obtener la moduladora
5. Decodificador DTMF: La señal pasa por un banco de filtros pasa-banda para determinar qué señales de la matriz fueron enviadas



Figura 2.1: Diagrama de bloques a simular

2.2. Decodificación

Para decodificar la señal del tono se tiene que implementar un banco de filtros en base a la matriz de señales del sistema DTFM. Esto es, las filas se corresponden con las frecuencias bajas y las columnas con las frecuencias altas. La sumatoria de las señales se corresponde con la codificación del tono propuesto; esta señal llega a la matriz para devolver el tono correspondiente. El bloque decodificador se compone de filtros pasa-banda para cada frecuencia y el bloque detector como muestra la Figura 2.2. La razón de usar un filtro para cada frecuencia baja y alta, en lugar de un filtro por cada frecuencia resultante, se debe a que de esta forma usamos 7 filtros en lugar de 9 (uno por cada tono); además, estas frecuencias (altas y bajas) están más separadas en el espectro que las frecuencias resultantes, lo cual es provechoso a la hora de diseñar un filtro.

La matriz será un bloque lógico que devolverá el dígito correspondiente en base a las señales que hayan logrado activarse luego pasar por el banco de filtros.

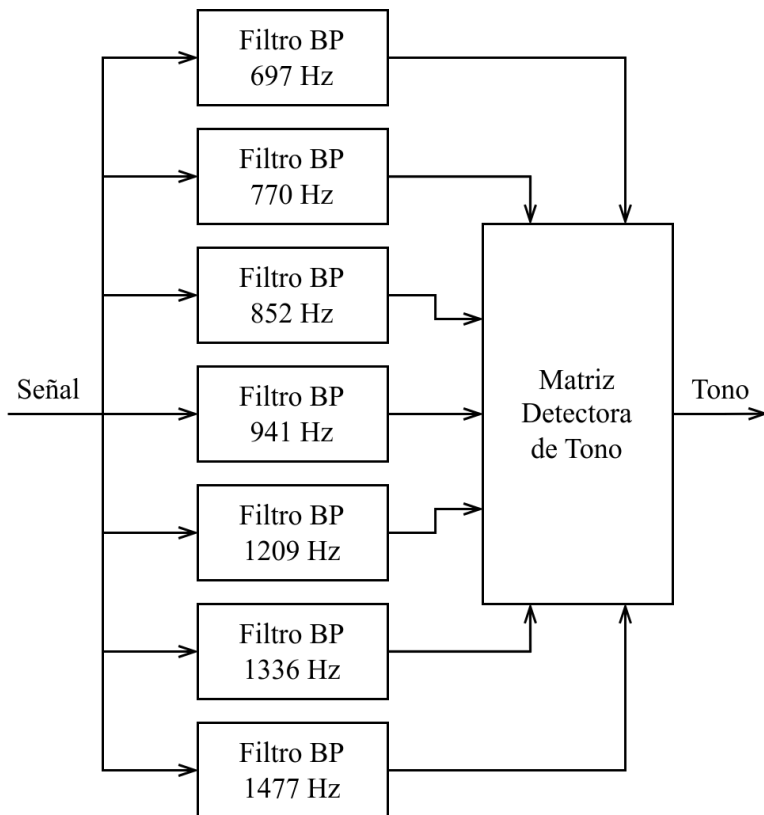


Figura 2.2: Composición del bloque decodificador

2.3. Simulación

La simulación de este sistema, que es el objetivo de este proyecto, se logrará a través del uso de distintas herramientas dentro del software MATLAB. Entre estas herramientas se encuentra simulink que sirve para realizar el estudio en el tiempo y frecuencia de las señales a través de cada bloque del sistema.

Cada señal de entrada al sistema será simulada a través de generadores de sinusoidales, mientras que los filtros serán bloques que actúen en base a polinomios obtenidos por librerías provistas por MATLAB. El resto de las herramientas serán provistas por simulink (sumadores, multiplicadores, analizadores de

espectro, etc.)

La razón de usar una herramienta para el diseño de los filtros es que estos se presumen de alto orden, lo cual es engorroso de calcular de manera analítica. Sin embargo, con el objetivo de comprender cómo es el diseño de filtros digitales, se explicará en el siguiente capítulo cómo es el proceso de diseño y análisis correspondiente.

Capítulo 3

Filtros Digitales

En este capítulo veremos como es el diseño de un filtro digital a partir de uno analógico, y para ello utilizaremos lo que se conoce como **Transformación Bilineal**. Esta transformación mapea el plano complejo del dominio de frecuencia analógico al dominio de frecuencia digital utilizando una relación no lineal.

Es importante tener en cuenta que la transformación bilineal introduce distorsiones en la respuesta en frecuencia del filtro analógico original al convertirlo en un filtro digital, como se muestra en la Figura 3.1. Estas distorsiones son inevitables debido a la naturaleza no lineal de la transformación. Sin embargo, en muchos casos, estas distorsiones son aceptables y se pueden compensar mediante técnicas de diseño adicionales. Una de estas técnicas es el **Pre-Warping**.

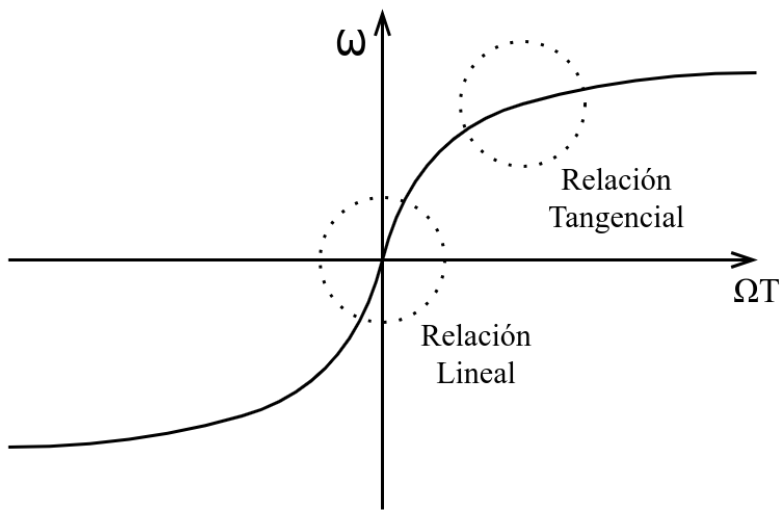


Figura 3.1: Distorsión de frecuencia introducida por la Transformación Bilineal

El pre-warping es un ajuste realizado a la Frecuencia de Corte (f_c) del filtro analógico antes de aplicar la transformación. Se hace con el fin de compensar la distorsión introducida por la transformación bilineal en las frecuencias más altas, esto es debido a la no linealidad de la función tangente utilizada en la transformación. El pre-warping ajusta la f_c del filtro analógico antes de aplicar la transformación bilineal para compensar esta distorsión. Se utiliza una función que aproxima la inversa de la función tangente para ajustar la f_c en el dominio analógico, como se muestra en la Ecuación 3.1 [RG95]. Para más información acerca de la Transformación Bilineal se pueden consultar en las siguientes bibliografías: [PM96], [OS89] y [OS99].

$$\Omega = \frac{2}{T} \tan \frac{\omega T}{2} = 2f_s \tan \left(\pi \frac{f}{f_s} \right) \quad (3.1)$$

3.1. Diseño

Primero, se diseña el filtro analógico deseado utilizando un prototipo como el filtro Butterworth, Chebyshev o el Elíptico. En este caso usaremos el filtro Butterworth, que se caracteriza por tener una respuesta en frecuencia lo más plana y suave posible en la banda de paso, lo que significa que atenúa las frecuencias no deseadas de manera gradual y sin oscilaciones abruptas, como describe la Figura 3.2.

El filtro de Butterworth más típico es el filtro pasa bajo de primer orden, el cual puede ser modificado a un filtro pasa banda a través transformaciones que veremos más adelante, o añadir en serie otros formando un filtro pasa banda o elimina banda y filtros de mayores órdenes. La función transferencia para un filtro prototipo Butterworth pasa-bajos que corta en 1rad/s se describe en la Ecuación 3.2. Si deseamos diseñar un filtro pasa-altos, o pasa-banda o de rechaza-banda, basta con partir del filtro pasa bajo prototipo y realizar una transformación en frecuencia.

$$H(s) = \frac{1}{s + 1} \quad (3.2)$$

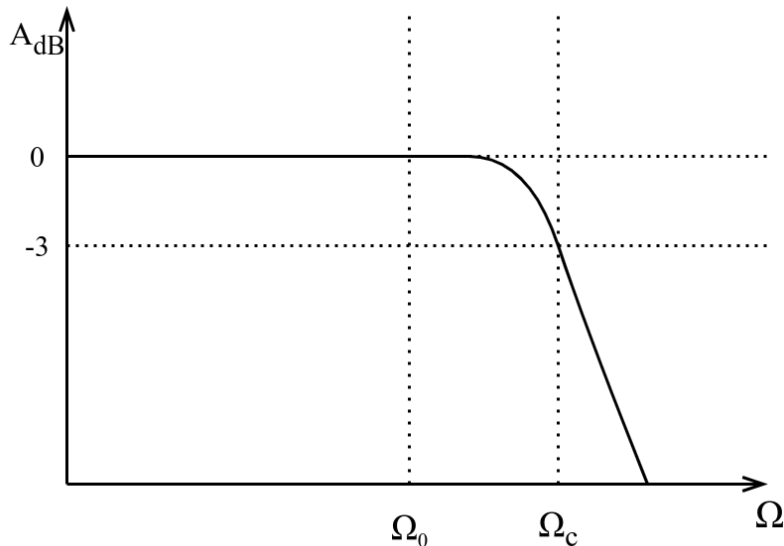


Figura 3.2: Respuesta en frecuencia de un filtro pasa-bajos

Según [RG95] existen dos enfoques distintos para el diseño de filtros digitales de tipo pasa-banda, pasa-alto y rechaza-banda. Estos enfoques se resumen en la Figura 3.3. Estos dos enfoques difieren en que la técnica 1 transforma un filtro de paso bajo analógico normalizado en otro filtro analógico que se puede digitalizar para obtener el filtro digital deseado, mientras que la técnica 2 digitaliza el filtro de paso bajo normalizado inmediatamente y luego aplica una transformación de banda de frecuencia digital para obtener el filtro digital deseado. Dado que ya hemos discutido cómo diseñar el filtro de paso bajo normalizado y cómo digitalizarlo, en esta sección consideraremos las transformaciones de banda de

frecuencia apropiadas para los casos continuo y discreto. Para nuestro diseño vamos a considerar la técnica 1, que consiste en pasar el filtro prototipo pasa-bajos a un pasa-banda para luego digitalizarlo utilizando la transformación bilineal.

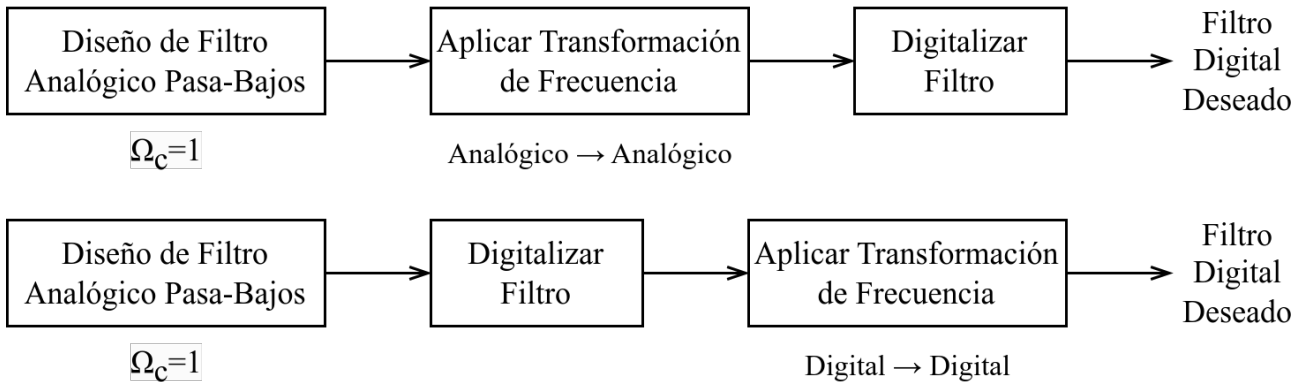


Figura 3.3: Enfoques para el diseño de un filtro digital

Existe una gran variedad de técnicas para transformar un filtro pasa-bajas de corte 1 rad/s en otro filtro pasa-bajos (con diferente f_c) o en un filtro pasa-banda, pasa-altas o pasa-banda. A continuación se presenta un conjunto de transformaciones especialmente sencillas.

$$s \rightarrow \frac{s}{\Omega_h} \quad \text{pasa-bajos} \rightarrow \text{pasa-bajos} \quad (3.3)$$

$$s \rightarrow \frac{\Omega_l}{s} \quad \text{pasa-bajos} \rightarrow \text{pasa-altos} \quad (3.4)$$

$$s \rightarrow \frac{s^2 + \Omega_l \Omega_h}{s(\Omega_h - \Omega_l)} \quad \text{pasa-bajos} \rightarrow \text{pasa-banda} \quad (3.5)$$

$$s \rightarrow \frac{s(\Omega_h - \Omega_l)}{s^2 + \Omega_l \Omega_h} \quad \text{pasa-bajos} \rightarrow \text{rechaza-banda} \quad (3.6)$$

$\Omega_l : f_c$ inferior

$\Omega_h : f_c$ superior

Cómo en este diseño vamos a utilizar la transformación de un pasa-bajos a un pasa-banda utilizaremos la Ecuación 3.5. Para utilizar el método, necesitamos establecer las frecuencias intervinientes: f_c superior e inferior, que las calculamos a partir de la elección de una frecuencia central. Para ello tomamos la frecuencia baja de los dígitos 1, 2 y 3 (697 [Hz], Cuadro 1.1) que resulta ser la frecuencia más baja del espectro de este dominio. Las frecuencias de corte serán 60 [Hz] por encima y por debajo de la frecuencia central. Recordemos que para utilizar la transformación bilineal necesitamos compensar la distorsión de frecuencia, y para ello debemos realizar el pre-warping. Entonces las frecuencias angulares de corte analógicas superior e inferior están dadas por la Ecuación 3.7 y la Ecuación 3.8 respectivamente, donde f_s es igual a 44 [kHz].

$$\Omega_h = 2f_s \tan \left(\pi \frac{f_c + 60}{f_s} \right) = 4761,01 \left[\frac{\text{rad}}{\text{s}} \right] \quad (3.7)$$

$$\Omega_l = 2f_s \tan\left(\pi \frac{f_c - 60}{f_s}\right) = 4005,15 \left[\frac{\text{rad}}{\text{s}} \right] \quad (3.8)$$

El siguiente paso es encontrar función transferencia realizando la transformación de frecuencia antes mencionada. En la Ecuación 3.11 podemos ver variables nuevas: *BW* (*Band-Width* o Ancho de Banda) y Ω_0 que es la media geométrica del ancho de banda ($\sqrt{\Omega_h \Omega_l}$). Hacemos este reemplazo por motivos de simplicidad y para tener una mejor comprensión de la función transferencia.

$$H_{LP}(s) = H_{BP} \left(\frac{s^2 + \Omega_l \Omega_h}{s(\Omega_h - \Omega_l)} \right) \quad (3.9)$$

$$H(s) = \frac{1}{\frac{s^2 + \Omega_l \Omega_h}{s(\Omega_h - \Omega_l)} + 1} \quad (3.10)$$

$$H(s) = \frac{(\Omega_h - \Omega_l)s}{s^2 + (\Omega_h - \Omega_l)s + \Omega_h \Omega_l} = \frac{BW s}{s^2 + BW s + \Omega_0^2} \quad (3.11)$$

$$H(s) = \frac{755,85s}{s^2 + 755,85s + 19,07 \times 10^6} \quad (3.12)$$

$$H(s) = \frac{s}{0,00132s^2 + s + 25220} \quad (3.13)$$

Para demostrar que este filtro diseñado es en realidad un pasa-banda que corta en las frecuencias angulares especificadas, utilizamos MATLAB para graficar la respuesta en frecuencia del mismo (Código 3.1). En la Figura 3.4 podemos ver que la respuesta en frecuencia es la esperada, en los puntos marcados aproximadamente en $y(0,707)$ las frecuencias se aproximan a Ω_l y Ω_h . Por lo tanto queda demostrado que el filtro analógico diseñado es realmente un pasa-banda.

```

1 a = [0 1 0];
2 b = [1.32e-3 1 25.22e3];
3 [h, w] = freqs(a, b, 5000);
4 phase = angle(h);
5 phasedeg = phase * 180 / pi;
6 mag = abs(h);
7
8 subplot(2, 1, 1)
9 loglog(w, mag)
10 grid on
11 xlabel('Frecuencia (rad/s)')
12 ylabel('Magnitud')
13 xlim([3500, 5500])
14 ylim([0.2, 1.2])
15
16 subplot(2, 1, 2)
17 semilogx(w, phasedeg)
18 grid on
19 xlabel('Frecuencia (rad/s)')
20 ylabel('Fase (grados)')
21 xlim([3500, 5500])
22 ylim('auto')
```

Código fuente 3.1: Graficar respuesta en frecuencia de Filtro Analógico

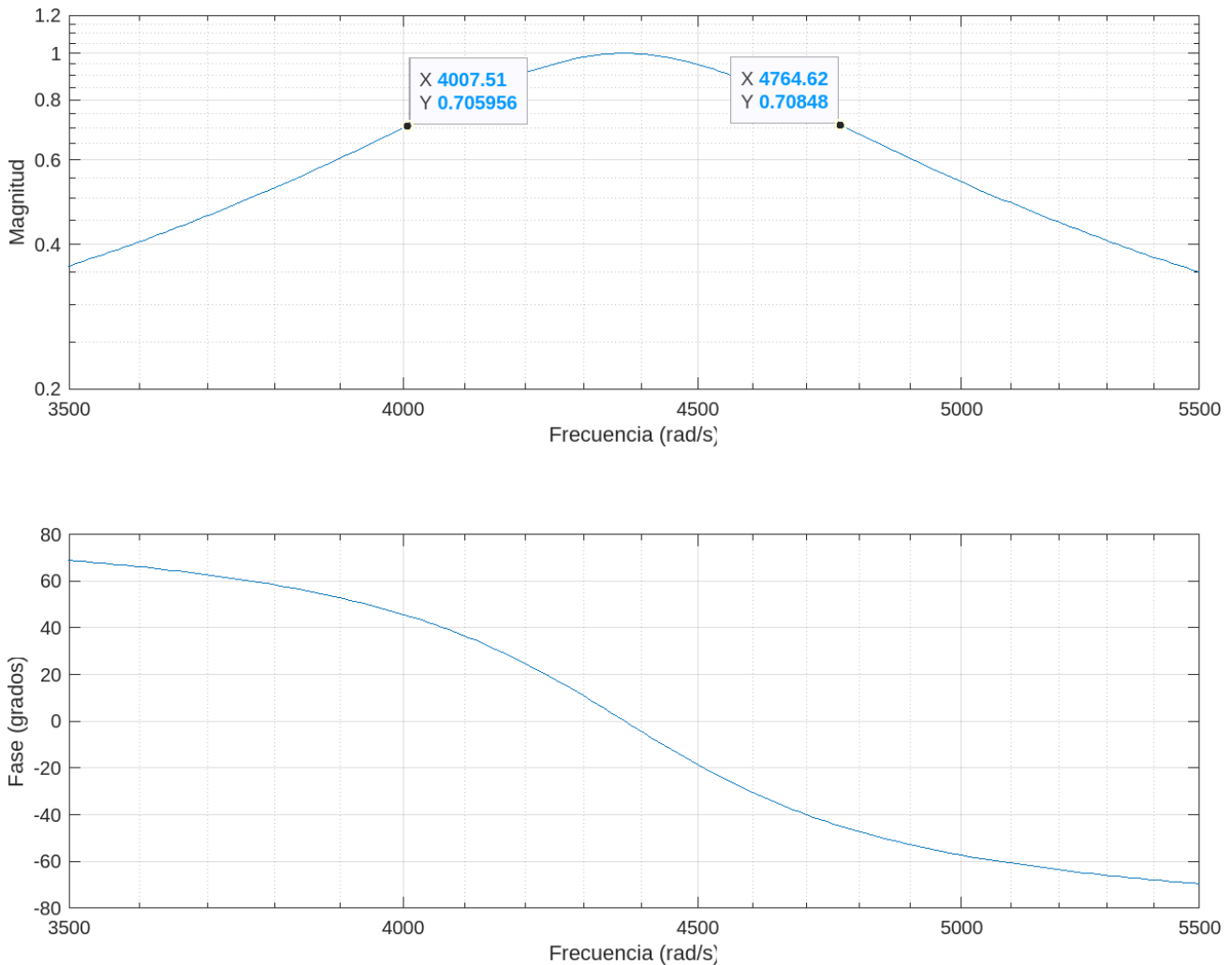


Figura 3.4: Respuesta en frecuencia del filtro analógico

3.2. Conversión a digital

Ahora que tenemos nuestro filtro analógico, el siguiente paso es transformarlo a digital a través de la Transformación Bilineal. Para realizarla consideramos la correspondencia entre el plano s y el plano z, dada por la Ecuación 3.14. Luego particularizamos la función transferencia de nuestro filtro pasa-banda analógico para la correspondencia antes mencionada, trabajamos algebráicamente (ver Apéndice A.1) y encontramos $H(z)$, que está dado por la Ecuación 3.17.

$$s = \frac{2}{T} \frac{(1 - z^{-1})}{(1 + z^{-1})} \quad (3.14)$$

$$H(z) = H(s)|_{s=\frac{2}{T} \frac{(1-z^{-1})}{(1+z^{-1})}} \quad (3.15)$$

$$H(z) = \frac{BW \left(\frac{2}{T} \frac{(1-z^{-1})}{(1+z^{-1})} \right)}{\left(\frac{2}{T} \frac{(1-z^{-1})}{(1+z^{-1})} \right)^2 + BW \left(\frac{2}{T} \frac{(1-z^{-1})}{(1+z^{-1})} \right) + \Omega_0^2} \quad (3.16)$$

$$H(z) = \frac{8,49 \times 10^{-3} - 8,49 \times 10^{-3}z^{-2}}{1 - 1,97z^{-1} + 0,98z^{-2}} \quad (3.17)$$

Para demostrar que el filtro digital resultante funciona correctamente, utilizamos MATLAB para graficar la respuesta en frecuencia del mismo (ver Código 3.2). En la Figura 3.5 podemos ver que la respuesta en frecuencia es la esperada. En los puntos marcados aproximadamente en $y(0,707)$ las frecuencias se aproximan a f_l y f_h , que eran 60 [Hz] por debajo y por encima respectivamente de la frecuencia central 697 [Hz].

```

1 Fs = 44000;
2 Ts = 1 / Fs;
3 num = [8.4953e-3 0 -8.4954e-3];
4 den = [1 -1.9732 0.9830];
5
6 [h, w] = freqz(num, den, 20000);
7 f = w / (2 * pi);
8 plot(f * (Fs / 2) / max(f), abs(h))
9 title('Filtro Butterworth')
10 xlabel('Hertz')
11 ylabel('Magnitud')
12 xlim([0, 1200])
13 ylim('auto')
```

Código fuente 3.2: Graficar respuesta en frecuencia de Filtro Digital

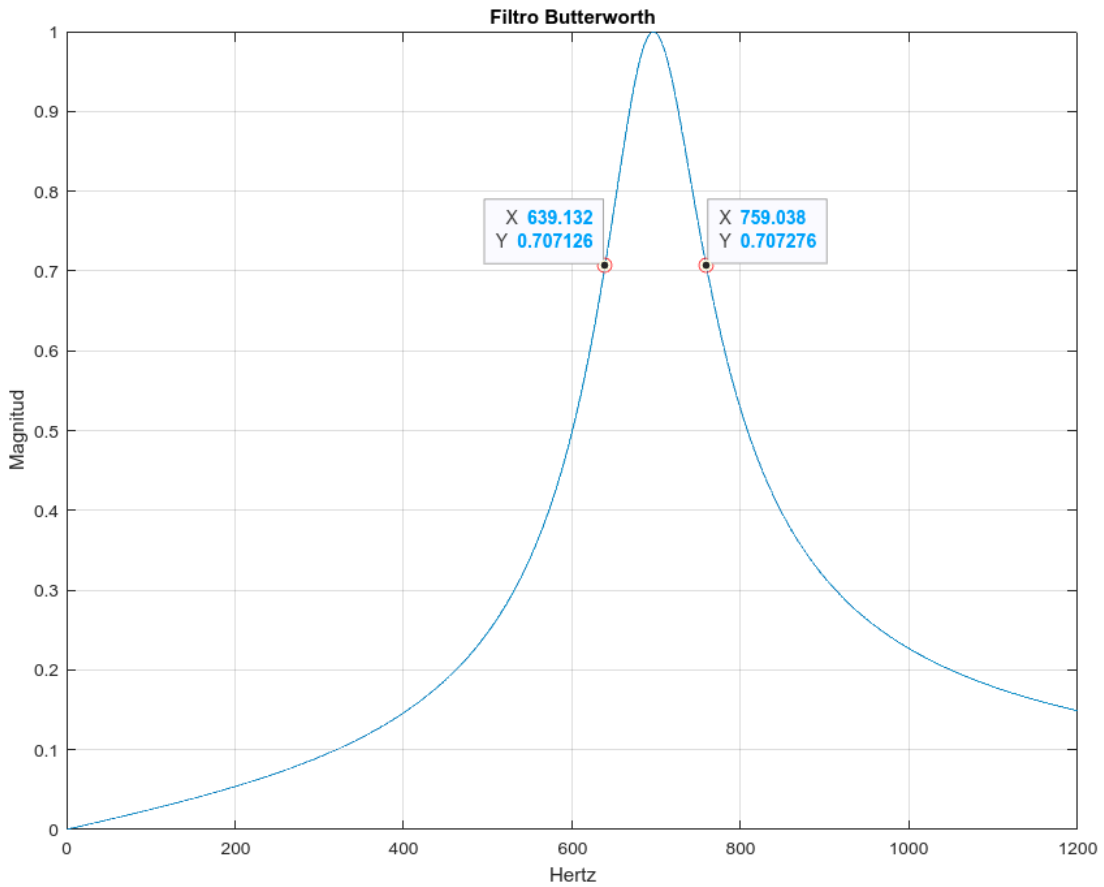


Figura 3.5: Respuesta en frecuencia del filtro digital

3.3. Estabilidad

La estabilidad en el contexto de filtros se refiere a la capacidad del filtro para mantenerse controlado y limitado, incluso si hay oscilaciones transitorias. El análisis de estabilidad en el diseño de filtros digitales es crucial para garantizar que el filtro sea capaz de producir respuestas predecibles y controladas en todas las situaciones. Implica evaluar si las características del filtro permiten que las señales de entrada permanezcan bajo control y no crezcan de manera incontrolada. Esta práctica implica verificar la ubicación de los polos y ceros para garantizar que el filtro sea estable. Las respuestas al impulso y al escalón se analizan para entender cómo el filtro responde a diferentes entradas y para asegurarse de que no haya comportamientos indeseados o inestables. Al final del documento, en la sección de Apéndices se pueden encontrar los scripts utilizados para realizar las gráficas de esta sección: B.1 para Polos y Ceros, y B.2 para Respuestas al Impulso y al Escalón.

Polos y Ceros

Los polos son las raíces del denominador de la función de transferencia del filtro y están relacionados con la respuesta en el tiempo. Si todos los polos están en el interior del círculo unitario en el plano

Z (para sistemas discretos) o en el semiplano izquierdo en el plano S (para sistemas analógicos), el filtro es estable. Los polos en el exterior del círculo unitario o en el semiplano derecho podrían causar inestabilidad, ya que pueden llevar a respuestas que crecen de manera exponencial.

Los ceros, por otro lado, son las raíces del numerador de la función de transferencia y afectan la respuesta en frecuencia del filtro. Pueden influir en la magnitud y la fase de la respuesta en diferentes frecuencias. Sin embargo, a diferencia de los polos, los ceros por sí solos no causan inestabilidad.

En la Figura 3.6 podemos ver la representación de Polos y Ceros del filtro prototipo analógico para el plano de Laplace. Los polos obtenidos: $-0,3788 + 4,3546 \times 10^3 i$ y $-0,3788 - 4,3546 \times 10^3 i$, ambos tienen una parte real negativa, lo que significa que están ubicados en el semiplano izquierdo. Además de ello, ambos son conjugados. Por lo tanto, estos polos indican que el filtro Butterworth es estable en el dominio analógico.

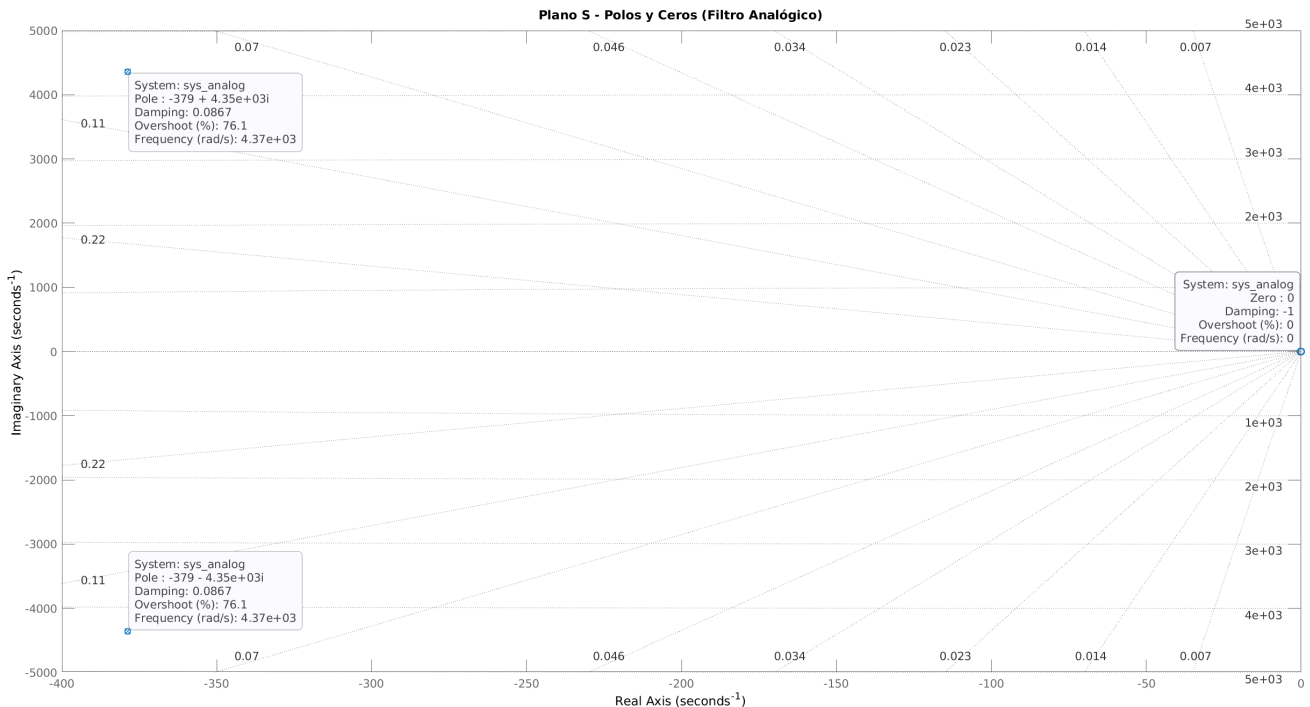


Figura 3.6: Diagramas de Polos y Ceros (Plano de Laplace)

En la Figura 3.7 podemos ver la representación de Polos y Ceros del filtro prototipo pero Digital, es decir en el plano Z . Para determinar la estabilidad del filtro hay que determinar si todos los polos se encuentran dentro del círculo unitario. A simple, podemos notar que efectivamente se encuentran, pero para asegurarnos de manera analítica, necesitamos encontrar el modulo de ambos polos y determinar que sea menor a la unidad. En las Ecuaciones 3.18 e 3.19 vemos que el modulo de cada polo es efectivamente menor a 1. Luego podemos concluir que nuestro filtro digital es estable.

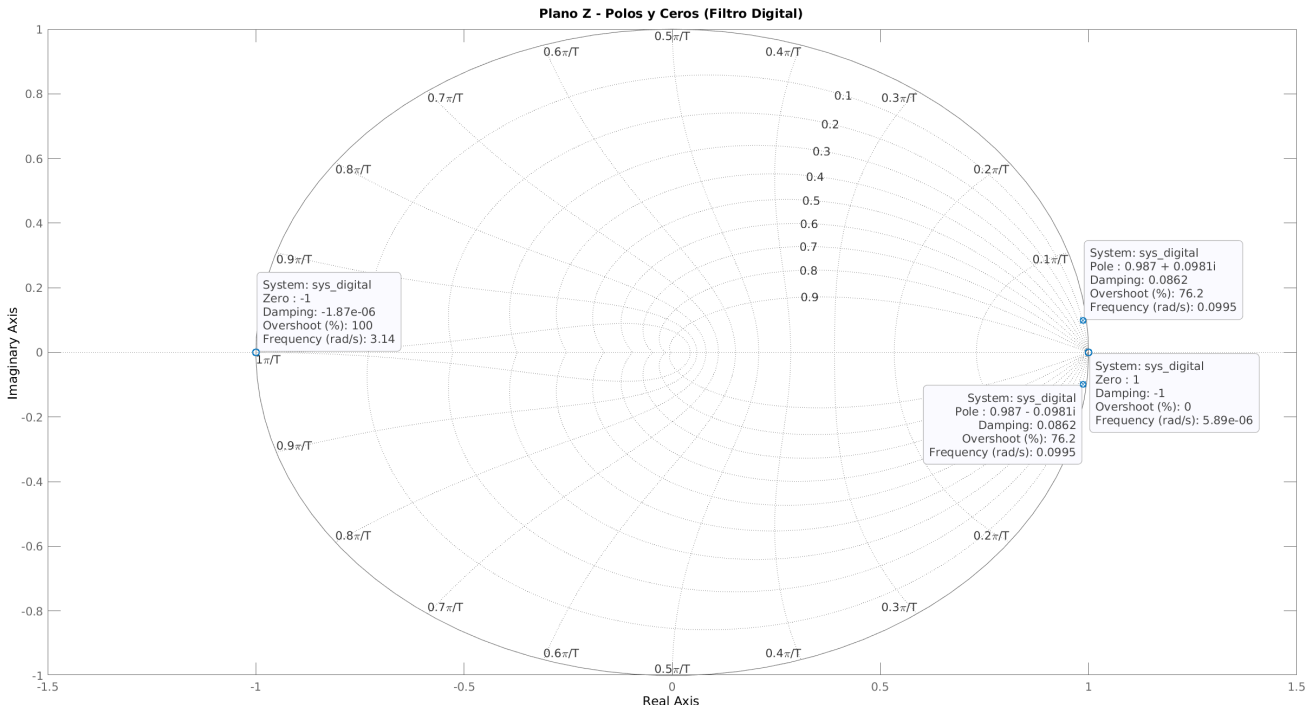


Figura 3.7: Diagramas de Polos y Ceros (Plano Z)

$$p_1 = 0,9866 + 0,0981i \rightarrow |p_1| = 0,9904 \quad (3.18)$$

$$p_2 = 0,9866 - 0,0981i \rightarrow |p_2| = 0,9904 \quad (3.19)$$

Respuesta al Impulso

La respuesta al impulso muestra cómo el filtro responde ante un impulso unitario, lo que revela la forma en que el sistema se comporta a lo largo del tiempo. En la Figura 3.8 podemos ver que al recibir la señal impulso el filtro presenta una oscilación amortiguada y eventualmente se estabiliza en 0, esto se considerara estable en el contexto de sistemas lineales y tiempo invariante. La estabilidad en sistemas lineales implica que las respuestas a entradas acotadas también son acotadas, es decir, no crecen de manera incontrolada. Si la respuesta al impulso oscila amortiguadamente y finalmente se estabiliza en 0, esto indica que las oscilaciones son amortiguadas y no crecen infinitamente con el tiempo. Esto es una característica deseable y no indica inestabilidad.

Respuesta al Escalón

La respuesta al escalón muestra cómo el sistema reacciona ante un cambio abrupto en la entrada, proporcionando información sobre la velocidad de respuesta y la estabilidad a largo plazo. En la Figura 3.9 podemos ver que el filtro presenta una respuesta al escalón que muestra una oscilación amortiguada que eventualmente se estabiliza en 0. La oscilación amortiguada es una característica común de los filtros Butterworth debido a su diseño para tener una respuesta de frecuencia lo más plana posible en la banda de paso. Ya que la respuesta se mantiene bajo control y no presenta crecimiento descontrolado, el filtro se considera estable.

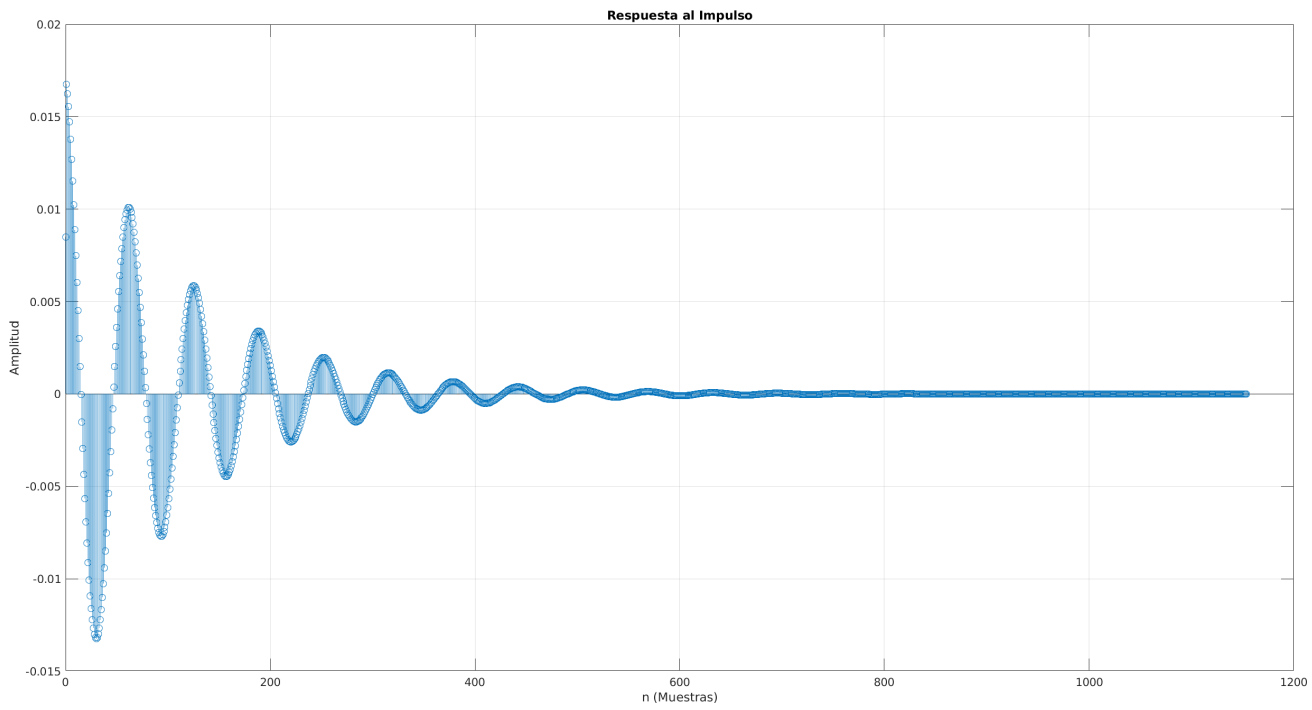


Figura 3.8: Respuesta al Impulso

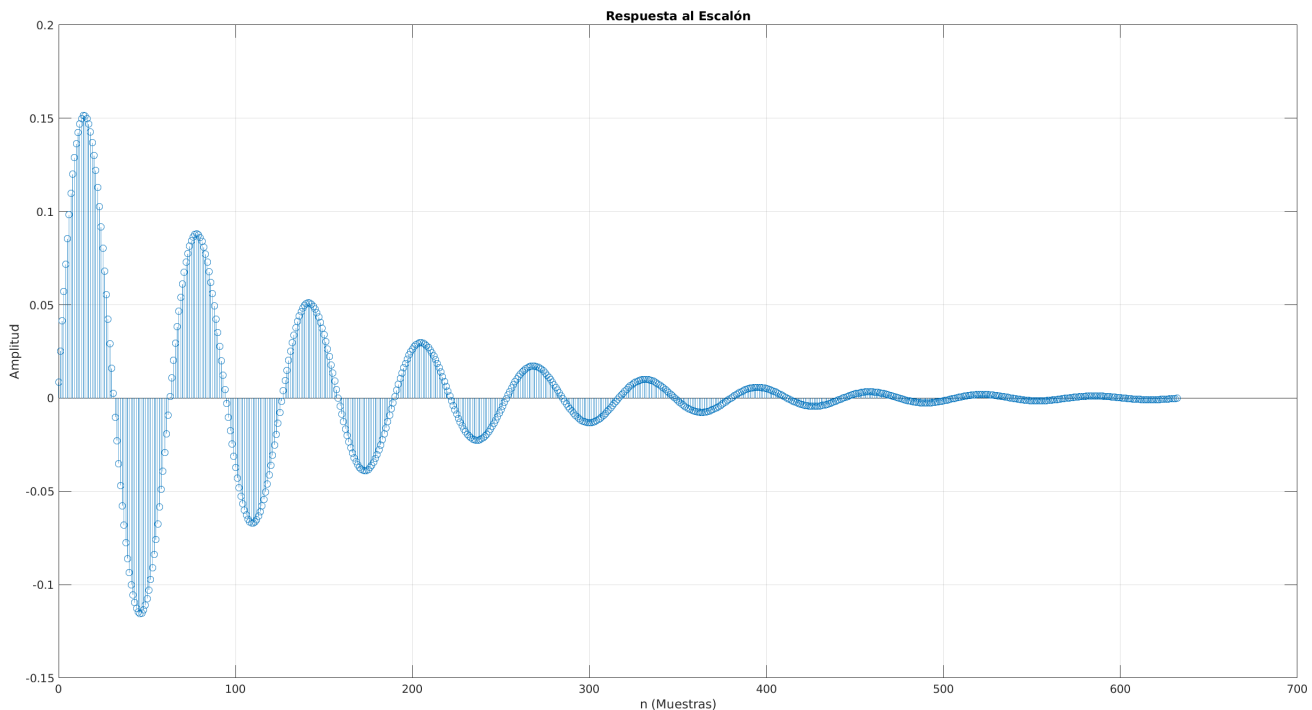


Figura 3.9: Respuesta al Escalón

3.4. Conclusiones

En las secciones anteriores demostramos cómo es el procedimiento para el diseño de un filtro digital pasa-banda a partir de transformaciones aplicadas a un filtro analógico pasa-bajos. Analizamos las respectivas respuestas en frecuencia de los filtros analógicos y digitales obtenidos, así como también la estabilidad del mismo a través del análisis de Polos y Ceros, respuesta al impulso y al escalón; y podemos observar que cumplen con el requisito de filtrar aquellas frecuencias que se encuentren fuera de la banda especificada [637 [Hz] ; 757 [Hz]]. Sin embargo este proceso fue solamente para un filtro, una banda de frecuencia para una frecuencia central en particular que es la primera del espectro de la matriz DTFM. La siguiente frecuencia en el espectro es 770 [Hz], y si observamos la Figura 3.5 podemos ver que no está muy lejos de la f_c superior del filtro diseñado. Esto va a devenir en un solapamiento de señales, lo cual puede introducir falsos disparos a la hora de implementar la lógica para detectar el tono. Queda claro que se necesita un filtro pasa-banda pero de mayor orden y una banda más reducida. El objetivo es definir un Frecuencia de Atenuación o Paso (f_a) superior e inferior, y en las que el filtro atenúa en 10 [dB], y estas frecuencias tienen que ser antes de solapar con la frecuencia siguiente o anterior del espectro de la matriz. En la Figura 3.10 podemos ver cómo sería un filtro ideal pasa-banda que cumple con esos requisitos.

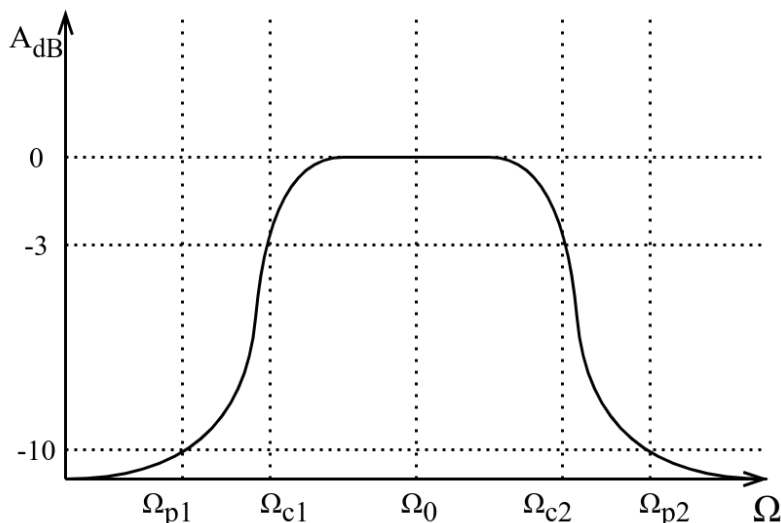


Figura 3.10: Respuesta en frecuencia de un filtro pasa-banda con frecuencias de parada

Podemos calcular el orden del filtro pasa-bajo necesario para cumplir con esas características, luego sabremos que el filtro pasa-banda resultante será el doble de ese orden. Pero antes debemos definir las frecuencias críticas involucradas. A diferencia del filtro anterior, vamos a definir f_c 40 [Hz] por encima de la frecuencia central 697 [Hz], y luego f_a será 20 [Hz] por encima de f_c . Pero estas frecuencias son digitales, debemos calcularlas con la distorsión de la Transformación Bilínea (Pre-Warping) para resolver el orden. En las Ecuaciones 3.20 y 3.21 podemos ver las frecuencias analógicas resultantes. Luego, establecemos que la atenuación al final de la banda de transición y comienzo de la banda de rechazo (en f_a) es de 10 [dB]. Con estos datos podemos obtener el orden mínimo para que se requiere para el filtro pasa-bajos analógico. De la Ecuación 3.22 vemos que el valor es 41, que es mucho mayor que el orden 1 que utilizamos en el diseño a partir del filtro prototípico.

$$\Omega_c = \frac{2}{T} \tan \frac{\omega_c T}{2} = 2f_s \tan \left(\pi \frac{f_c}{f_s} \right) = 4634,99 \left[\frac{\text{rad}}{\text{s}} \right] \quad (3.20)$$

$$\Omega_a = \frac{2}{T} \tan \frac{\omega_a T}{2} = 2f_s \tan \left(\pi \frac{f_a}{f_s} \right) = 4761,01 \left[\frac{\text{rad}}{\text{s}} \right] \quad (3.21)$$

$$n = \frac{\log \left(10^{\frac{A_{dB}}{10} - 1} \right)}{2 \log \left(\frac{\Omega_a}{\Omega_c} \right)} = 40,95 \approx 41 \quad (3.22)$$

Con esto demostramos y concluimos que para obtener un filtro más preciso en la simulación, necesitamos que sea de mayor orden. Dado que el análisis es engorroso y debemos repetirlo por cada filtro del banco de filtros a diseñar, vamos a utilizar librerías provistas por MATLAB para obtener el filtro digital con el orden necesario para garantizar (o aproximarse lo mayor posible) los resultados esperados a partir de las especificaciones realizadas.

Capítulo 4

Desarrollo

Recordemos de la Figura 2.1 que nuestro sistema está compuesto por 5 bloques. En este capítulo vamos descomponer y analizar cada bloque para su posterior implementación en la simulación.

4.1. Análisis

Codificador y Modulador

Estos bloques son en realidad bastante simples. Consta de la sumatoria de dos señales sinusoidales. Para la simulación serían dos generadores establecidos en la combinación de frecuencias que corresponden a un determinado digito. Para crear la codificación, basta con ingresar ambas señales a un sumador. Esto luego debe sumarse a una señal constante de 1, con el fin de poder hacer el producto de la señal resultante con la señal portadora. El resultado de esto es la señal ya modulada, como se muestra en la Figura 4.1.

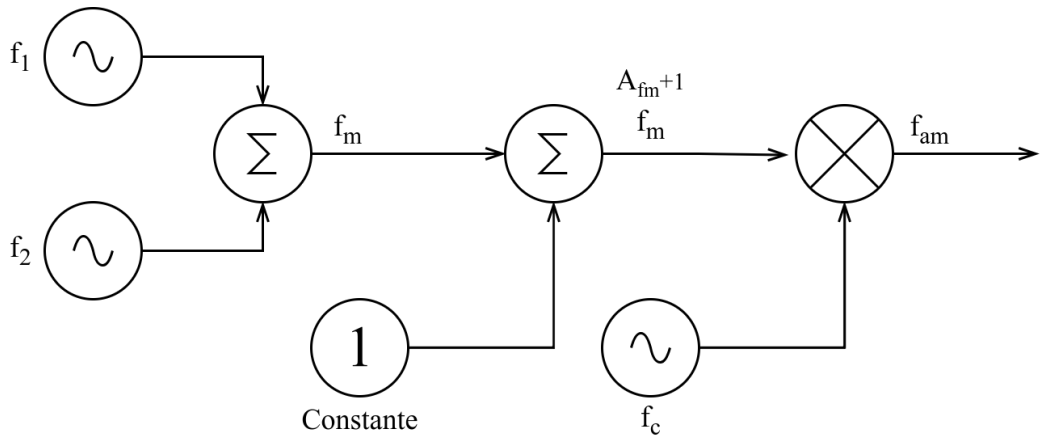


Figura 4.1: Codificador y Modulador

Transmisión

La transmisión será simulada a través de un filtro pasa-banda, estableciendo las frecuencias de corte de tal forma que el ancho de banda sea el espectro audible por el oído humano, como muestra la Figura 4.2.

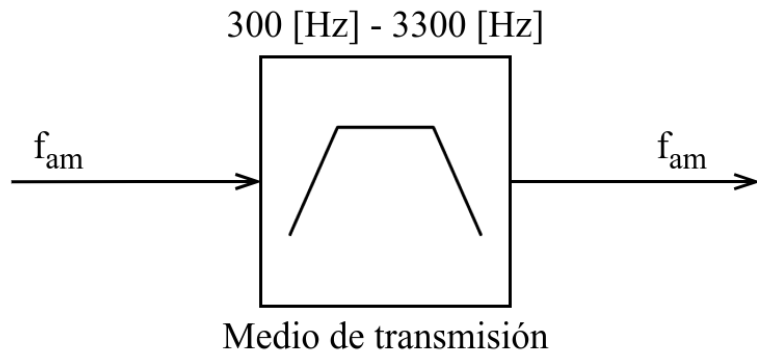


Figura 4.2: Transmisión

Demodulador

Para demodular la señal, basta con realizar nuevamente el producto con la señal portadora. Como resultado obtenemos la frecuencia moduladora (que es la señal codificada, suma de las frecuencias que componen a un digito específico) como muestra la Figura 4.3. Luego debemos aplicar un filtro pasa bajos para limpiar la señal de ruidos que puedan haberse introducido, entre esos, algunos vestigios de la señal portadora.

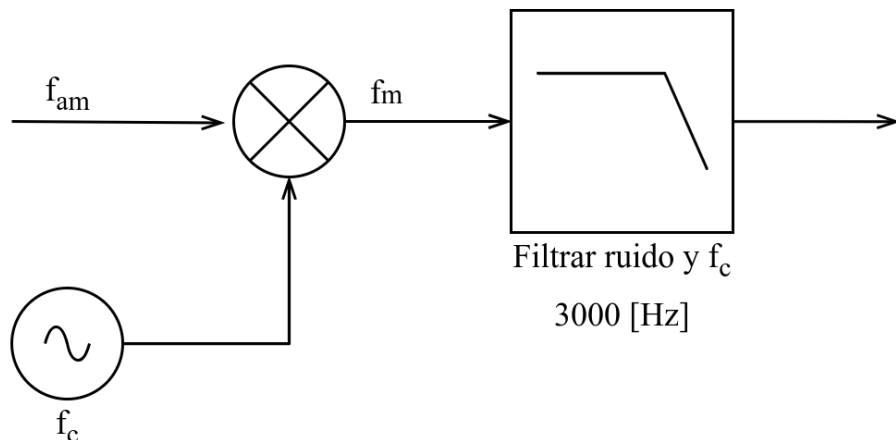


Figura 4.3: Transmisión

Decodificador

El bloque decodificador es el más complejo de todos, ya que este tiene la lógica para detectar las señales que componen la señal codificada. Como ya vimos en la Figura 2.2, necesitamos 7 filtros pasa-banda para aislar cada una de las frecuencias de la matriz DTFM, luego viene la matriz decodificadora. En la Figura 4.4 vemos una simplificación de cómo estaría compuesta esta lógica de decodificación. Cada salida de control es una compuerta AND que se activara cuando sus dos entradas se encuentren activas (o en "1" lógico). Entonces cada compuerta representa la combinación de tonos para detectar cuál fué el digito enviado.

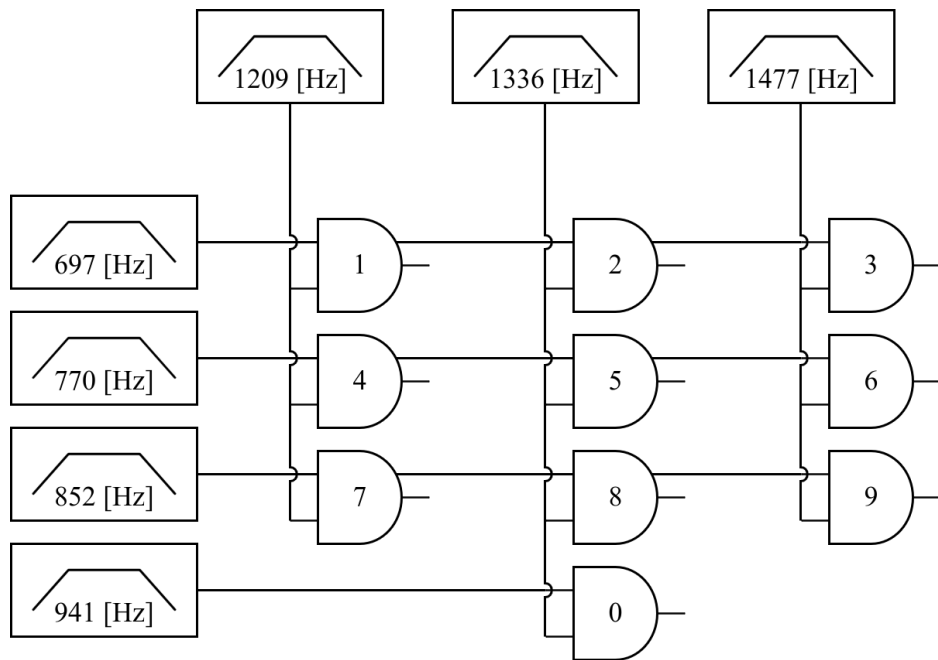


Figura 4.4: Decodificador

4.2. Diseño

Como mencionamos en la sección anterior, para poder implementar los filtros digitales del banco de filtros (bloque decodificador) necesitamos librerías de MATLAB para generarlos, ya que estos filtros serán de alto orden lo que es engorroso para el cálculo analítico. Para hacer uso de estas librerías se crearon 2 *scripts* con el objetivo de automatizar la generación de los filtros en base a parámetros de entrada. En el Código 4.1 podemos ver que se encarga de calcular las frecuencias de corte (inferior y superior) para cada frecuencia central provista, bajo una determinada frecuencia de muestreo y orden específico, esto para el banco de filtros del decodificador. Además de eso, también podemos ver que genera las gráficas para analizar la respuesta en frecuencia de cada filtro, como muestra la Figura 4.5. Luego en el Código 4.2 tenemos el algoritmo principal, el cual establece las especificaciones generales del sistema, llama a la función para crear el banco de filtros y además crea el resto de los filtros involucrados como el que representa el canal de transmisión y el filtro para eliminar la portadora del espectro de trabajo (en la fase de demodulación).

Se puede notar en el Código 4.2 que establecemos el orden de los filtros en 6 (para pasa-bajos y/o pasa-altos; se interpreta 12 para pasa-banda). Este valor arbitrario, contrario a los cálculos analíticos del capítulo anterior, es empírico; durante varias pruebas de simulación, los filtros pasa-banda de alto orden (20 aproximadamente) demostraban comportamientos inesperados y no concluyentes a la hora de filtrar señales específicas. Por eso, luego de varias pruebas encontramos que el orden 6 era suficiente para realizar la simulación con resultados favorables y realistas.

Es de suponer que estos filtros diseñados por matlab son estables, sin embargo no dejamos pasar la oportunidad de hacer un análisis de cada uno. Para realizarlo utilizamos una función cuyo código se puede ver en el Apéndice B.3. El resultado se puede ver en los siguientes apéndices:

1. Filtro pasa-banda centrado en 697 [Hz]: Apéndice C.1.
2. Filtro pasa-banda centrado en 770 [Hz]: Apéndice C.2.

3. Filtro pasa-banda centrado en 852 [Hz]: Apendice C.3.
4. Filtro pasa-banda centrado en 941 [Hz]: Apendice C.4.
5. Filtro pasa-banda centrado en 1209 [Hz]: Apendice C.5.
6. Filtro pasa-banda centrado en 1336 [Hz]: Apendice C.6.
7. Filtro pasa-banda centrado en 1477 [Hz]: Apendice C.7.

También se pueden ver los Polos y Ceros de cada filtro en el Apendice C.8.

```

1 function filtros = banco_decodificador(muestreo, frecuencias, orden)
2 % Generador de coeficientes de polinomio de filtros BP Butterworth
3
4 % Crear una figura para la gráfica de respuesta en frecuencia
5 figure;
6
7 % Crear variables para almacenar las respuestas en frecuencia
8 % y las frecuencias
9 all_responses = [];
10 all_frequencies = [];
11
12 for idx = 1:length(frecuencias)
13 freq = frecuencias(idx);
14
15 % Establecer frecuencias de corte
16 fc_low = freq - 40;
17 fc_high = freq + 40;
18
19 % Establecer coeficientes para el filtro pasa-banda actual
20 [a, b] = butter(orden / 2, [fc_low fc_high] / (muestreo / 2));
21
22 % Generar nombre de variable correspondiente
23 % a cada arreglo de coeficientes
24 temp_num = strcat('f_', num2str(freq), '_num');
25 temp_den = strcat('f_', num2str(freq), '_den');
26
27 % Guardar coeficientes
28 filtros.(temp_num) = a;
29 filtros.(temp_den) = b;
30
31 % Calcular la respuesta en frecuencia
32 [h, w] = freqz(a, b, 10000, muestreo);
33
34 % Agregar los datos a las variables de almacenamiento
35 all_responses = [all_responses, abs(h)];
36 all_frequencies = [all_frequencies, w];
37
38 end
39
40 % Graficar todas las respuestas en frecuencia en una misma gráfica
41 plot(all_frequencies, all_responses);
42 title('Respuestas en Frecuencia de Filtros Butterworth Pasa-Banda');
43 xlabel('Frecuencia (Hz)');
44 ylabel('Magnitud');
45 grid on;
46 legend(cellstr(num2str(frecuencias), 'Filtro en %d Hz')));
47
48 % Ajustar el rango del eje x
49 xlim([500, 1700]);
50 end

```

Código fuente 4.1: Banco Decodificador

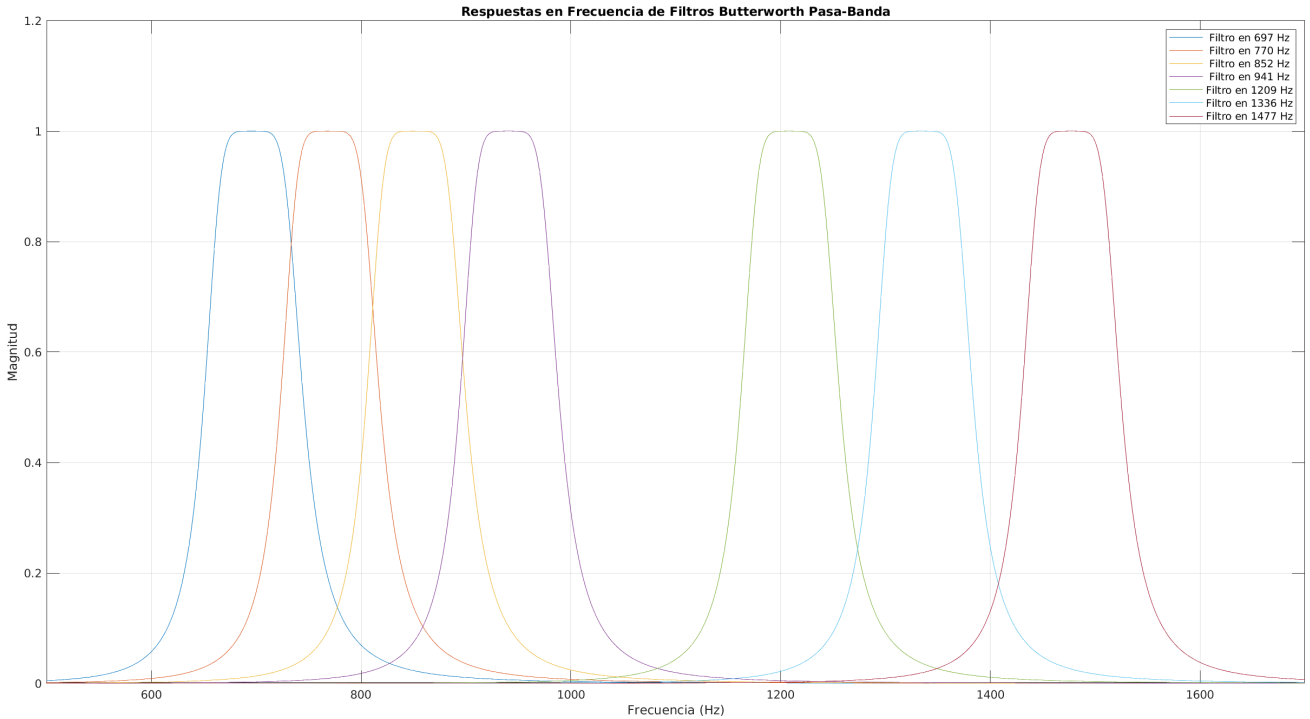


Figura 4.5: Respuesta en frecuencia del Banco de Filtros

```

1 clc
2 close all
3 clear
4
5 % Agrega el directorio donde se encuentra
6 % banco_decodificador.m al path de MATLAB
7 addpath('desarrollo');
8
9 % Frecuencia de muestreo
10 Fs = 44000;
11
12 % Arreglo con frecuencias centrales a filtrar
13 frecuencias_centrales = [697, 770, 852, 941, 1209, 1336, 1477];
14
15 % Orden de cada filtro pasa-banda del banco de filtros
16 orden = 6;
17
18 % Coeficientes del filtro pasa-bajos para filtrar la frecuencia portadora
19 [f_portadora_num, f_portadora_den] = butter(orden, 1500 / (Fs / 2));
20
21 % Coeficientes del filtro pasa-banda para emular el canal
22 [f_canal_num, f_canal_den] = butter(1, [300, 3500] / (Fs / 2));
23
24 % Estructura de datos para generar y guardar
25 % los coeficientes del banco de filtros
26 filtros = banco_decodificador(Fs, frecuencias_centrales, orden)
27
28 rmpath('desarrollo');
```

Código fuente 4.2: Algoritmo principal

4.3. Prototipo

En base a los resultados obtenidos de los *scripts* diseñamos el sistema completo, en los que cada bloque se alimenta de los datos resultantes. En la Figura 4.6 podemos ver los bloques intervenientes en la primera parte del sistema, esta incluye la selección de los tonos (inferior y superior) para luego sumarlos y lograr la codificación DTFM del número 5 en este caso. Luego pasamos a los bloques intervenientes en la modulación AM de las señales, sumando antes una constante 1 para poder realizar el producto con la señal portadora. Una vez obtenida la señal modulada en AM, esta se transmite por el canal de modulación, que según las especificaciones tiene el ancho de banda del espectro audible por el oído humano. Luego llega a la etapa de demodulación, en la que la señal se vuelve a batir (producto) con la portadora, y el resultado es una señal que tiene una componente en la frecuencia de la portadora y debe ser filtrada, por ello utilizamos un filtro pasa-bajos con frecuencia de corte 3[kHz]. Pasado este filtro, la señal obtenida es casi identica a la sumatoria de los dos tonos.

La segunda parte del sistema comprende la decodificación DTFM a través de un banco de filtros y una matriz decodificadora, como se muestra en la Figura 4.7. Primero debemos aislar las señales por tonos diferenciados, esto lo hace el banco de filtros digitales. Cada uno de estos es un filtro pasa-banda con frecuencia central en uno de los 7 tonos, de esta forma logramos aislar cada señal. Dado que estas son sinusoidales, necesitamos calcular el valor efectivo de las mismas para poder operar lógicamente ellas, entonces se coloca un bloque que realiza el cálculo. Luego, el valor obtenido es un número decimal, del cual nos interesa la parte entera, ya que con este dato vamos a validar la amplitud con la que la señal sale del filtro. La razón de hacer este procedimiento es que para poder comparar lógicamente las señales presente para determinar qué tono fue codificado y enviado, lo cual se explica a continuación.

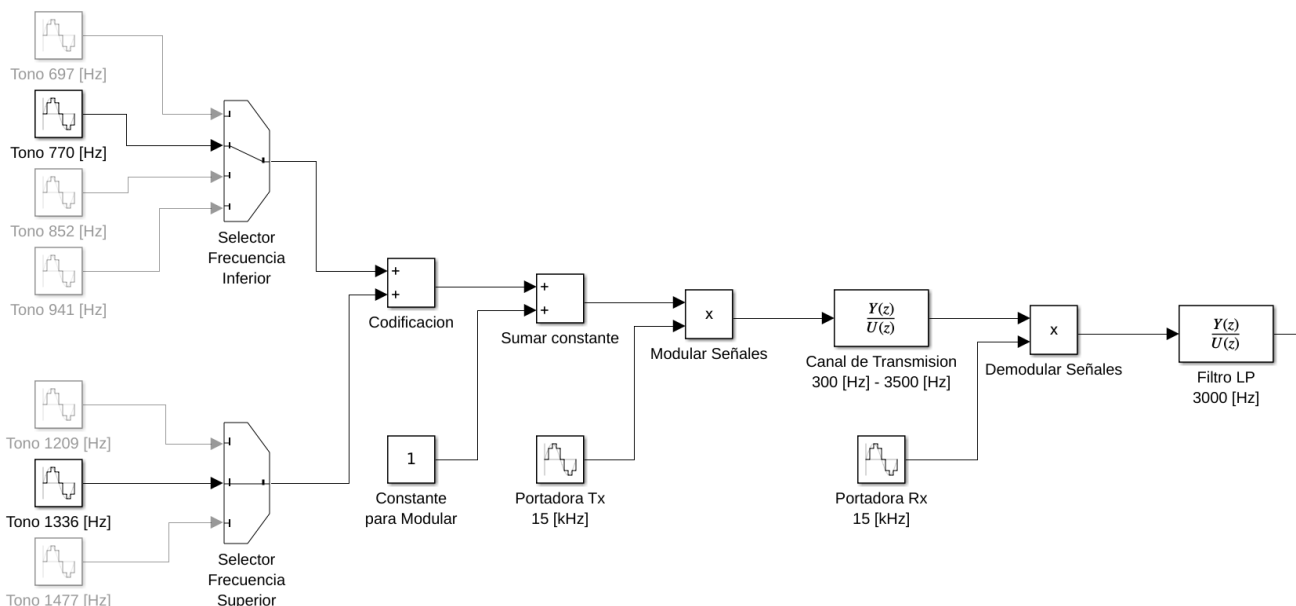


Figura 4.6: Codificación, Modulación, Transmisión y Demodulación

La matriz decodificadora se compone de bloques de operación lógica AND. La salida de este bloque será 1 si y solo si ambas entradas son diferentes a 0¹. Como los filtros anteriores son de orden relativamente bajo, es posible que al tratar las señales dejen pasar vestigios de la otra señal en la codificación pero

¹En el álgebra booleana aplicada en sistemas de control, todo valor igual a 0 se toma como "Falso", mientras que cualquier valor distinto de 0, por más infinitesimal que sea, es "Verdadero"

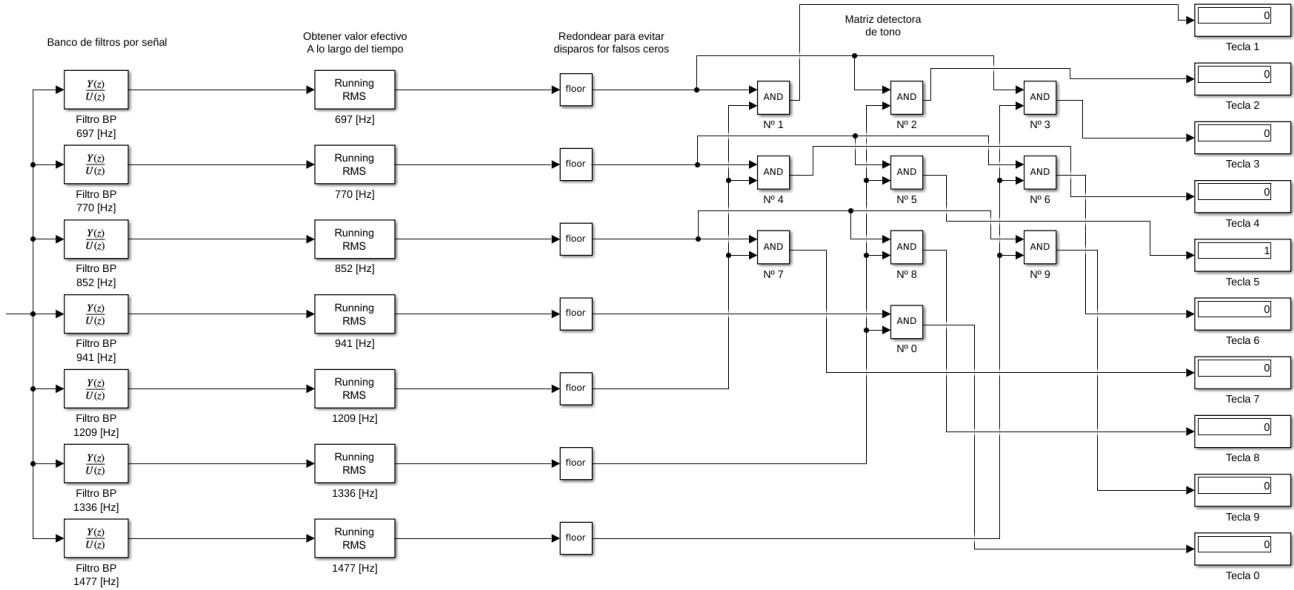


Figura 4.7: Banco de filtros y Decodificador

con mucha menor amplitud. El valor efectivo de este resultado puede ser muy bajo, infinitesimal, del orden de 10^{-2} , pero no 0 y por consiguiente el operador lógico lo tomará como válido y puede disparar falsos valores. Por esa razón debemos tomar la parte entera del valor eficaz, para garantizar que solo se debe tomar como válida a las señales que realmente son de la misma frecuencia que la frecuencia central de cada filtro.

4.4. Simulación

Para llevar a cabo la simulación vamos a considerar una serie de escenarios posibles, en los que se diferencia mayormente la confiabilidad en el canal de transmisión. Es decir, confiaremos en los bloques de control ya que son implementados a través de sistemas computacionales, pero el medio de transmisión es analógico y su eficacia depende de muchos factores físicos. Este se puede ver alterado de diversas maneras haciendo que parte de la información se pierda o corrompa. Para ello vamos a probar los siguientes escenarios:

1. El canal de transmisión es del tipo AWG-24 de menos de 200 [m] de largo, cuyo ancho de banda es de 1 [MHz].
2. El canal de transmisión es extenso y tiene el ancho de banda del espectro audíble por los humanos.
3. El mismo canal anterior presenta fallas atenuando en diferentes frecuencias dentro del espectro de tonos DTFM

4.4.1. Ancho de banda Extendido - 1 [MHz]

A los efectos prácticos, un canal de 1 [MHz] de ancho de banda bien podría ser considerado un canal ideal, lo que en la simulación equivaldría a no poner un filtro representativo del canal de transmisión. Eso significa que toda la señal que sale del modulador llega al demodulador. Sin embargo, realizaremos la simulación utilizando un filtro en el canal para obtener resultados lo más realista posible.

Dado de que la frecuencia de muestreo es de 44 [kHz], y por el Teorema de Nyquist-Shannon, la máxima frecuencia a muestrear debería ser menor o igual a la mitad de la frecuencia de muestreo. Por ello vamos a tomar que el canal tiene un ancho de banda que va desde 0 [Hz] hasta 20000 [Hz]. Este será implementado con un filtro Butterworth de 2do orden pasa-bajos para obtener una respuesta plana en la banda de paso.

Para realizar esta simulación, haremos una modificación en el Código 4.2, cambiaremos la banda de paso del filtro del canal con los valores `butter(2, 22000 / (Fs / 2))`, ejecutamos el *script* y probaremos enviar el número 1.

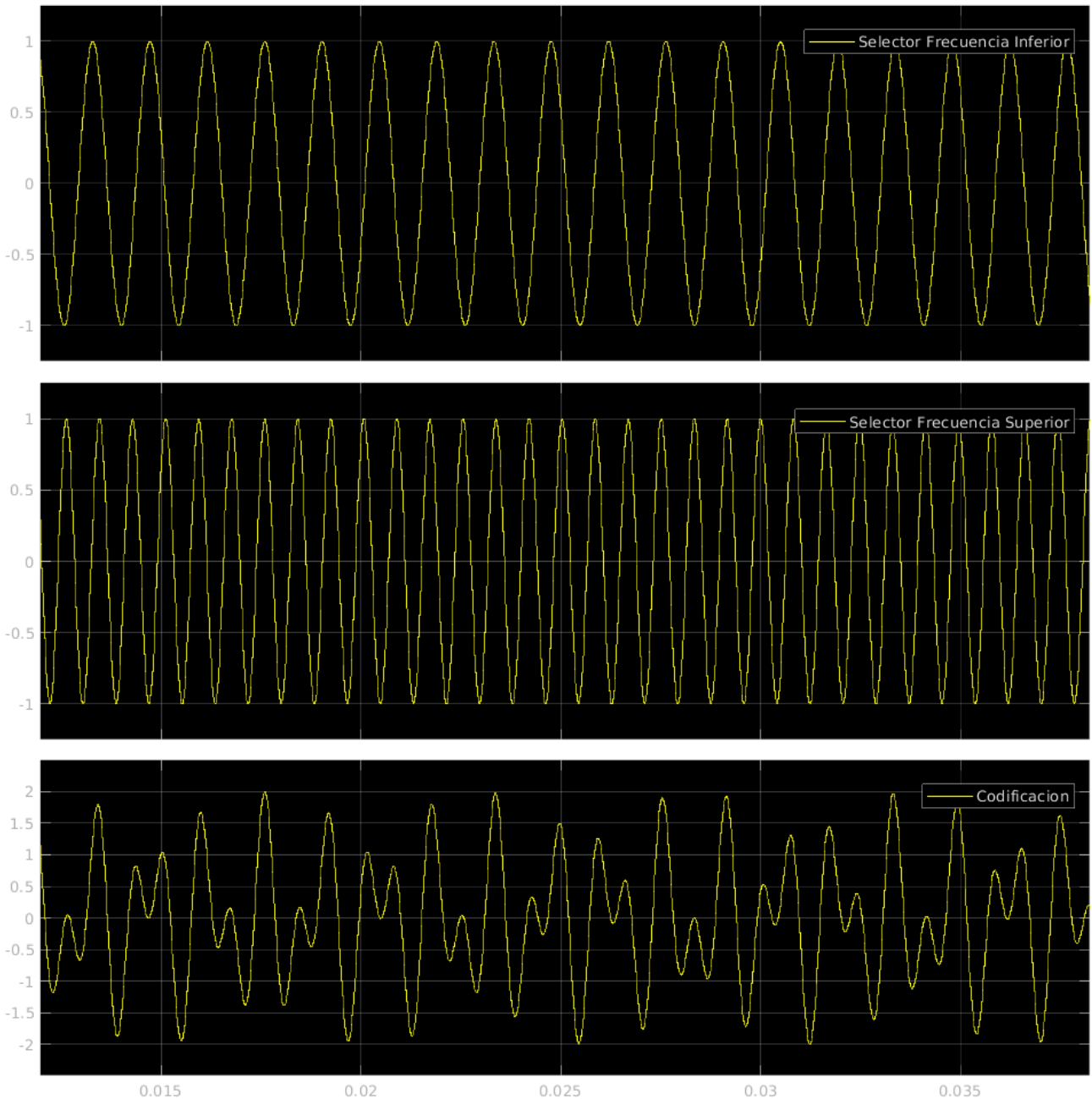


Figura 4.8: Codificación del número 1

En la Figura 4.8 podemos observar la etapa de codificación. Las 2 primeras señales son la frecuencia inferior y superior que componen al número 1 (697 [Hz] y 1209 [Hz]), y la tercera es el resultado de sumar ambas señales.

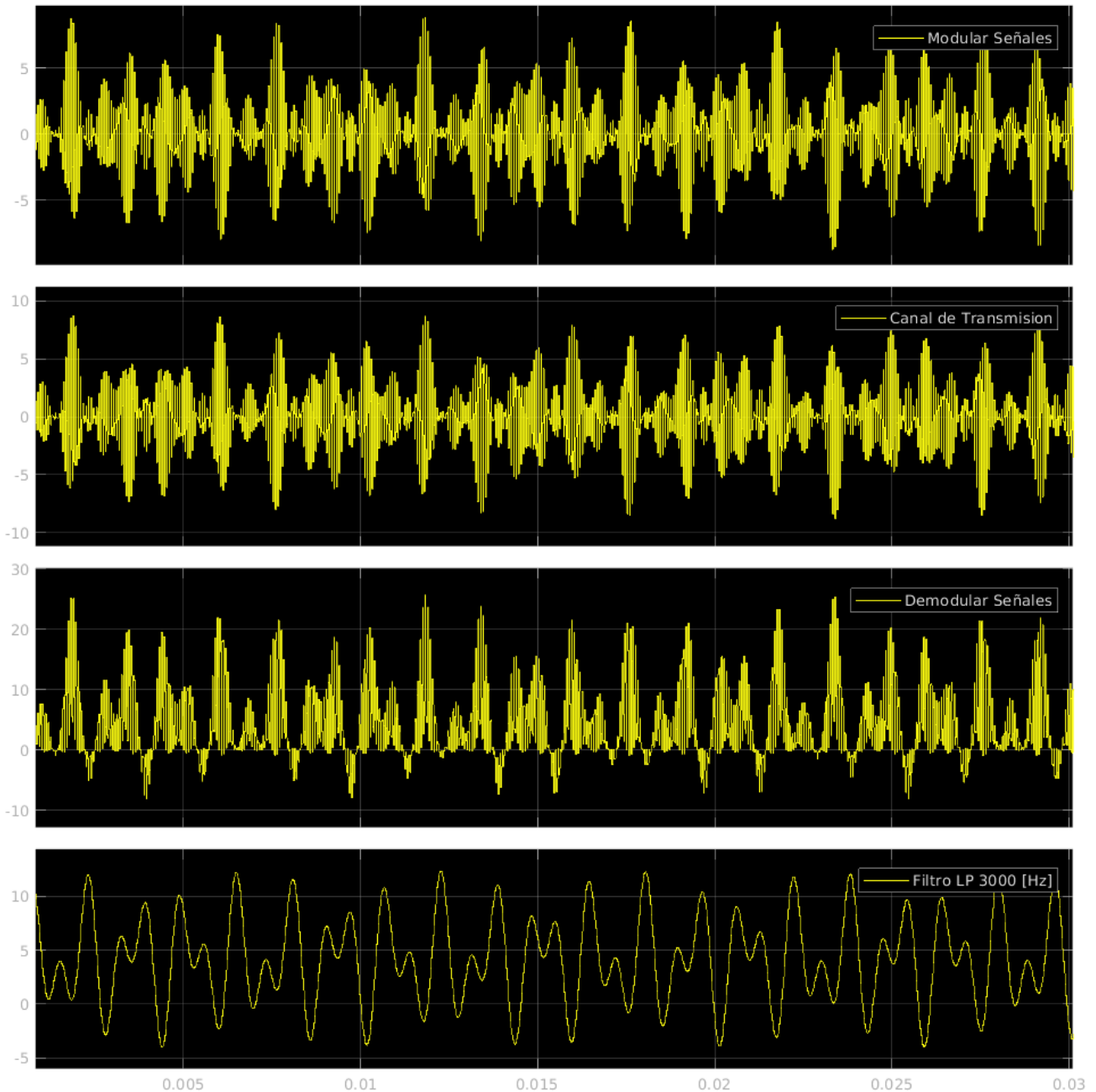


Figura 4.9: Modulación, Transmisión y Demodulación

En la Figura 4.9 tenemos 4 muestras. La primera es la señal modulada, es decir la portadora modulada por la señal codificada del número 1. En la segunda muestra es la misma señal pero a través del filtro representativo del canal. Podemos notar que son similares pero se encuentran desfasadas, y esto se debe al filtro en sí. También podemos observar que la señal no tuvo perdidas de ganancia, mantiene la amplitud con la que salió del modulador. En la tercera muestra vemos la señal luego de ser demodulada, en la que

podemos ver que no tiene la forma de la señal codificada, y esto es porque aún tiene una componente de la frecuencia de la señal portadora. En la cuarta muestra vemos que la señal ya tiene la forma de la señal codificada, esto es porque pasó por el filtro pasa-bajos a 3000 [Hz], eliminando así dicha componente.

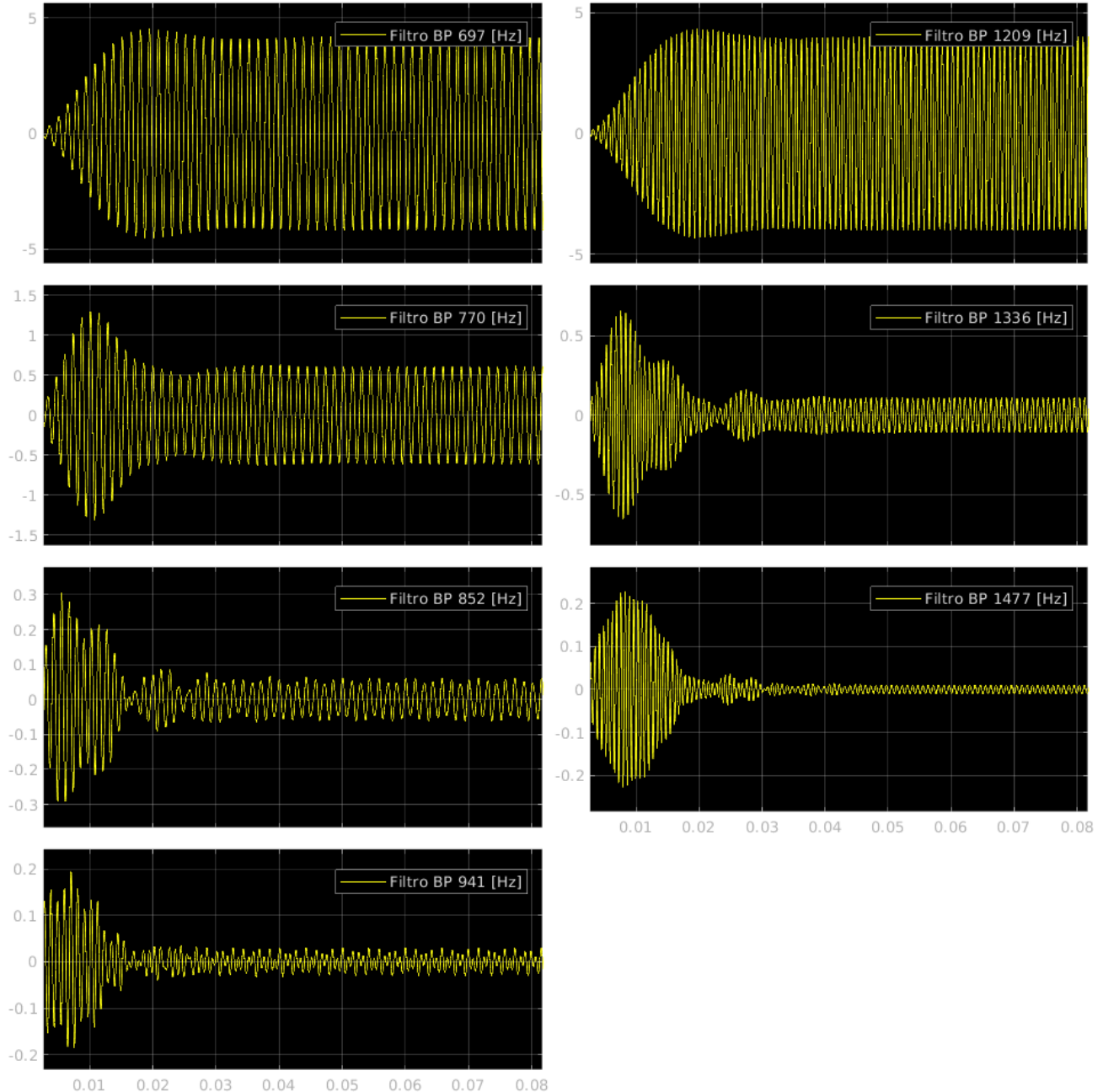


Figura 4.10: Salida del Banco de Filtros

Una vez tratada y obtenida la señal deseada, puede pasar al banco de filtros para poder aislar las señales que componen la codificación. En la figura 4.10 observamos la respuesta de cada filtro a la señal, y podemos notar rápidamente que en los filtros de 697 [Hz] y 1209 [Hz] las salidas son con mayor intensidad (porque son las que realmente buscamos aislar), mientras que en las otras se atenúa considerablemente. En algunos filtros se atenúa más que otros y esto se debe al solapamiento que

tienen los filtros debido a la proximidad de las frecuencias en cuestión.

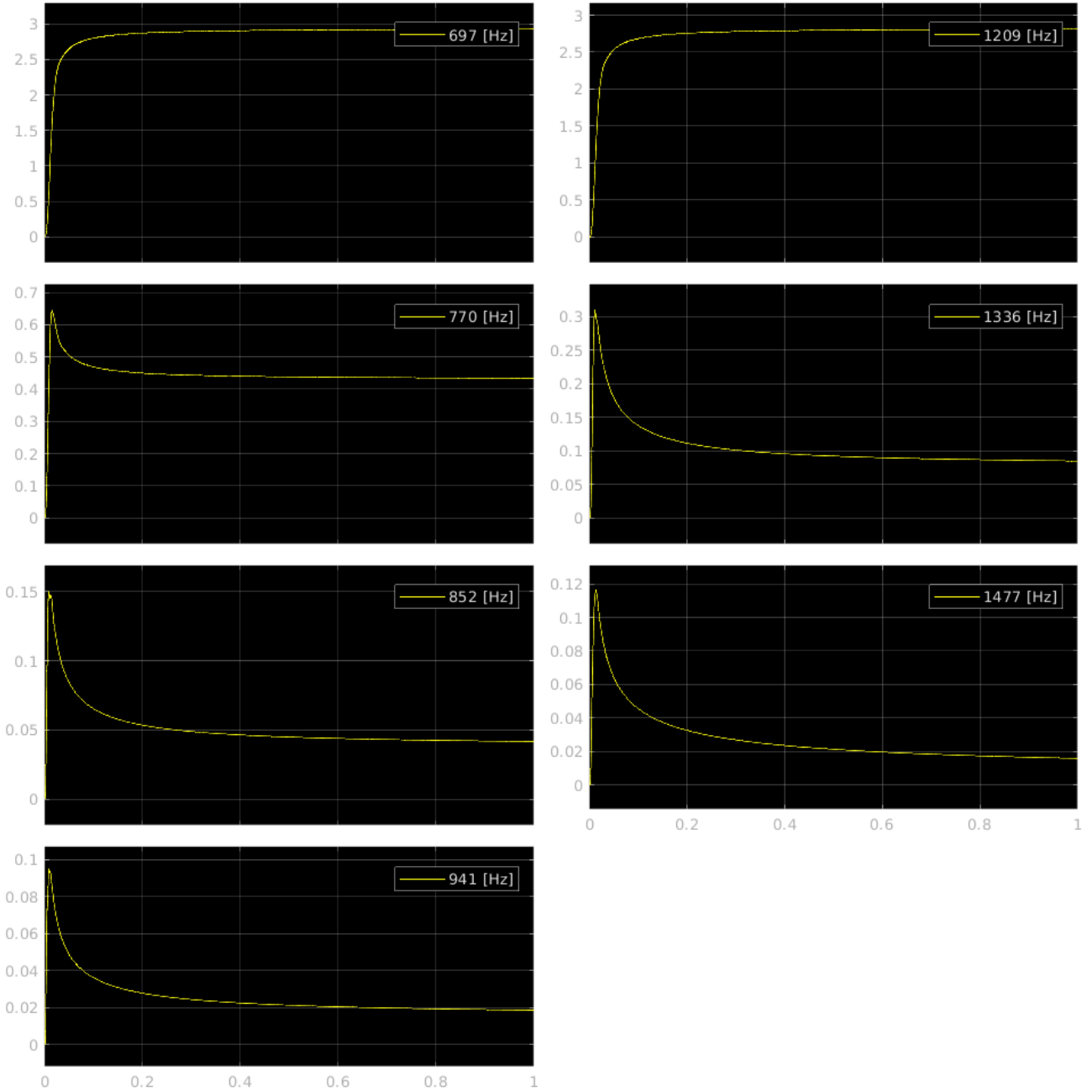


Figura 4.11: Valor Eficaz del Banco de Filtros

Luego de aislar las señales, necesitamos obtener el valor eficaz de cada salida. En la Figura 4.11 observamos las salidas de cada bloque RMS y claramente de los filtros que no son de interés se obtiene valores muy pequeños en contraste con los 2 que sí nos interesa. El paso siguiente es obtener el valor numérico de esas salidas para obtener solamente la componente entera, que en nuestra simulación determina que esa señal está activa.

Para finalizar observamos las salidas de las compuertas lógicas de la matriz decodificadora. En la Figura 4.12 tenemos cada muestra dispuesta como un teclado numérico, con su etiqueta

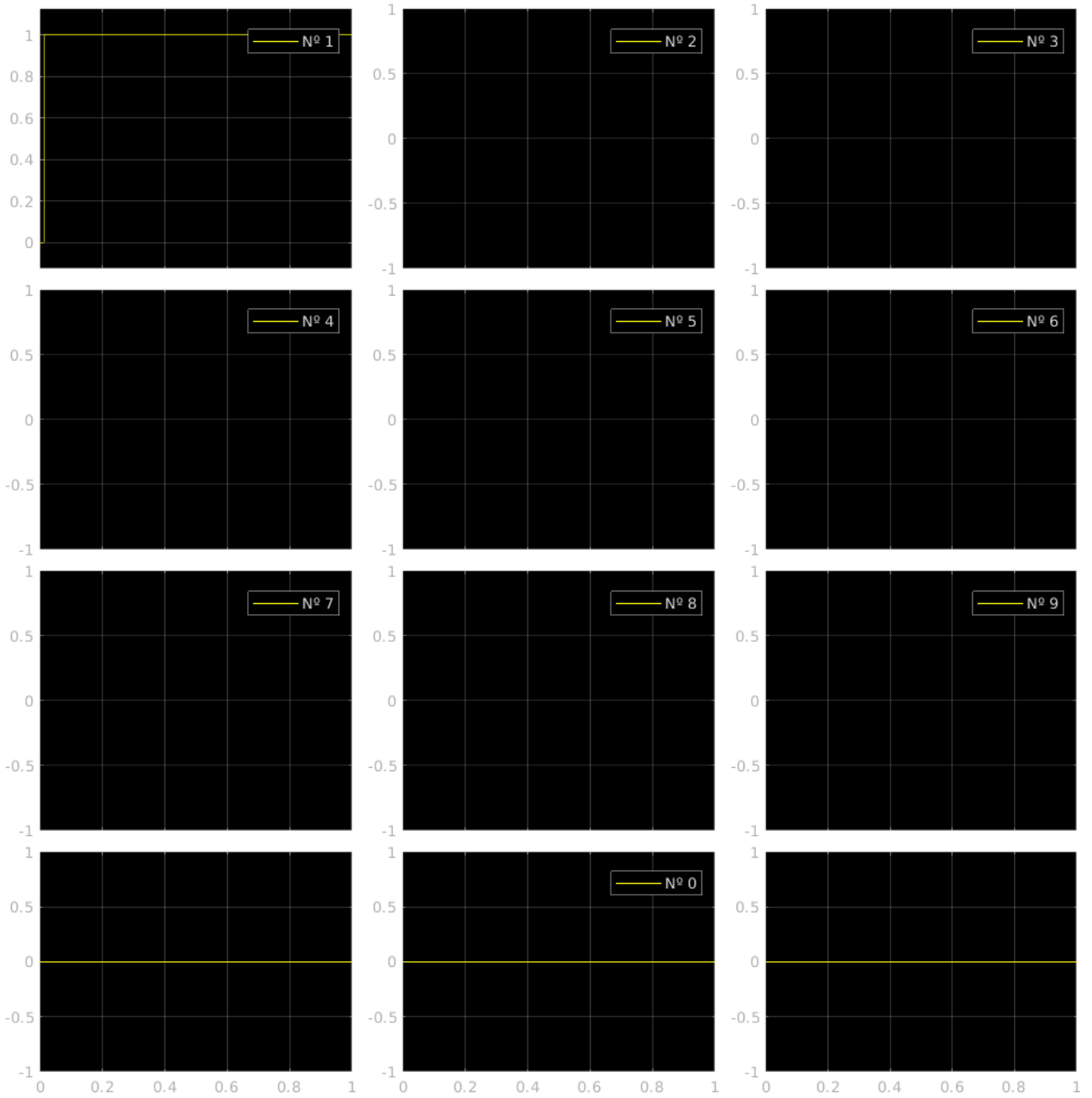


Figura 4.12: Decodificación de las Señales

correspondiente. Notamos que la muestra del número 1 es la única que tiene valor alto (1 lógico), mientras que las otras están en 0². Para mejorar la visualización del funcionamiento, en la Figura 4.13 se muestran los Visores al final del sistema, los cuales muestran los valores de las señales de la matriz decodificadora, y nuevamente, vemos que todas están en 0 con la excepción de la tecla número 1.

²En algunas muestras no se logra ver la señal debido a fallas en la renderización de la gráfica, pero si fueran 1 se verían como la primera muestra

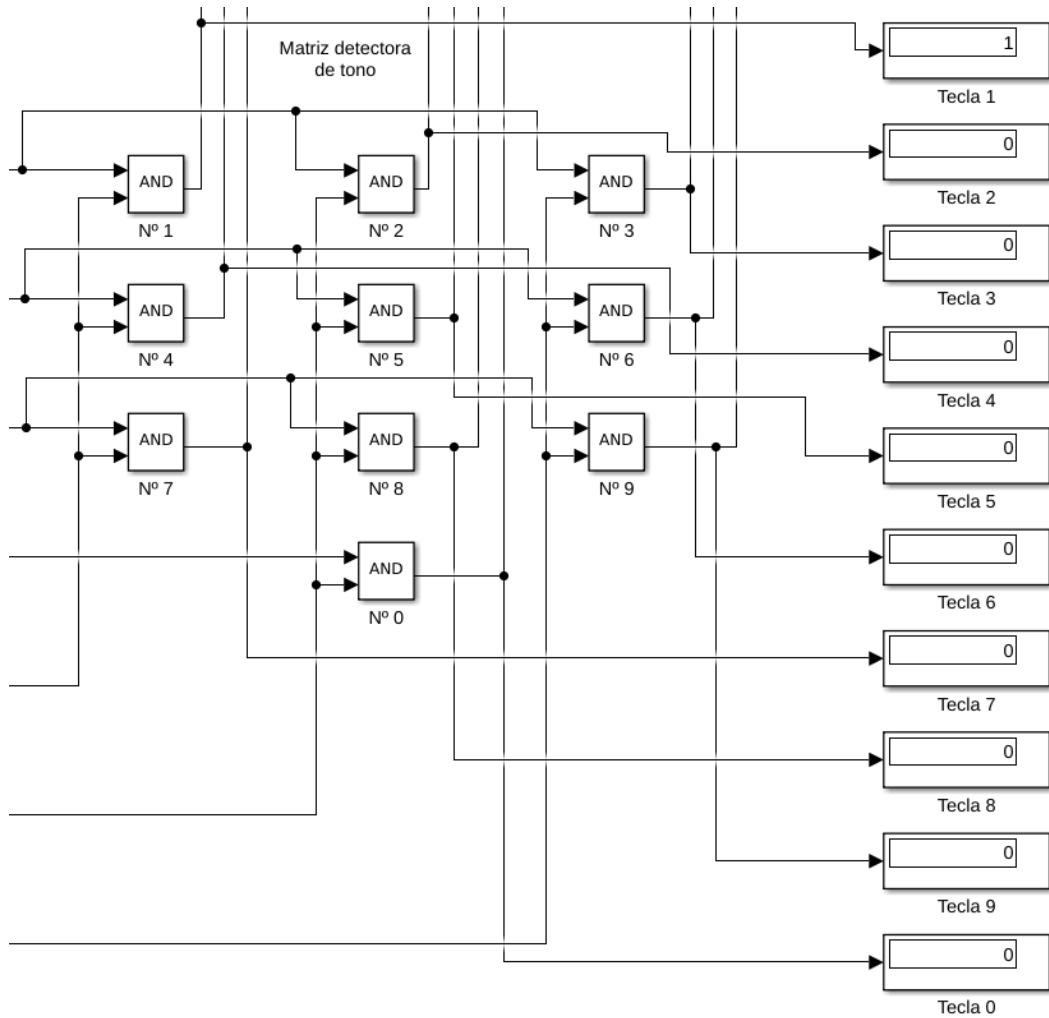


Figura 4.13: Visor de la Simulación

4.4.2. Ancho de banda Reducido - 3 [kHz]

Para esta simulación, modificamos nuevamente el Código 4.2 para que vuelva a operar con el canal real, establecido entre 300 [Hz] y 3500 [Hz]. Por motivos de simplicidad la simulación la vamos a analizar directamente desde el canal, ya que la etapa de codificación no se modifica.

Para empezar, vamos a hacer un análisis de la estabilidad del canal ya que este ahora es diferente al canal "ideal" del apartado anterior. Para ello hicimos uso del Código B.3 y obtuvimos los resultados que se muestran en la Figura 4.14. Se puede observar que los polos indican que el filtro es estable, sumado a que la respuesta al impulso y al escalón también lo reafirman. Pero lo que llama la atención aquí es la respuesta en frecuencia del filtro. Es de esperarse que la curva tenga esa forma, ya que para eso fue diseñado, pero vemos también que está filtrando componentes de alta frecuencia, casualmente entre ellas se encuentra la señal portadora. Vamos a analizar si esto representa un problema para la simulación.

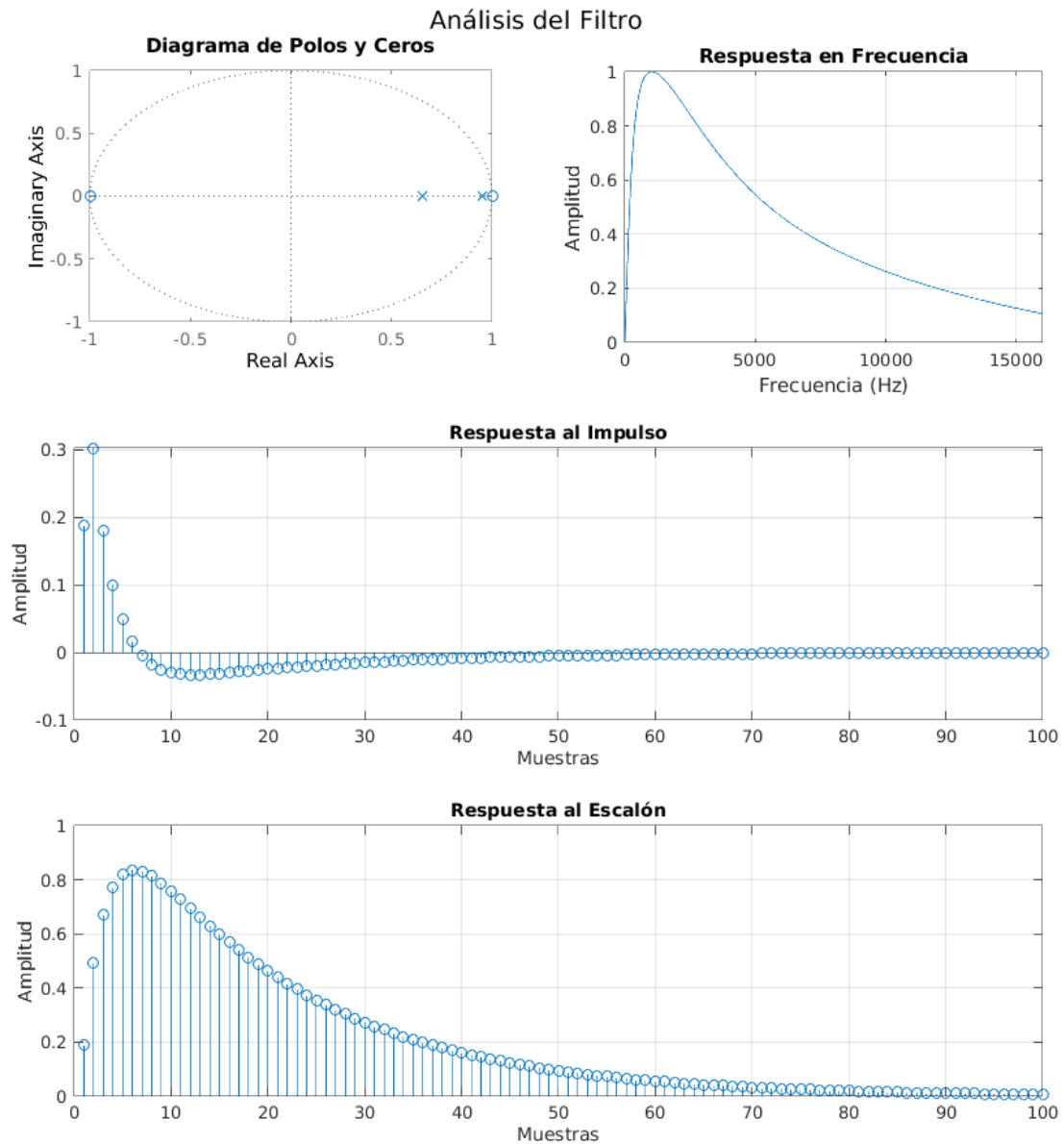


Figura 4.14: Estabilidad del Canal

En la Figura 4.15 vemos que al pasar por el canal, la señal se ve drásticamente atenuada (casi 10 veces menos) lo cual ya puede significar un problema considerando que en el ejemplo anterior esto no pasaba. Luego de pasar por el demodulador, la señal parece que no sufrió ningún cambio, esto pudo ocurrir porque la componente con mayor amplitud (la portadora) ha sido filtrada, con lo cual la demodulación ya no tiene sentido. Y luego pasando por el filtro que estaba destinado a filtrar la portadora, la señal pierde más ganancia. Todo parece indicar que el sistema no va a funcionar correctamente debido a que la señal llega con poca fuerza al banco de filtros.

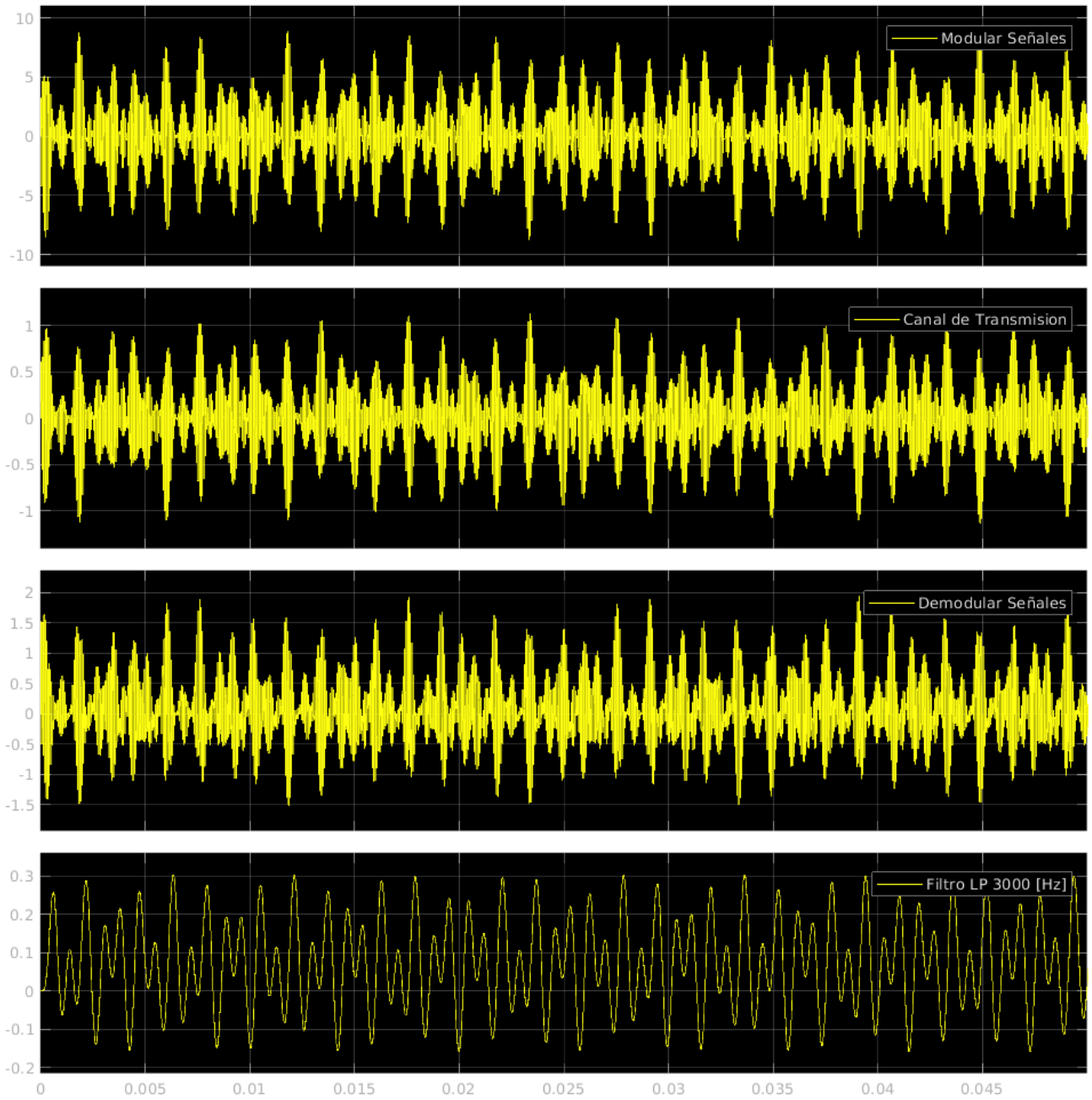


Figura 4.15: Modulación, Transmisión y Demodulación

Al pasar por el banco de filtros, como muestra la Figura 4.16, podemos notar que las señales son correctamente aisladas. Es decir que la señal codificada se puede detectar, pero estas tiene muy poca amplitud. Por consiguiente, el valor eficaz será aún menor y numericamente ninguna señal no conseguirá pasar la unidad (en magnitud), como se puede ver en la Figura 4.17.

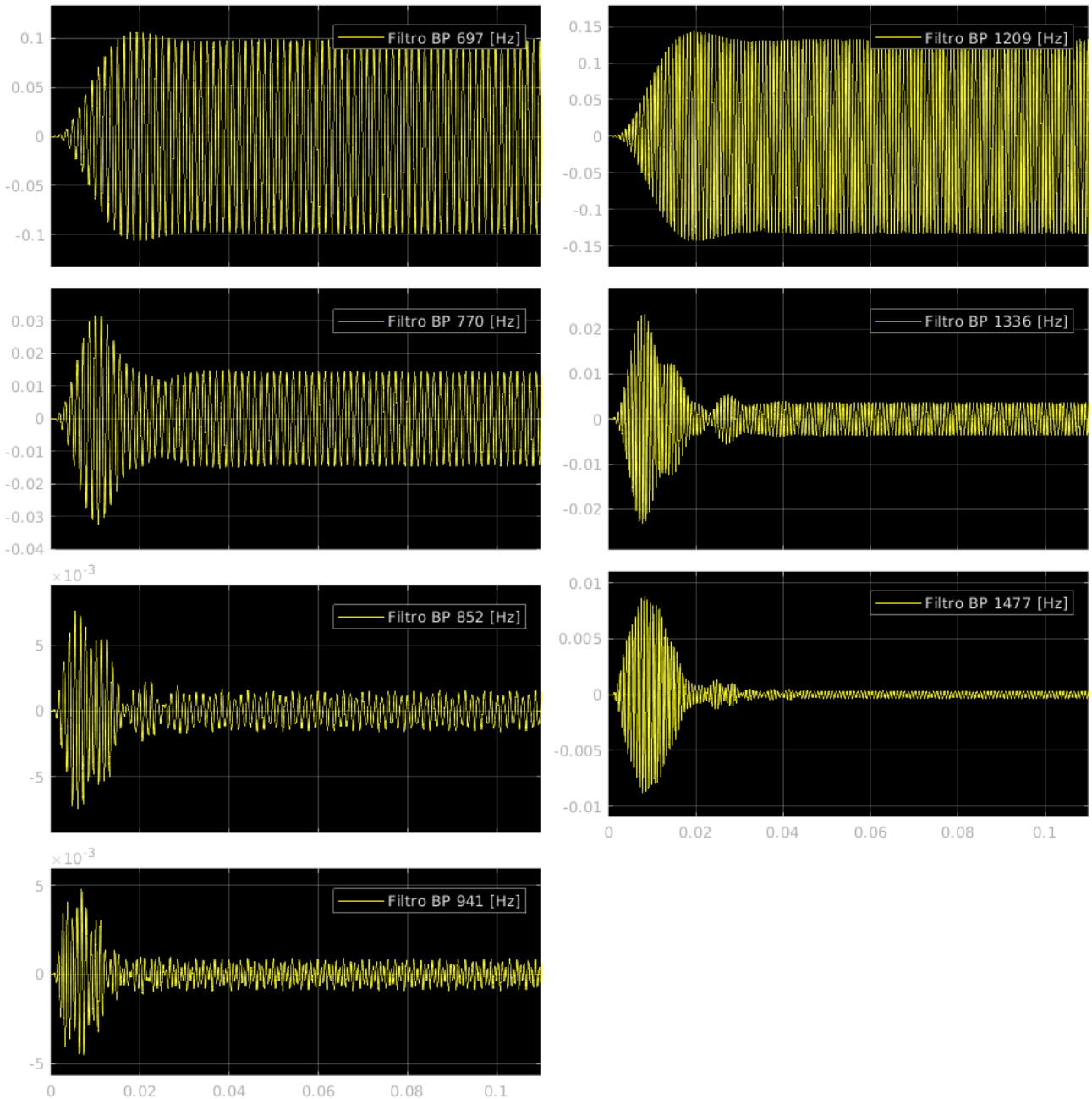


Figura 4.16: Salida del Banco de Filtros

En consecuencia, podemos ver en el visor del sistema (Figura 4.18) que ninguna tecla se encuentra activa, ya que las señales no tienen una amplitud adecuada para lograr activar las compuertas.

Esto lo podemos analizar desde 2 puntos de vista: el sistema está mal calibrado en cuestiones de umbrales y solo necesita un ajuste (ya que las señales llegan correctamente); o bien, necesitamos aumentar la ganancia de la señal modulada enviada al canal para que el sistema siga funcionando acordemente. Empíricamente, encontramos que aumentar 20 veces la señal a la salida del modulador es suficiente para mantener el sistema funcionando correctamente.

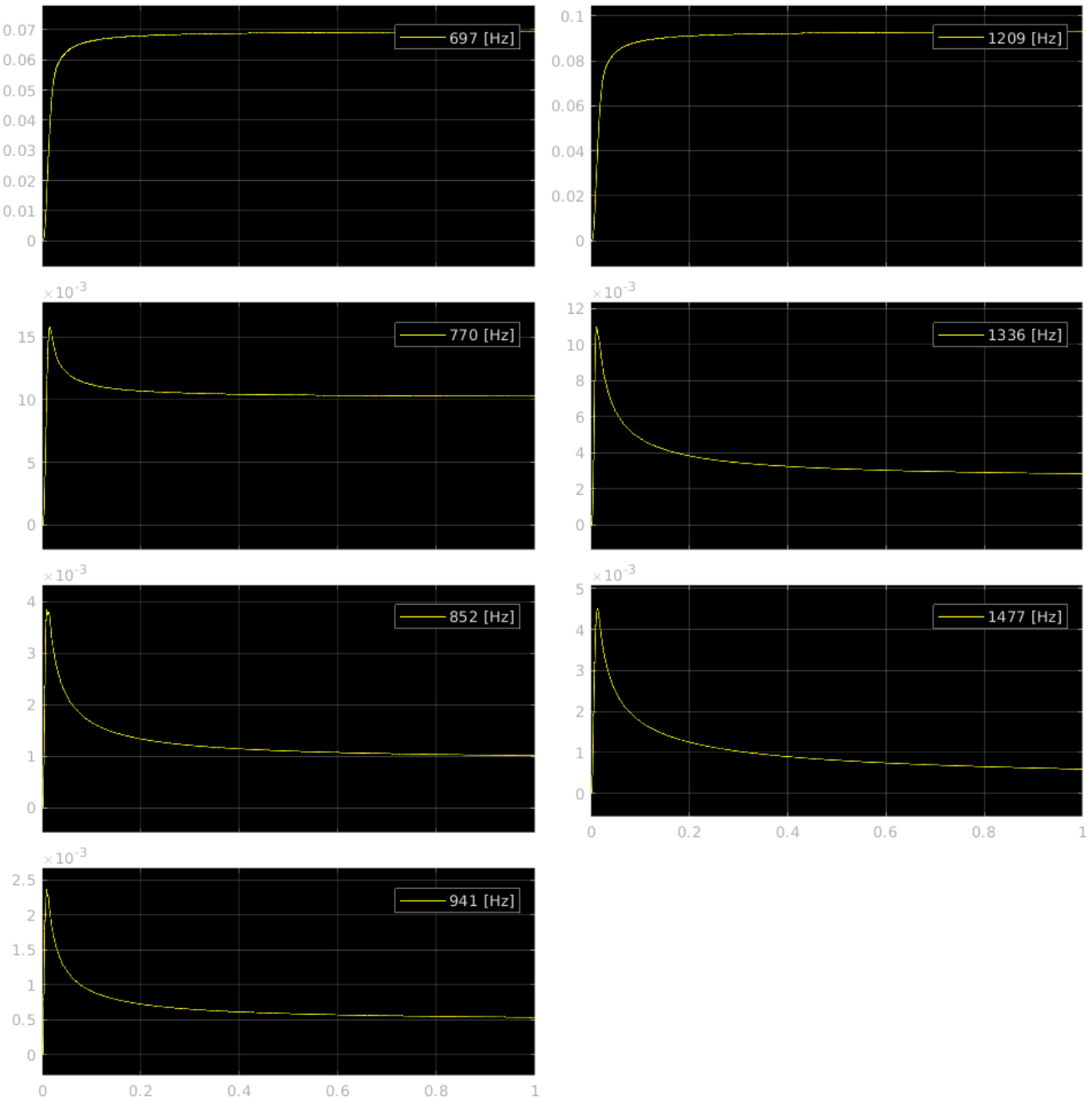


Figura 4.17: Valor Eficaz del Banco de Filtros

Sin embargo, esto puede ser ineficiente. Claramente el canal de transmisión filtra la señal portadora entonces ¿Es realmente necesaria la modulación? Los sistemas AM están pensados para medios de transmisión en los que se pueden enviar frecuencias altas (como el aire). En un cable que tiene el ancho de banda de la voz (cable telefónico, por ejemplo) es innecesario el uso de la modulación en amplitud porque la portadora se pierde. Para este mismo sistema bastará enviar la señal codificada pero con una amplitud lo suficientemente grande para que pueda atravesar el medio y pueda ser tratada a través del banco de filtros y las demás etapas.

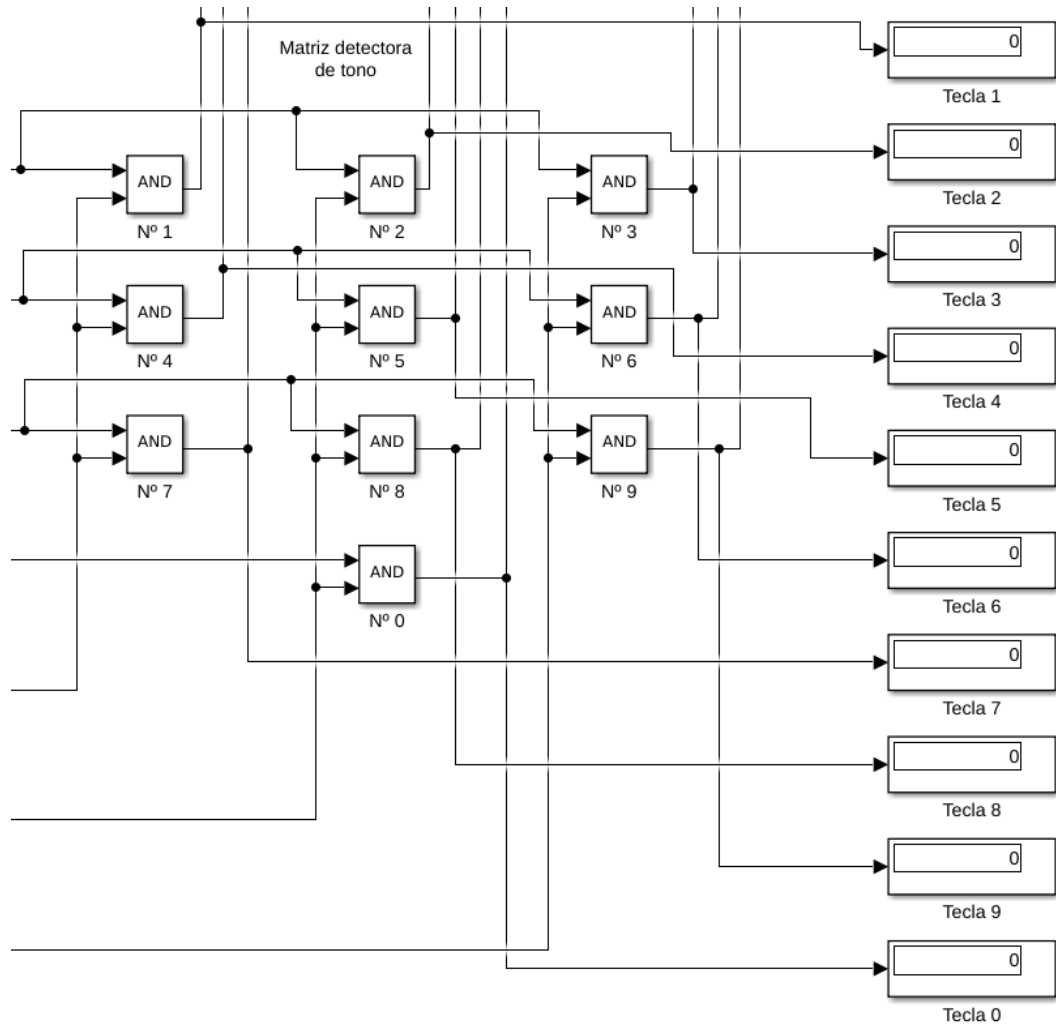


Figura 4.18: Visor de la Simulación

4.4.3. Canal con Fallas

```

1 function [numd, dend] = canal_fallas(orden, muestreo)
2 % Diseño del canal de transmisión con fallas
3
4 Ts = 1 / muestreo;
5
6 % Frecuencias de corte deseadas en el dominio analógico
7 f_analog_bp = [300, 3500]; % Pasa Banda
8 f_analog_sp = [700, 1500]; % Rechaza Banda
9
10 % Calcular la frecuencia pre-warped para cada frecuencia de corte
11 f_warp_bp = (2 * muestreo) .* tan(pi * f_analog_bp * Ts);
12 f_warp_sp = (2 * muestreo) .* tan(pi * f_analog_sp * Ts);
13
14 % Diseño analógico de un filtro Butterworth de 2do orden (banda de paso)
15 [b, a] = butter(orden / 2, f_warp_bp, 's');
16
17 % Diseño analógico de un filtro Butterworth de 2do orden (atenuación)
18 [B, A] = butter(orden / 2, f_warp_sp, 'stop', 's');
19
20 % Convolución de los coeficientes para obtener el canal con attenuación
21 num = conv(b, B);
22 den = conv(a, A);
23
24 % Transformación Bilineal para convertir a dominio discreto
25 [numd, dend] = bilinear(num, den, muestreo);
26 end

```

Código fuente 4.3: Diseño de Filtro Digital represtantivo del canal con fallas

Ahora vamos a simular el sistema pero con un canal que presenta fallas. Para esto utilizamos el Código 4.3 para diseñar el canal. Este código diseña el prototipo analógico del canal con fallas y luego le realiza una transformación bilineal para obtener el filtro digital, entonces antes que nada se necesita realizar el Pre-Warping para compensar la distorsión que genera transformación. Luego se genera el filtro analógico prototipo Butterworth pasa-banda (similar al del apartado anterior). Luego se genera otro filtro analógico Butterworth prototipo, pero este es un rechaza banda entre las frecuencias 700 [Hz] y 1500 [Hz]. Para generar el canal con fallas, se realiza la convolución de ambos filtros (numerador a numerador, denominador a denominador) para obtener el filtro analógico resultante. Luego se aplica la transformación bilineal para así obtener el filtro digital del canal con fallas. Para poder aplicar este canal tenemos que hacer un cambio en el algoritmo principal (Código 4.2), en la línea 22 cambiamos a `[f_canal_num, f_canal_den] = canal_fallas(2, Fs);`, y con esto estaríamos en condiciones de usar el mismo filtro de canal, ya que los valores de este fueron actualizados.

En la Figura 4.19 podemos ver primero la respuesta en frecuencia del filtro del canal real en contraste con la del filtro rechazabanda, la segunda curva es la convolución de ambos filtros y el resultado (que sigue siendo analógico), y finalmente vemos el filtro digital resultante. Se puede observar que la respuesta en frecuencia es similar al analógico pero con algunas irregularidades, esto no necesariamente es malo sino que podemos aprovechar para probar la robustez del sistema.

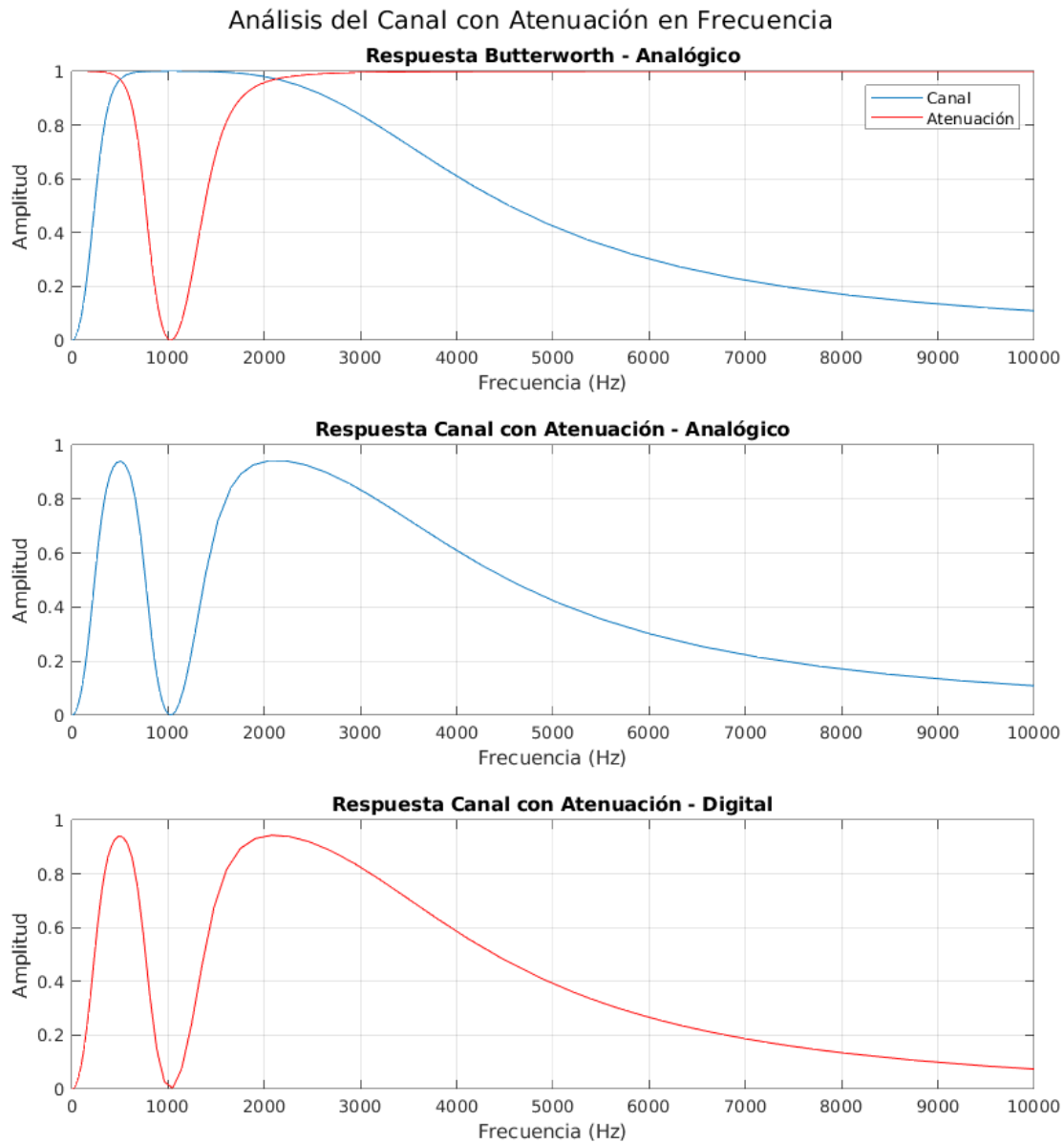


Figura 4.19: Respuesta en frecuencia del canal con falla

Además de esto también realizamos en análisis de estabilidad del canal con fallas, para asegurarnos que lo es y poder probar la simulación correctamente. En la Figura 4.20 podemos ver que los polos se encuentran dentro del círculo unitario, y que las respuestas al impulso y al escalón no crecen desmedidamente, por lo que podemos asegurar que el filtro es realmente estable.

Otra cosa que podemos notar a simple vista es que la señal portadora será filtrada, al igual que en el ejemplo anterior. Entonces para esta simulación proponemos realizar una modificación al sistema, que es remover la parte de la modulación y demodulación ya que es irrelevante si la portadora va a ser filtrada. Podemos asegurar que esto no va afectar al funcionamiento ya que vimos que la portadora solo

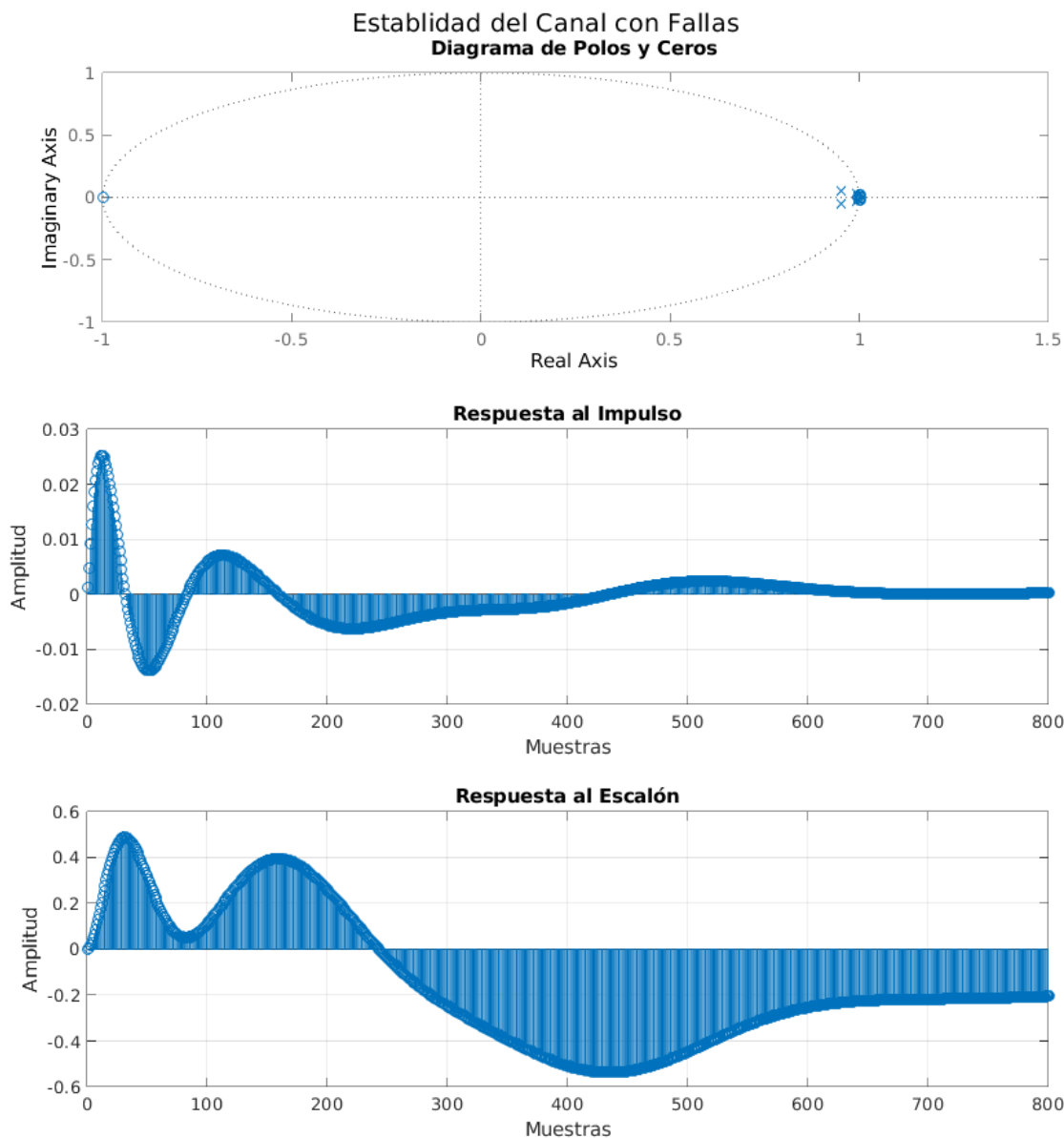


Figura 4.20: Análisis de Estabilidad del Canal con Fallas

juega un papel importante para la transmisión, no así para la codificación ni decodificación.

Analizando más profundamente la respuesta en frecuencia del canal, debemos recalcar que la banda de rechazo forma un valle que se extiende por todo el espectro de señales usadas para codificar. ¿Esto significa que no va a funcionar, ya que implica atenuar todas las señales que se utilizan para la codificación? No necesariamente implica que no va a funcionar, esto se debe analizar en las diferentes frecuencias para poder llegar a esa conclusión. Es claro que, según la curva, las frecuencias más cercanas a 1000 [Hz] van a ser las más perjudicadas, pero ya que el filtro rechaza-banda que constituye esa parte del canal es de bajo nivel, las frecuencias en los extremos (700 [Hz] y 1500

[Hz]) tal vez sean atenuadas pero no lo suficiente para ser rechazadas por los bloques de truncamiento o redondeo. Entonces proponemos el análisis para la codificación de los números 3, 5 y 7. Esto es porque 3 se compone de las frecuencias más alejadas entre sí en el espectro (en los extremos antes mencionados), 5 porque se compone de las frecuencias centrales de cada grupo (altas y bajas) y 7 porque se compone de las frecuencias más cercanas entre grupos y son las más cercanas a la parte más atenuada de la banda de rechazo.

Entonces el sistema a simular ahora quedaría modificado para no usar la modulación y demodulación, quedando solamente el filtro representativo del canal de transmisión con fallas, como se muestra en la Figura 4.21. Además de esta modificación, agregamos un tercer selector, el cual alterna la señal entre el canal amplificado en 3 y el no amplificado, esto es simplemente para hacer más dinámica las pruebas. En este caso usaremos el canal amplificado.

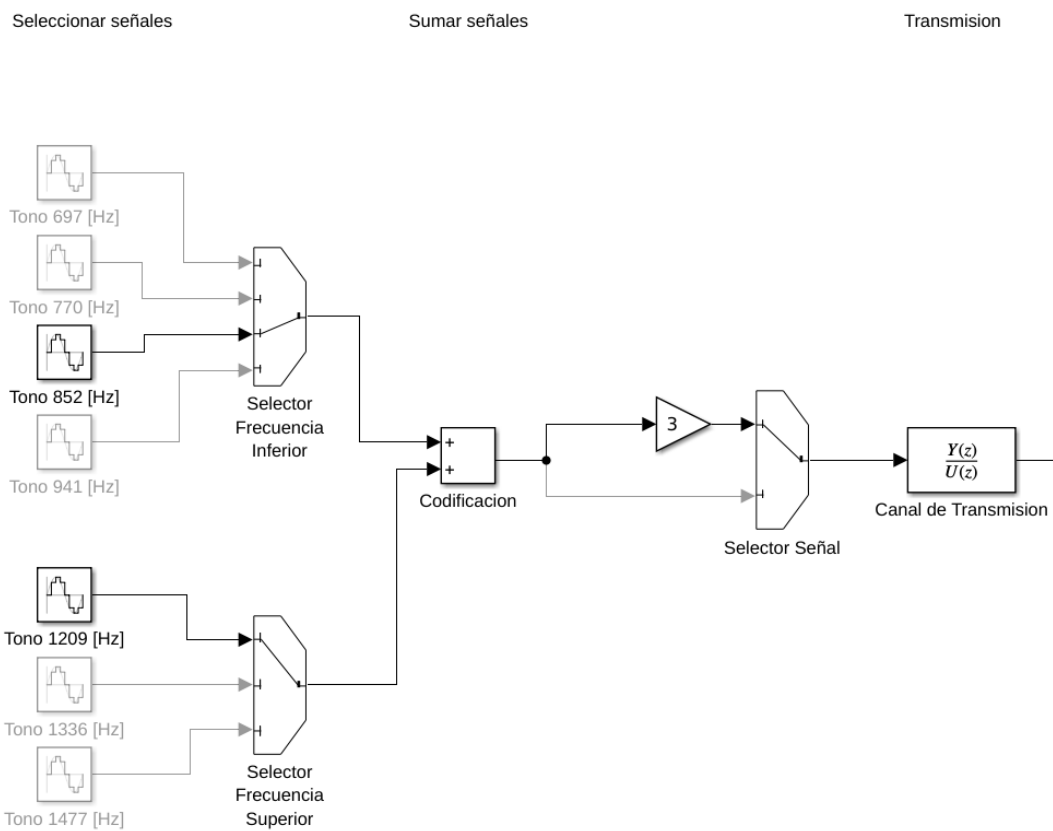


Figura 4.21: Sistema Modificado sin Modulación

Con esta nueva configuración procedemos a realizar las simulaciones para las diferentes combinaciones de tonos, es decir para todas las teclas [0-9]. Para mayor simplicidad los resultados de las simulaciones se encuentran en los siguientes Apéndices:

1. Simulación para la Tecla 1: Apendice D.1.
2. Simulación para la Tecla 2: Apendice D.2.
3. Simulación para la Tecla 3: Apendice D.3.
4. Simulación para la Tecla 4: Apendice D.4.
5. Simulación para la Tecla 5: Apendice D.5.
6. Simulación para la Tecla 6: Apendice D.6.
7. Simulación para la Tecla 7: Apendice D.7.
8. Simulación para la Tecla 8: Apendice D.8.
9. Simulación para la Tecla 9: Apendice D.9.
10. Simulación para la Tecla 0: Apendice D.10.

Como dijimos anteriormente, en base a la respuesta en frecuencia del filtro representativo del canal (Figura 4.19) está la tendencia de que las frecuencias cercanas 1000 [Hz] sean muy atenuadas por lo que a la salida del banco de filtros no lograran encender la compuerta correspondiente de la codificación a la que pertenece. Para este ejemplo podemos analizar la Tecla 0 (Apendice D.10), cuya frecuencia inferior es 941. Como se puede apreciar, el valor eficaz de la misma es demasiado pequeño, menor a 1, entonces no logrará activar la compuerta lógica. Pero su otra frecuencia, la superior, está más cercana a 1500 [Hz] (el extremo de la banda de rechazo), entonces logra superar el valor 1. De cualquier forma, se necesita que ambas logren pasar esa barrera para poder activar la compuerta y que se detecte se presionó tal tecla.

Para la Tecla 3 (Apendice D.3) que tiene las frecuencias (inferior y superior) más alejadas una con respecto de la otra, sí logra activar la compuerta. Esto no se debe al hecho en sí de que sean alejadas, sino de que están más cercanas a los extremos de la banda de rechazo, donde hay menor atenuación.

Para la Tecla 5 (Apendice D.5) es similar al caso anterior, pero estas frecuencias ya se acercan un poco más y se adentran más en la banda de rechazo. Sin embargo la atenuación no es suficiente para filtrarlas y que no se logre la detección de la misma. Si cabe aclarar que el valor eficaz es menor, ligeramente por encima de 1.

Por último la Tecla 7 (Apendice D.7) ya es diferente, sus señales fueron más atenuadas y los valores eficaces apenas superan los 0.8. Entonces para la compuerta lógica se toman como 0, y la hipótesis se cumple. Como están mucho más adentradas en la banda de rechazo, son atenuadas lo suficiente para que estas no logren encender la compuerta que corresponde a la tecla, y por consiguiente no se detecta que la misma haya sido oprimida.

Capítulo 5

Conclusiones

5.1. Resultados

Luego de haber completado el desarrollo de la simulación y analizar los resultados obtenidos podemos concluir que es posible implementar este sistema en el mundo real. La decodificación es exitosa para el caso ideal, esto significa que el banco de filtros presenta el comportamiento esperado, dando respuestas correctas y aceptables para las diferentes señales emitidas que se encuentren dentro de la banca de paso de cada uno de ellos. Si bien no pudimos utilizar filtros de alto nivel debido a complicaciones con el Simulink, usar filtros de orden 6 fueron suficientes para poder filtrar correctamente las señales de interés.

Así también, probamos que es posible simular un canal ideal, un canal con banda de ancha similar a un cable telefónico y un canal similar pero con fallas, utilizando filtros pasa-banda y rechazabanda. Claramente el canal ideal es lo mejor para la simulación, pero en el mundo real nos tenemos que adaptar e idear soluciones reales, por lo que simular este tipo de caso fue necesario para darnos cuenta que los sistemas de control requieren ajustes para adaptarse a los ambientes reales.

5.2. Aplicaciones

Las posibles aplicaciones para este sistema pueden ser interminables, la premisa es que se requiera un control por teclado numérico y se establezca la comunicación entre un transmisor y receptor que se encuentren relativamente alejados. El medio de transmisión puede variar pero eso se puede ajustar como ya vimos en la simulación. A continuación enumaremos algunos ejemplos.

Sistemas de Alarma y Seguridad

Se pueden implementar sistemas de alarma que permitan la activación y desactivación remota utilizando tonos DTMF como códigos de acceso. Esos códigos transmitidos por tonos pueden abrir puertas o portones de forma remota, por ejemplo.

Automatización Industrial

En el ámbito industrial se pueden controlar procesos industriales y maquinaria utilizando señales DTMF para encender, apagar o ajustar parámetros. Por ejemplo, controlar y monitorear vehículos en una flota, como activar alarmas, bloquear o desbloquear puertas, a través de tonos DTMF.

Sistemas de Domótica

Una aplicación de menor escala puede ser implementar sistemas de automatización en el hogar para controlar luces, termostatos, cortinas, etc., mediante señales DTMF. También se utilizan estas señales para controlar dispositivos como televisores, reproductores de DVD, sistemas de entretenimiento en el hogar, etc.

5.3. Problemáticas

Al implementar cualquier solución a un problema real utilizando este sistema van a surgir complicaciones, y estas están asociadas al ajuste de parámetros o la arquitectura en sí. Es decir, no es lo mismo implementar este sistema para Dómotica que puede tranquilamente mediante la transmisión por aire, que un sistema para automatización industrial que conviene utilizar cables para una transmisión directa. En cada caso, la arquitectura del sistema deberá modificarse. Dependiendo del medio, tal vez sea importante amplificar las señales para compensar la perdida por el medio de transmisión. También hay que considerar que las señales de codificación de mayor frecuencia (tono superior) pueden tener pérdidas en líneas largas de conexión telefónica, por lo que normalmente deberían ser de 1,5 % (2db) mayor con respecto de los tonos bajos. Otra consideración es que simulink nos limita con respecto al orden de los filtros dentro del banco de filtros. Si esta simulación fuera a través de Matlab únicamente, podríamos implementar filtros de mucho más orden para hacerlos más selectivos, y con ello ajustar mejor los parámetros de redondeo o truncamiento para obtener mejores resultados.

5.4. Conceptos

Además de todo el análisis y desarrollo que llevamos a cabo en este proyecto, debemos destacar otros aspectos del mismo. Hemos desarrollado habilidades que nos permitieron realizar a conciencia este proyecto, tales como el uso de Matlab con sus correspondientes herramientas (Simulink, FDATools, etc.). Estas últimas nos permitieron hacer un diseño y análisis propicio para cada uno de los filtros.

Se pusieron en práctica todos los conocimientos adquiridos durante el cursado de la materia, los cuales nos proporcionaron bases sólidas para que la realización de este proyecto se ejecute de manera eficiente. Esto, además, nos permitió tomar un problema propuesto y llevarlo a la práctica simulada pudiendo obtener los resultados más próximos a los reales. Además estos conocimientos fueron de gran ayuda para resolver los distintos problemas que se nos fueron planteando en el transcurso del desarrollo del banco de filtros digitales.

Este presente proyecto significó un desafío para nosotros, que nos obligó a forjar criterios de ingeniería para desarrollar soluciones a problemas reales.

Bibliografía

- [OS89] Alan V. Oppenheim and Ronald W. Schafer. *Discrete-Time Signal Processing*. Prentice Hall, Upper Saddle River, NJ, 1989.
- [OS99] Alan V. Oppenheim and Ronald W. Schafer. *Digital Signal Processing: Principles, Algorithms, and Applications*. Prentice Hall, Upper Saddle River, NJ, 1999.
- [PM96] John G. Proakis and Dimitris G. Manolakis. *Digital Signal Processing*. Prentice Hall, Upper Saddle River, NJ, 1996.
- [RG95] Lawrence R. Rabiner and Bernard Gold. *Theory and Application of Digital Signal Processing*. Prentice Hall, Upper Saddle River, NJ, 1st edition, 1995.

Siglas

f_a Frecuencia de Atenuación o Paso. 9, 10

f_c Frecuencia de Corte. 9, 10

f_p Frecuencia de Portadora. 6

f_s Frecuencia de Muestreo. 4, 6, 9, 10

AB Ancho de Banda. 8

AM Amplitud Modulada. 3, 6, 7

DTFM Doble Tonos Múltiples Frecuencias. 3, 4, 6

Índice de figuras

1.1. Diagrama de bloques general	4
2.1. Diagrama de bloques a simular	7
2.2. Composición del bloque decodificador	8
3.1. Distorsion de frecuencia introducida por la Transformación Bilineal	10
3.2. Respuesta en frecuencia de un filtro pasa-bajos	11
3.3. Enfoques para el diseño de un filtro digital	12
3.4. Respuesta en frecuencia del filtro analógico	14
3.5. Respuesta en frecuencia del filtro digital	16
3.6. Diagramas de Polos y Ceros (Plano de Laplace)	17
3.7. Diagramas de Polos y Ceros (Plano Z)	18
3.8. Respuesta al Impulso	19
3.9. Respuesta al Escalón	19
3.10. Respuesta en frecuencia de un filtro pasa-banda con frecuencias de parada	20
4.1. Codificador y Modulador	22
4.2. Transmisión	23
4.3. Transmisión	23
4.4. Decodificador	24
4.5. Respuesta en frecuencia del Banco de Filtros	27
4.6. Codificación, Modulación, Transmisión y Demodulación	28
4.7. Banco de filtros y Decodificador	29
4.8. Codificación del número 1	30
4.9. Modulación, Transmisión y Demodulación	31
4.10. Salida del Banco de Filtros	32
4.11. Valor Eficaz del Banco de Filtros	33
4.12. Decodificación de las Señales	34
4.13. Visor de la Simulación	35
4.14. Estabilidad del Canal	36
4.15. Modulación, Transmisión y Demodulación	37
4.16. Salida del Banco de Filtros	38

4.17. Valor Eficaz del Banco de Filtros	39
4.18. Visor de la Simulación	40
4.19. Respuesta en frecuencia del canal con falla	42
4.20. Analisis de Estabilidad del Canal con Fallas	43
4.21. Sistema Modificado sin Modulación	44
C.1. Análisis de estabilidad para el filtro centrado en 697 [Hz]	59
C.2. Análisis de estabilidad para el filtro centrado en 770 [Hz]	60
C.3. Análisis de estabilidad para el filtro centrado en 852 [Hz]	61
C.4. Análisis de estabilidad para el filtro centrado en 941 [Hz]	62
C.5. Análisis de estabilidad para el filtro centrado en 1209 [Hz]	63
C.6. Análisis de estabilidad para el filtro centrado en 1336 [Hz]	64
C.7. Análisis de estabilidad para el filtro centrado en 1477 [Hz]	65
D.1. Señales en el Banco de Filtro	69
D.2. Valor Eficaz de las salida del Banco de Filtros	70
D.3. Señales en el Banco de Filtro	71
D.4. Valor Eficaz de las salida del Banco de Filtros	72
D.5. Señales en el Banco de Filtro	73
D.6. Valor Eficaz de las salida del Banco de Filtros	74
D.7. Señales en el Banco de Filtro	75
D.8. Valor Eficaz de las salida del Banco de Filtros	76
D.9. Señales en el Banco de Filtro	77
D.10.Valor Eficaz de las salida del Banco de Filtros	78
D.11.Señales en el Banco de Filtro	79
D.12.Valor Eficaz de las salida del Banco de Filtros	80
D.13.Señales en el Banco de Filtro	81
D.14.Valor Eficaz de las salida del Banco de Filtros	82
D.15.Señales en el Banco de Filtro	83
D.16.Valor Eficaz de las salida del Banco de Filtros	84
D.17.Señales en el Banco de Filtro	85
D.18.Valor Eficaz de las salida del Banco de Filtros	86
D.19.Señales en el Banco de Filtro	87
D.20.Valor Eficaz de las salida del Banco de Filtros	88

Índice de cuadros

1.1. Combinación de tonos audibles (medido en [Hz])	5
---	---

Índice de bloques de código fuente

3.1.	Graficar respuesta en frecuencia de Filtro Analógico	13
3.2.	Graficar respuesta en frecuencia de Filtro Digital	15
4.1.	Banco Decodificador	26
4.2.	Algorítmico principal	27
4.3.	Diseño de Filtro Digital representativo del canal con fallas	41
B.1.	Graficar Polos y Ceros para Plano de Laplace y Z	55
B.2.	Graficar respuesta al Impulso y al Escalón del filtro Digital	56
B.3.	Análisis de Estabilidad por Filtro Pasa-Banda	57

Apéndice A

Cálculos algebráicos

A.1. Diseño de filtro digital $H(z)$

$$\begin{aligned}
 H(z) &= \frac{BW \left(\frac{2}{T} \frac{(1-z^{-1})}{(1+z^{-1})} \right)}{\left(\frac{2}{T} \frac{(1-z^{-1})}{(1+z^{-1})} \right)^2 + BW \left(\frac{2}{T} \frac{(1-z^{-1})}{(1+z^{-1})} \right) + \Omega_0^2} \\
 H(z) &= \frac{BW \left(\frac{2}{T} \frac{(1-z^{-1})}{(1+z^{-1})} \right)}{\frac{4}{T^2} \frac{(1-z^{-1})^2}{(1+z^{-1})^2} + BW \left(\frac{2}{T} \frac{(1-z^{-1})}{(1+z^{-1})} \right) + \Omega_0^2} \frac{(1+z^{-1})^2}{(1+z^{-1})^2} \\
 H(z) &= \frac{BW \frac{2}{T} (1-z^{-1})(1+z^{-1})}{\frac{4}{T^2} (1-z^{-1})^2 + BW \frac{2}{T} (1-z^{-1})(1+z^{-1}) + \Omega_0^2 (1+z^{-1})^2} \\
 H(z) &= \frac{2f_s BW (1-z^{-1})(1+z^{-1})}{4f_s^2 (1-z^{-1})^2 + 2f_s BW (1-z^{-1})(1+z^{-1}) + \Omega_0^2 (1+z^{-1})^2} \\
 H(z) &= \frac{2f_s BW (1-z^{-2})}{4f_s^2 (1-2z^{-1}+z^{-2}) + 2f_s BW (1-z^{-2}) + \Omega_0^2 (1+2z^{-1}+z^{-2})} \\
 H(z) &= \frac{2f_s BW - 2f_s BW z^{-2}}{(4f_s^2 + 2f_s BW + \Omega_0^2) + (-8f_s^2 + 2\Omega_0^2) z^{-1} + (4f_s^2 - 2f_s BW + \Omega_0^2) z^{-2}}
 \end{aligned} \tag{A.1}$$

Donde

$$\begin{aligned}
 \alpha &= 4f_s^2 + 2f_s BW + \Omega_0^2 \\
 \beta &= 2\Omega_0^2 - 8f_s^2 \\
 \gamma &= 4f_s^2 - 2f_s BW + \Omega_0^2 \\
 \delta &= 2f_s BW
 \end{aligned}$$

Luego

$$\begin{aligned}
 H(z) &= \frac{\delta - \delta z^{-2}}{\alpha + \beta z^{-1} + \gamma z^{-2}} \\
 H(z) &= \frac{\frac{\delta}{\alpha} - \frac{\delta}{\alpha} z^{-2}}{1 + \frac{\beta}{\alpha} z^{-1} + \frac{\gamma}{\alpha} z^{-2}} \\
 H(z) &= \frac{8,4953 \times 10^{-3} - 8,4953 \times 10^{-3} z^{-2}}{1 - 1,9732 z^{-1} + 0,9830 z^{-2}}
 \end{aligned}$$

Apéndice B

Scripts de Matlab

B.1. Polos y Ceros

```

1 clc
2 close all
3 clear
4
5 num_analog = [0 1 0];
6 den_analog = [1.32e-3 1 25.22e3];
7
8 num_digital = [8.4953e-3 0 -8.4954e-3];
9 den_digital = [1 -1.9732 0.9830];
10
11 % Filtro analógico
12 sys_analog = tf(num_analog, den_analog)
13 poles_analog = pole(sys_analog)
14 zeros_analog = zero(sys_analog)
15
16 % Filtro digital
17 % El "1" indica un periodo de muestreo de 1
18 sys_digital = tf(num_digital, den_digital, 1)
19 poles_digital = pole(sys_digital)
20 zeros_digital = zero(sys_digital)
21
22 % Gráfica de polos y ceros en ambos planos
23 figure;
24
25 % Plano de Laplace (plano S)
26 subplot(1, 2, 1);
27 pzplot(sys_analog);
28 title('Plano S - Polos y Ceros (Filtro Analógico)');
29 grid on;
30
31 % Plano de Digital (plano Z)
32 subplot(1, 2, 2);
33 pzmap(sys_digital);
34 title('Plano Z - Polos y Ceros (Filtro Digital)');
35 grid on;
36
37 sgttitle('Análisis de Polos y Ceros');
```

Código fuente B.1: Graficar Polos y Ceros para Plano de Laplace y Z

B.2. Respuesta al Impulso y al Escalón

```

1 clc
2 close all
3 clear
4
5 num_digital = [8.4953e-3 0 -8.4954e-3];
6 den_digital = [1 -1.9732 0.9830];
7
8 % Crear el sistema discreto
9 sys_digital = tf(num_digital, den_digital, 1); % Periodo de muestreo de 1
10
11 % Obtener la respuesta al impulso y al escalón
12 impulse_response = impz(num_digital, den_digital);
13 step_response = step(sys_digital);
14
15 % Crear el tiempo discreto para los gráficos
16 n_impulse = 0:length(impulse_response) - 1;
17 n_step = 0:length(step_response) - 1;
18
19 % Gráfico de respuesta al impulso y al escalón en 2 filas
20 figure;
21 subplot(2, 1, 1);
22 stem(n_impulse, impulse_response);
23 title('Respuesta al Impulso');
24 xlabel('n (Muestras)');
25 ylabel('Amplitud');
26 grid on;
27
28 subplot(2, 1, 2);
29 stem(n_step, step_response);
30 title('Respuesta al Escalón');
31 xlabel('n (Muestras)');
32 ylabel('Amplitud');
33 grid on;
34
35 sgtitle('Respuestas al Impulso y al Escalón de un Filtro Digital');

```

Código fuente B.2: Graficar respuesta al Impulso y al Escalón del filtro Digital

B.3. Estabilidad de Filtro Pasa-Banda

```

1 function analisis_filtro(a, b, Fs, banda, muestras)
2     % a: numerador del filtro digital
3     % b: denominador del filtro digital
4     % Fs: frecuencia de muestreo
5     % banda: banda de gráfico
6     % muestras: cantidad de muestras
7
8     % Respuesta en frecuencia
9     [h, w] = freqz(a, b, 10000, Fs);
10
11    % Diagrama de polos y ceros
12    figure;
13    subplot(3, 2, 1);
14    pzmap(tf(a, b, 1));
15    title('Diagrama de Polos y Ceros');
16
17    % Respuesta en frecuencia
18    subplot(3, 2, 2);
19    plot(w, abs(h));
20    title('Respuesta en Frecuencia');
21    xlabel('Frecuencia (Hz)');
22    ylabel('Amplitud');
23    xlim([banda(1), banda(2)])
24    ylim('auto')
25    grid on;
26
27    % Respuesta al impulso
28    subplot(3, 2, [3 4]);
29    impulse_response = impz(a, b, muestras);
30    stem(impulse_response);
31    title('Respuesta al Impulso');
32    xlabel('Muestras');
33    ylabel('Amplitud');
34    grid on;
35
36    % Respuesta al escalón
37    subplot(3, 2, [5 6]);
38    step_response = stepz(a, b, muestras);
39    stem(step_response);
40    title('Respuesta al Escalón');
41    xlabel('Muestras');
42    ylabel('Amplitud');
43    grid on;
44
45    sgttitle('Análisis del Filtro');
46 end

```

Código fuente B.3: Análisis de Estabilidad por Filtro Pasa-Banda

Apéndice C

Análisis de Estabilidad

C.1. Filtro pasa-banda centrado en 697 [Hz]

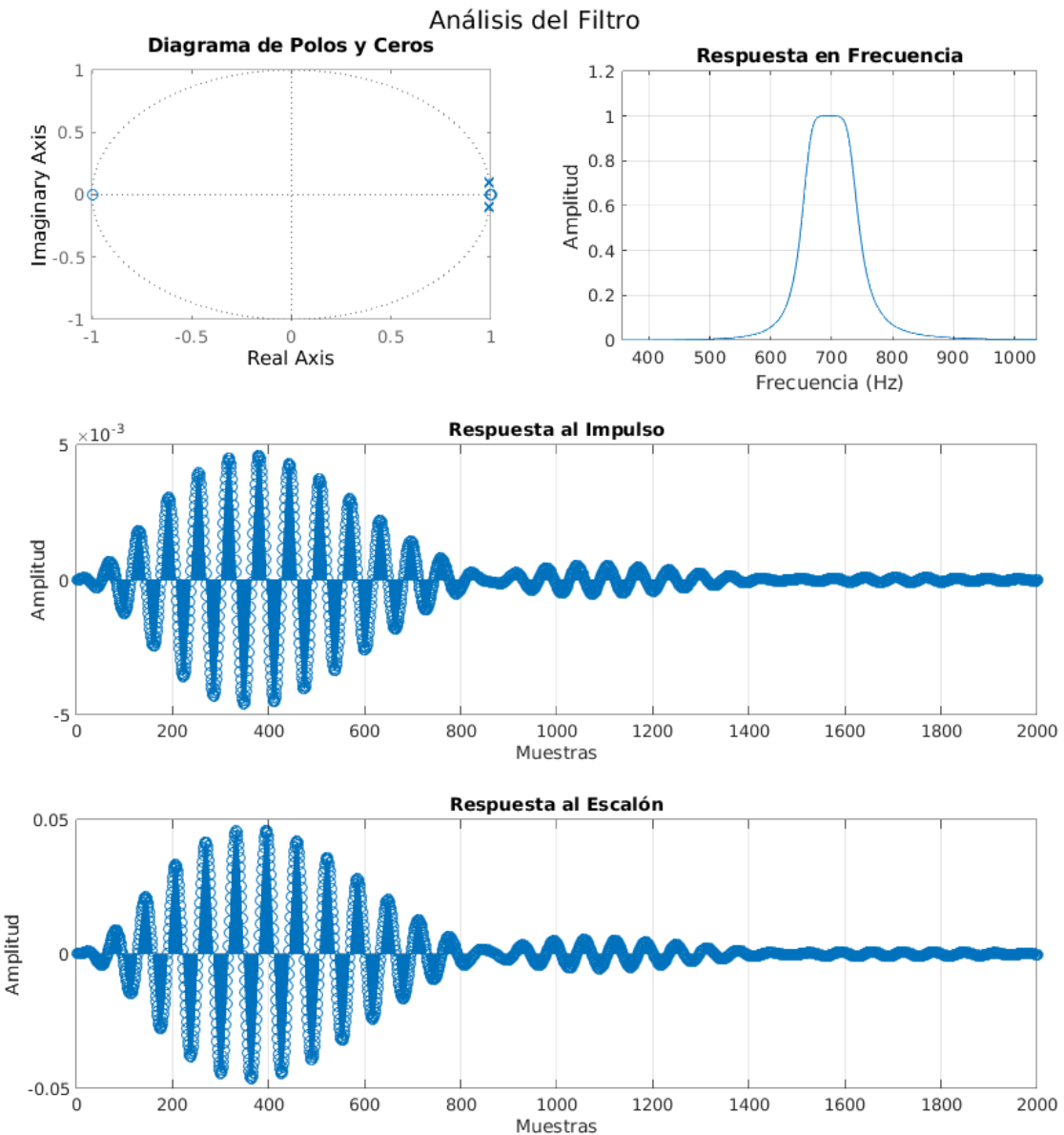


Figura C.1: Análisis de estabilidad para el filtro centrado en 697 [Hz]

C.2. Filtro pasa-banda centrado en 770 [Hz]

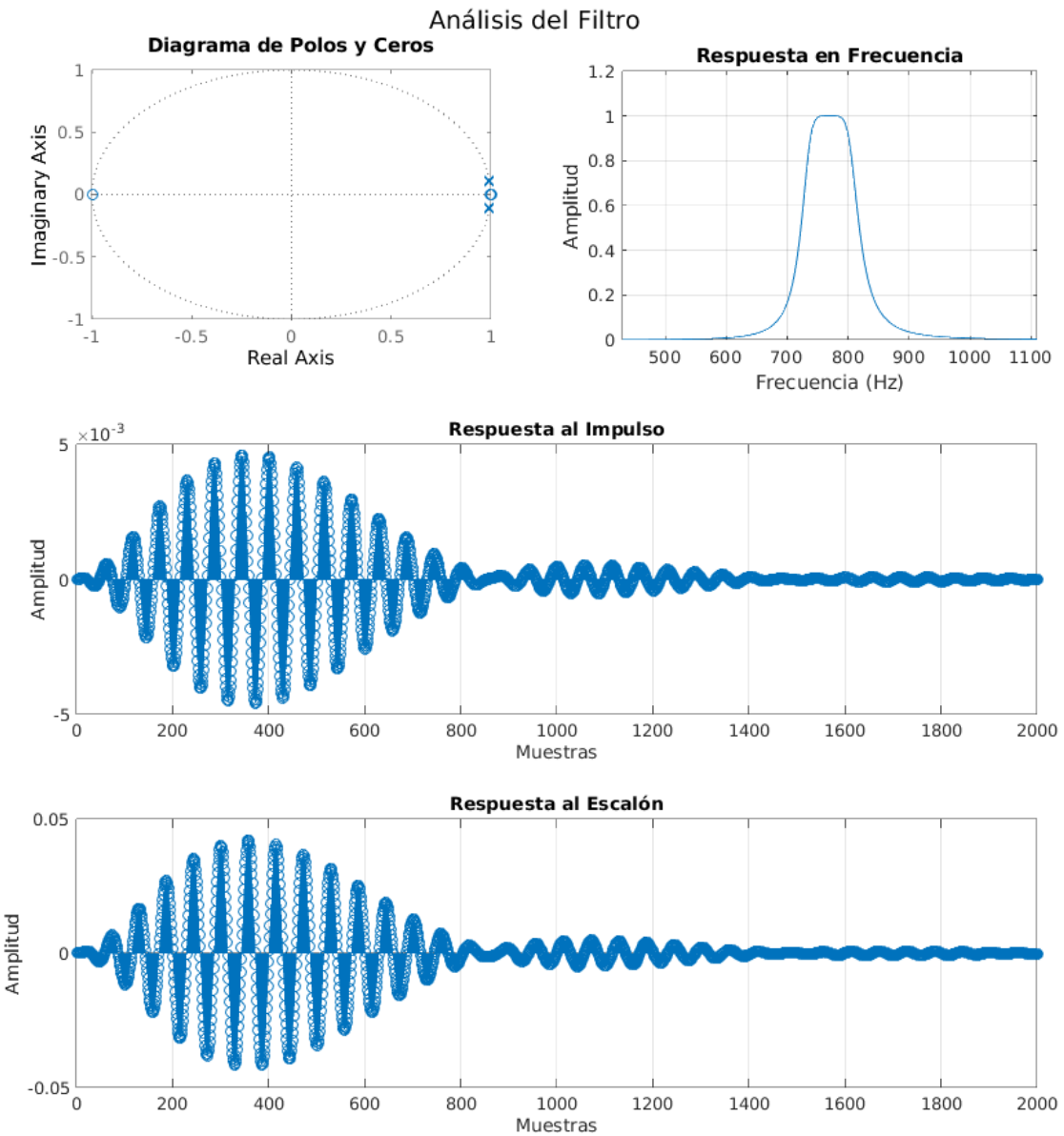


Figura C.2: Análisis de estabilidad para el filtro centrado en 770 [Hz]

C.3. Filtro pasa-banda centrado en 852 [Hz]

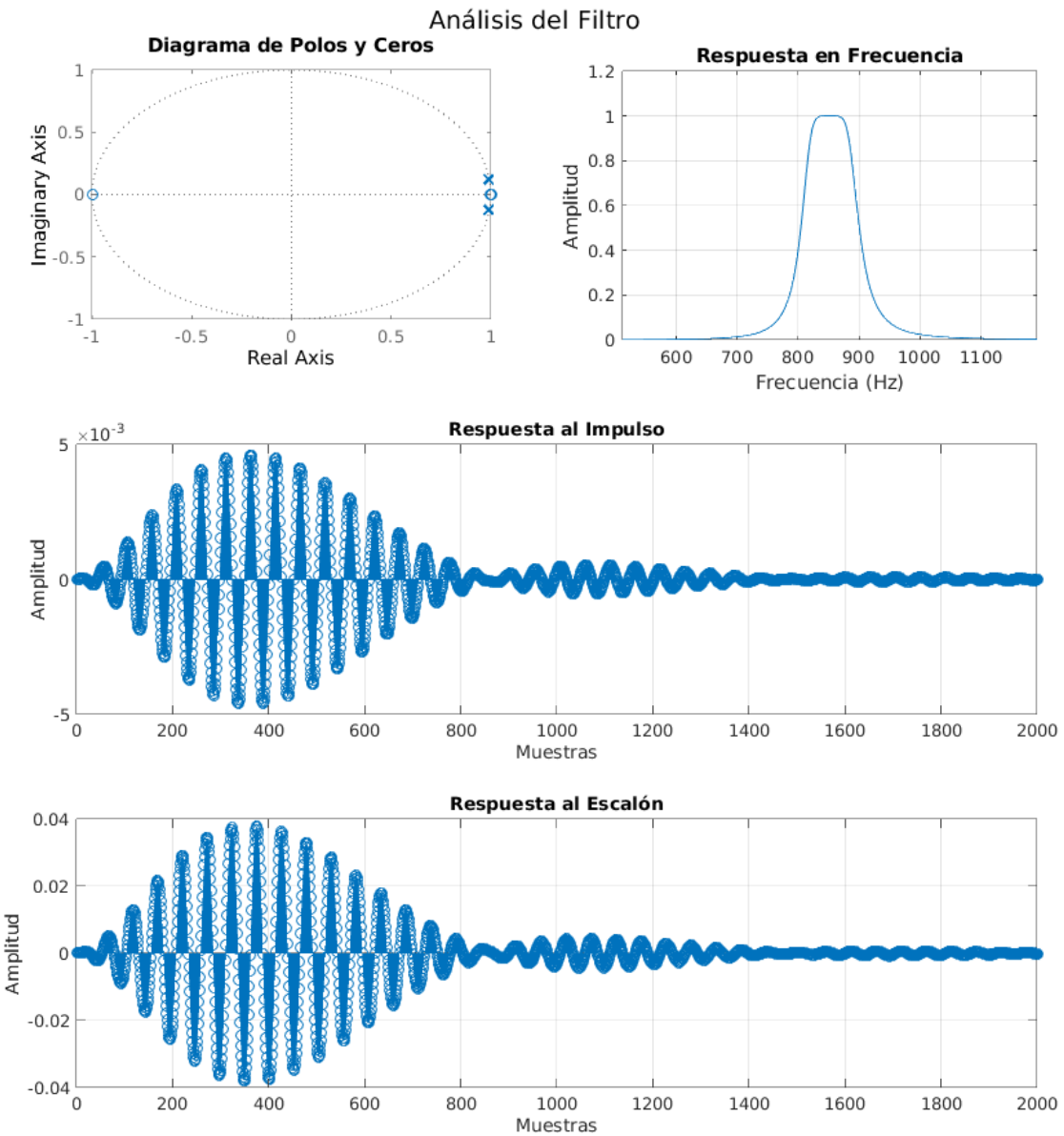


Figura C.3: Análisis de estabilidad para el filtro centrado en 852 [Hz]

C.4. Filtro pasa-banda centrado en 941 [Hz]

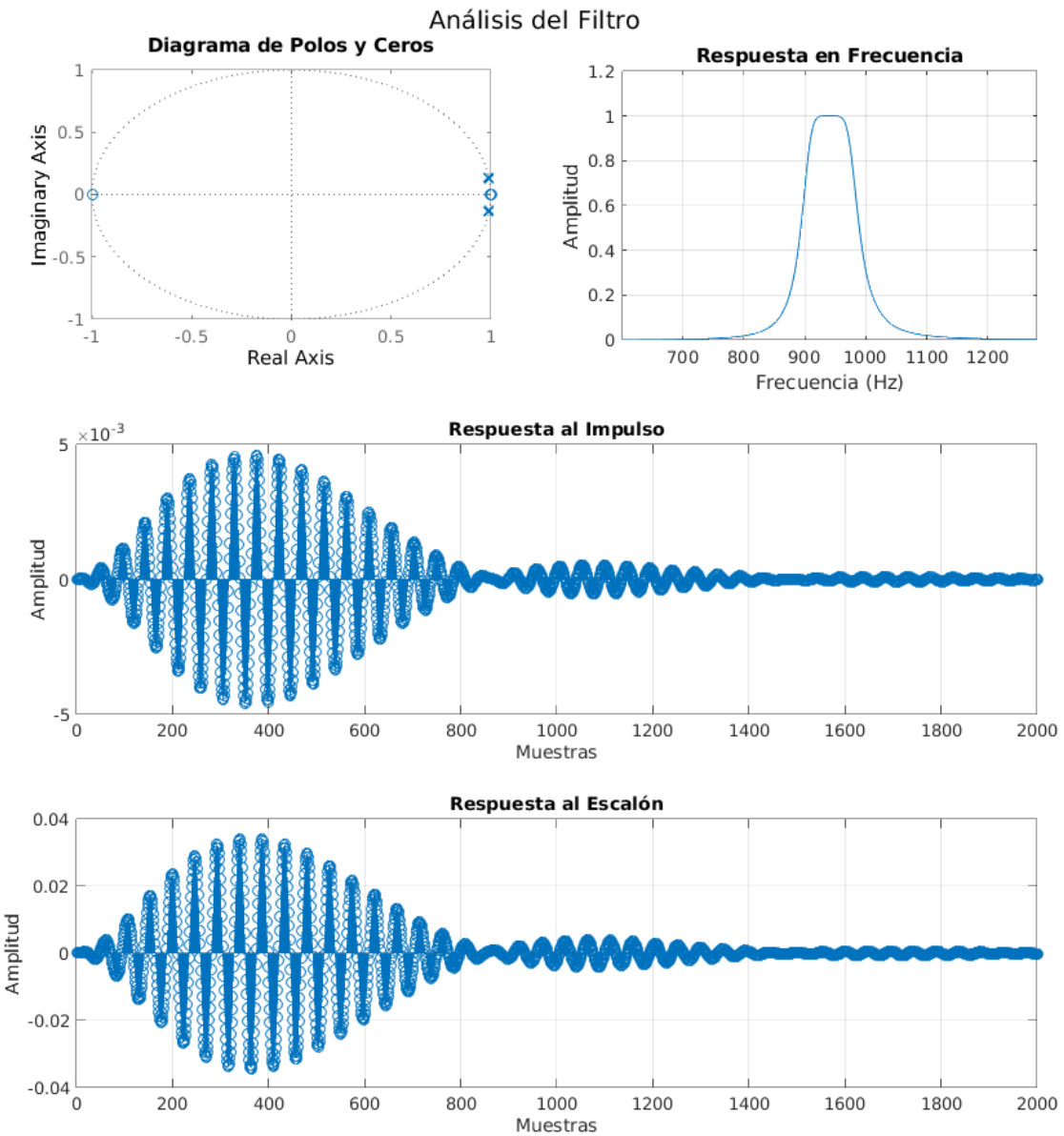


Figura C.4: Análisis de estabilidad para el filtro centrado en 941 [Hz]

C.5. Filtro pasa-banda centrado en 1209 [Hz]

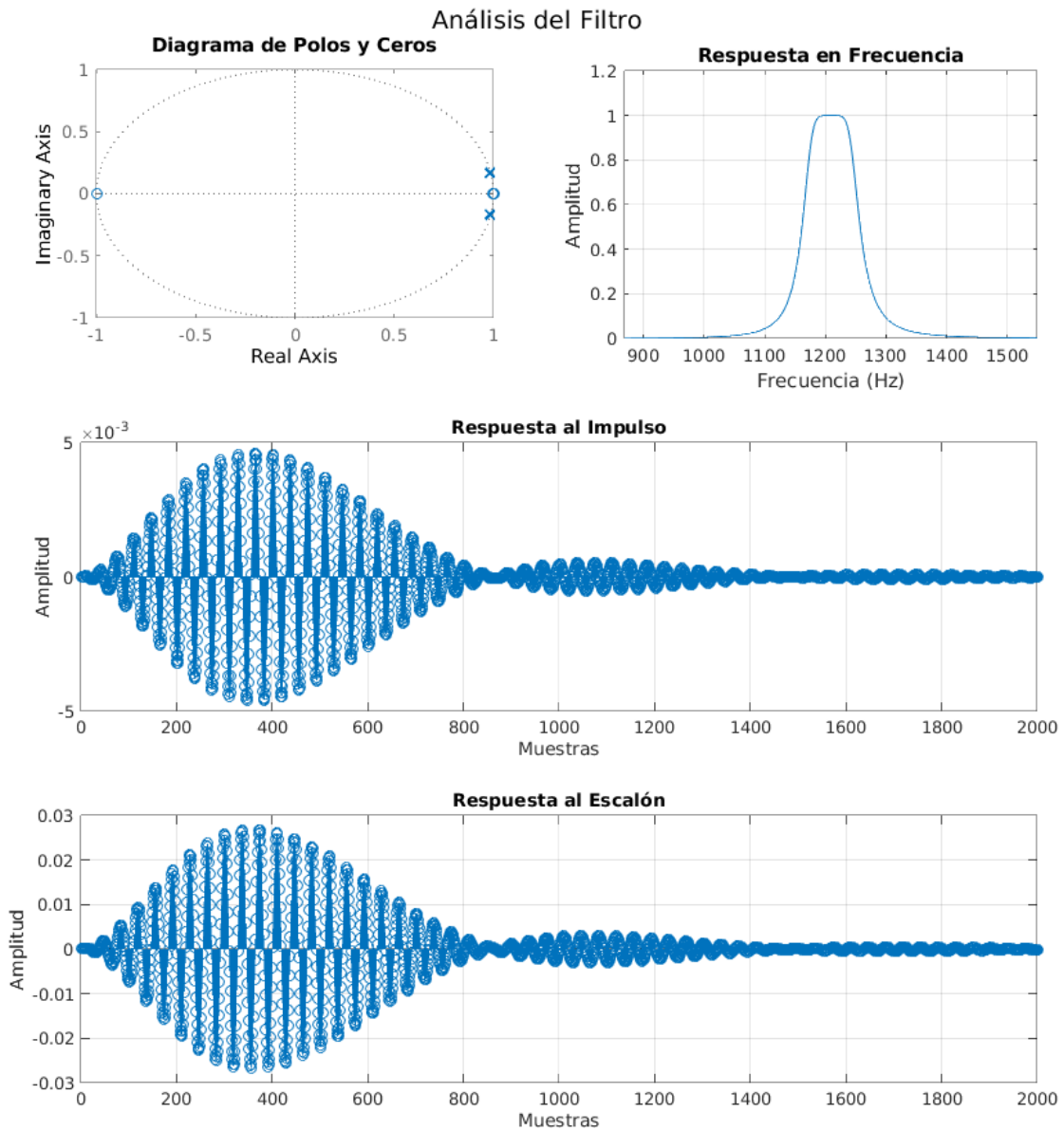


Figura C.5: Análisis de estabilidad para el filtro centrado en 1209 [Hz]

C.6. Filtro pasa-banda centrado en 1336 [Hz]

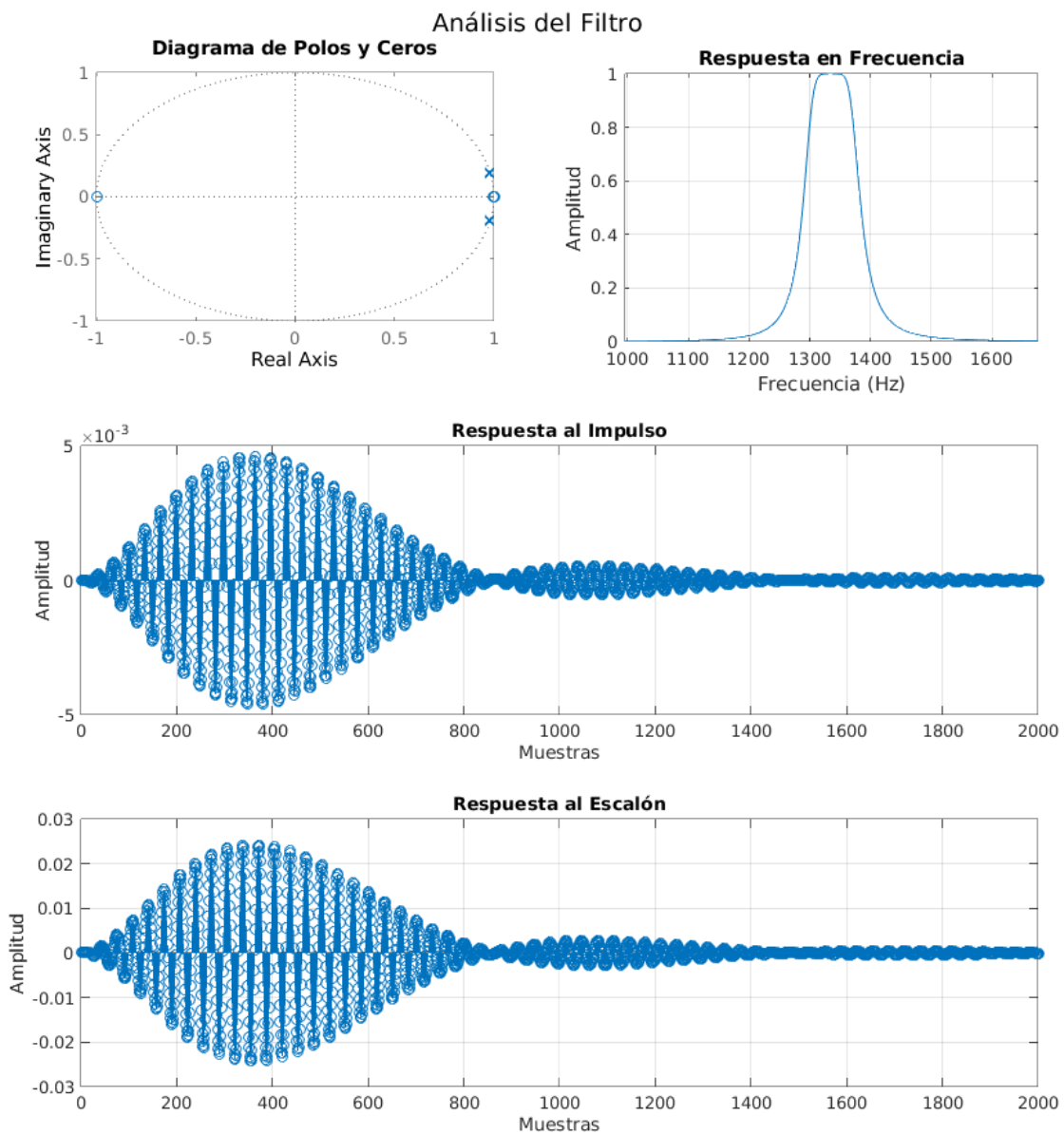


Figura C.6: Análisis de estabilidad para el filtro centrado en 1336 [Hz]

C.7. Filtro pasa-banda centrado en 1477 [Hz]

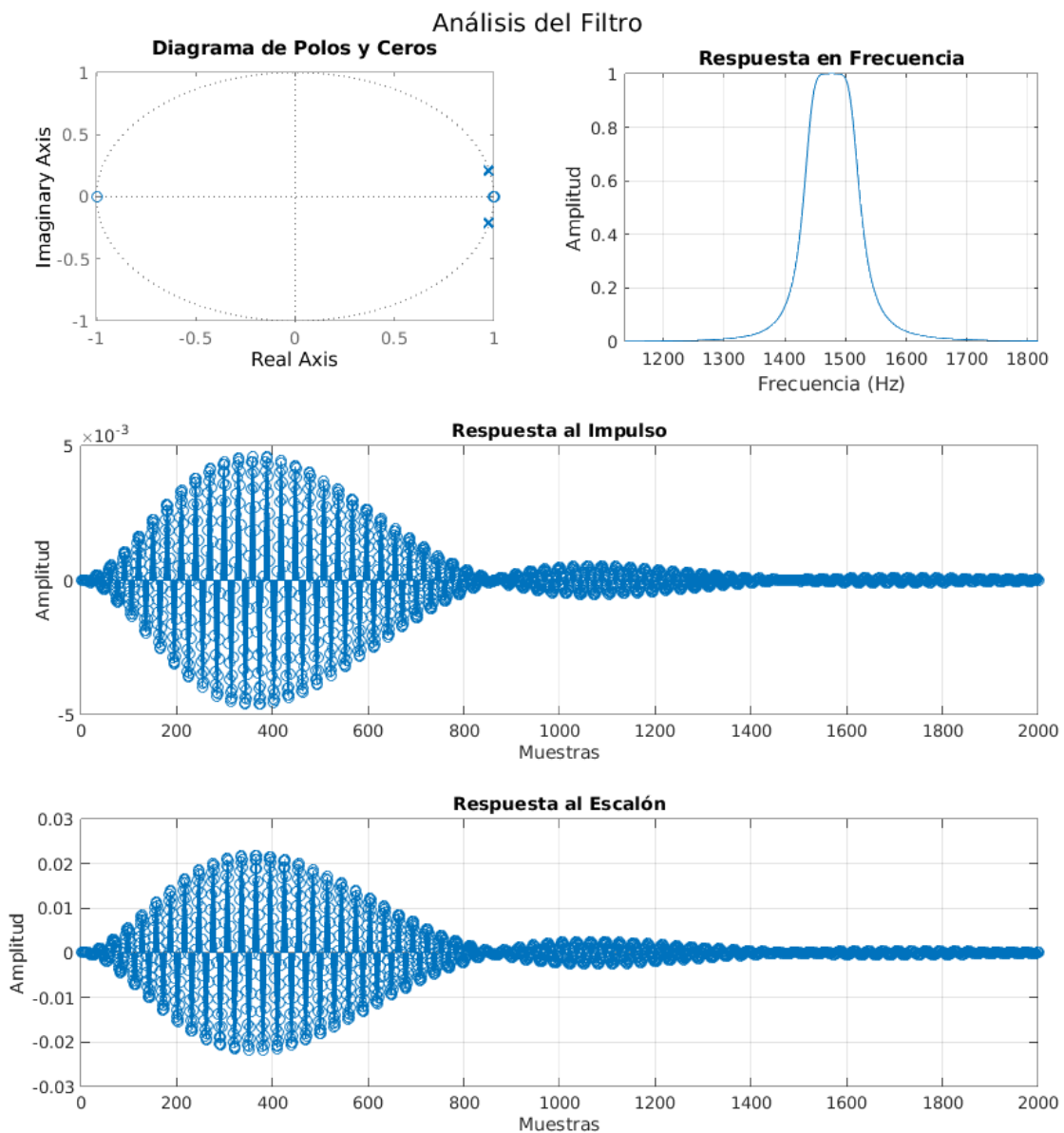


Figura C.7: Análisis de estabilidad para el filtro centrado en 1477 [Hz]

C.8. Polos y Ceros

Filtro centrado en 697 [Hz]

Polos

$0,9916 + 0,1039i$
 $0,9916 - 0,1039i$
 $0,9928 + 0,0941i$
 $0,9928 - 0,0941i$
 $0,9894 + 0,0985i$
 $0,9894 - 0,0985i$

Ceros

$-1,0000 + 0,0000i$
 $-1,0000 - 0,0000i$
 $-1,0000 + 0,0000i$
 $1,0000 + 0,0000i$
 $1,0000 + 0,0000i$
 $1,0000 - 0,0000i$

Filtro centrado en 770 [Hz]

Polos

$0,9905 + 0,1142i$
 $0,9905 - 0,1142i$
 $0,9918 + 0,1045i$
 $0,9918 - 0,1045i$
 $0,9883 + 0,1088i$
 $0,9883 - 0,1088i$

Ceros

$-1,0000 + 0,0000i$
 $-1,0000 - 0,0000i$
 $-1,0000 + 0,0000i$
 $1,0000 + 0,0000i$
 $1,0000 + 0,0000i$
 $1,0000 - 0,0000i$

Filtro centrado en 852 [Hz]

Polos

$0,9891 + 0,1258i$
 $0,9891 - 0,1258i$
 $0,9905 + 0,1161i$
 $0,9905 - 0,1161i$
 $0,9870 + 0,1204i$
 $0,9870 - 0,1204i$

Ceros

$-1,0000 + 0,0000i$
 $-1,0000 - 0,0000i$
 $-1,0000 + 0,0000i$
 $1,0000 + 0,0000i$
 $1,0000 + 0,0000i$
 $1,0000 - 0,0000i$

Filtro centrado en 941 [Hz]**Polos**

$0,9874 + 0,1384i$
 $0,9874 - 0,1384i$
 $0,9889 + 0,1287i$
 $0,9889 - 0,1287i$
 $0,9854 + 0,1330i$
 $0,9854 - 0,1330i$

Ceros

$-1,0000 + 0,0000i$
 $-1,0000 - 0,0000i$
 $-1,0000 + 0,0000i$
 $1,0000 + 0,0000i$
 $1,0000 + 0,0000i$
 $1,0000 - 0,0000i$

Filtro centrado en 1209 [Hz]**Polos**

$0,9814 + 0,1761i$
 $0,9814 - 0,1761i$
 $0,9832 + 0,1664i$
 $0,9832 - 0,1664i$
 $0,9796 + 0,1706i$
 $0,9796 - 0,1706i$

Ceros

$-1,0000 + 0,0000i$
 $-1,0000 + 0,0000i$
 $-1,0000 - 0,0000i$
 $1,0000 + 0,0000i$
 $1,0000 - 0,0000i$
 $1,0000 + 0,0000i$

Filtro centrado en 1336 [Hz]**Polos**

$0,9780 + 0,1939i$
 $0,9780 - 0,1939i$
 $0,9801 + 0,1842i$
 $0,9801 - 0,1842i$
 $0,9763 + 0,1884i$
 $0,9763 - 0,1884i$

Ceros

$-1,0000 + 0,0000i$
 $-1,0000 - 0,0000i$
 $-1,0000 + 0,0000i$
 $1,0000 + 0,0000i$
 $1,0000 + 0,0000i$
 $1,0000 - 0,0000i$

Filtro centrado en 1477 [Hz]**Polos**

$0,9740 + 0,2135i$
 $0,9740 - 0,2135i$
 $0,9761 + 0,2039i$
 $0,9761 - 0,2039i$
 $0,9723 + 0,2080i$
 $0,9723 - 0,2080i$

Ceros

$-1,0000 + 0,0000i$
 $-1,0000 - 0,0000i$
 $-1,0000 + 0,0000i$
 $1,0000 + 0,0000i$
 $1,0000 + 0,0000i$
 $1,0000 - 0,0000i$

Apéndice D

Señales a través del canal con fallas

En este apéndice mostramos las salidas del banco de filtro y de los posteriores bloques RMS. Analizamos las señales que codifican a todos los números del teclado; con estas codificaciones abarcamos todas las áreas del espectro DTFM. Recordar que estas simulaciones son para el canal amplificado en 3.

D.1. Número 1: 697 [Hz] + 1209 [Hz]

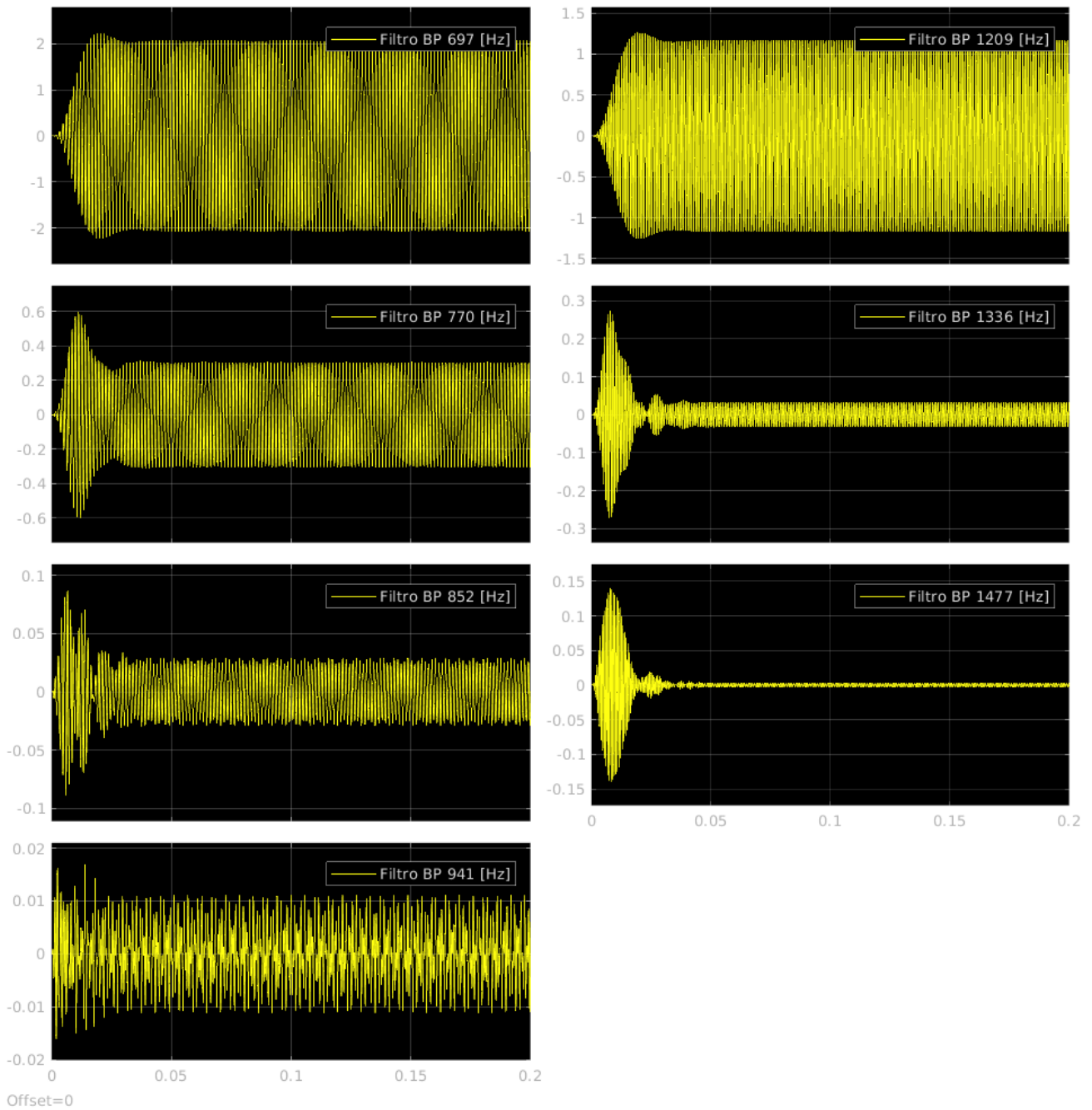


Figura D.1: Señales en el Banco de Filtro

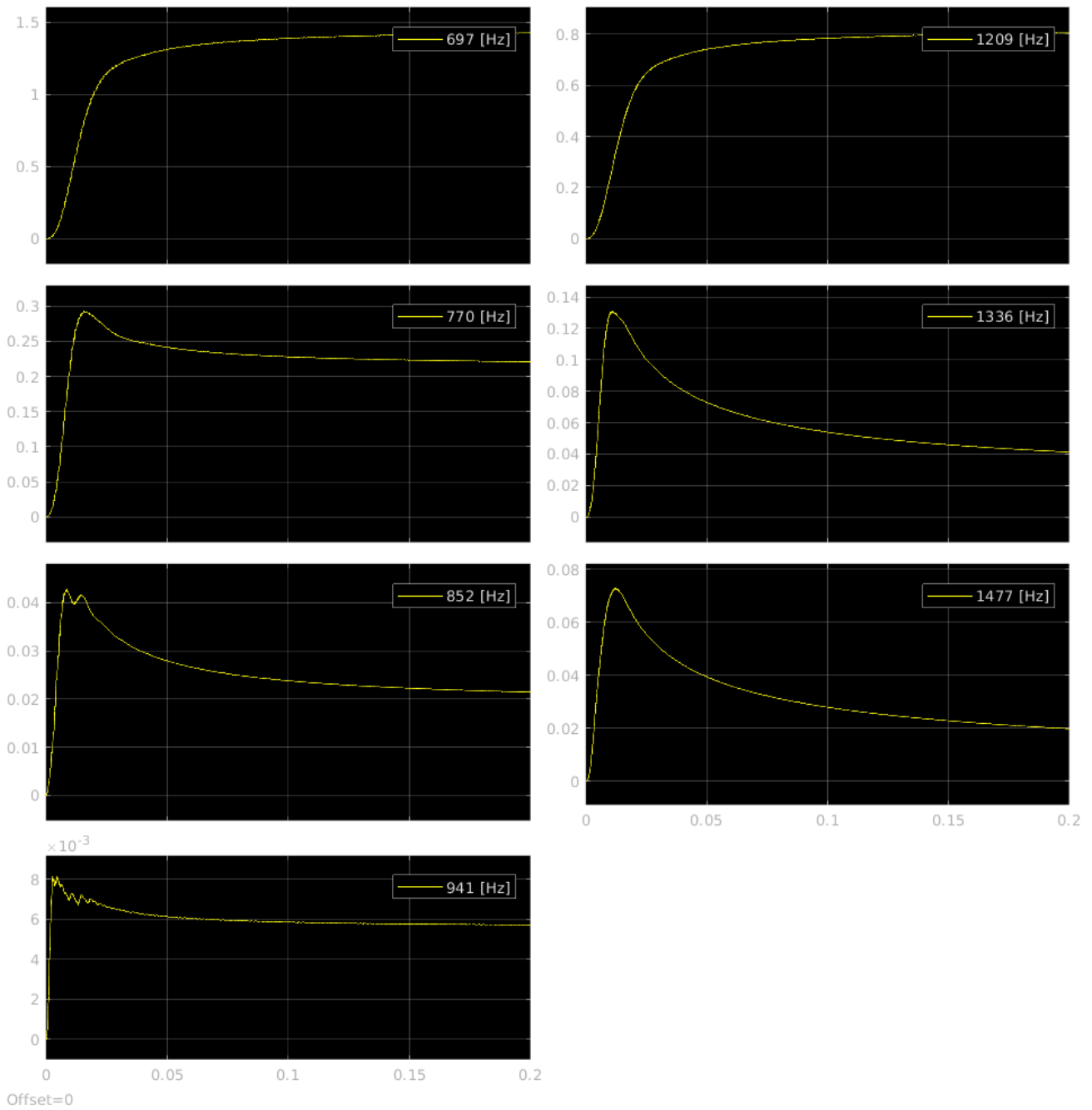


Figura D.2: Valor Eficaz de las salida del Banco de Filtros

Debido a que el valor eficaz de la señal del filtro de 1209 [Hz] es menor a 1, esta se toma como 0 para la compuerta lógica. En consecuencia, no se reconoce la activación de la Tecla 1.

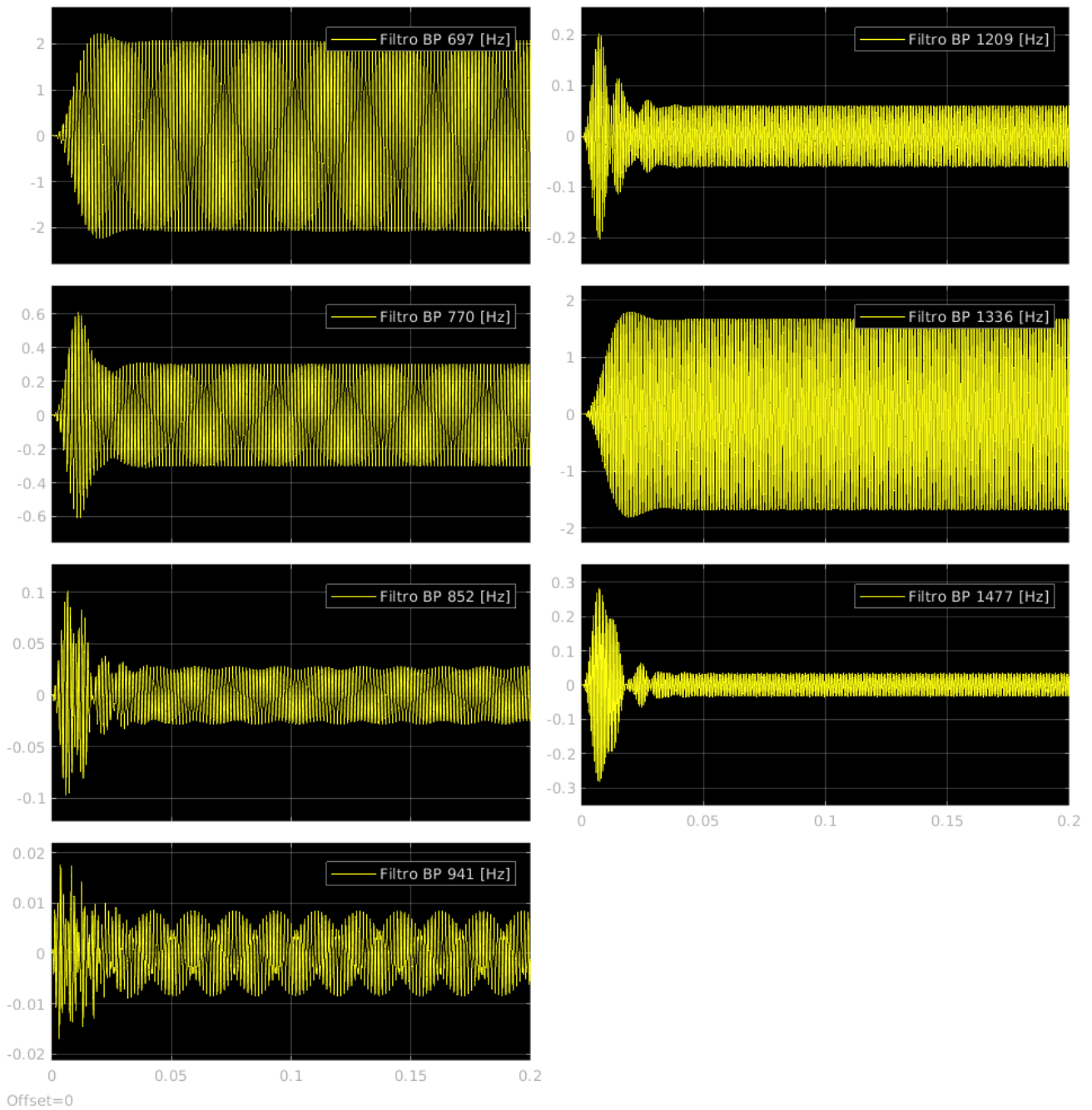
D.2. Número 2: 697 [Hz] + 1336 [Hz]

Figura D.3: Señales en el Banco de Filtro

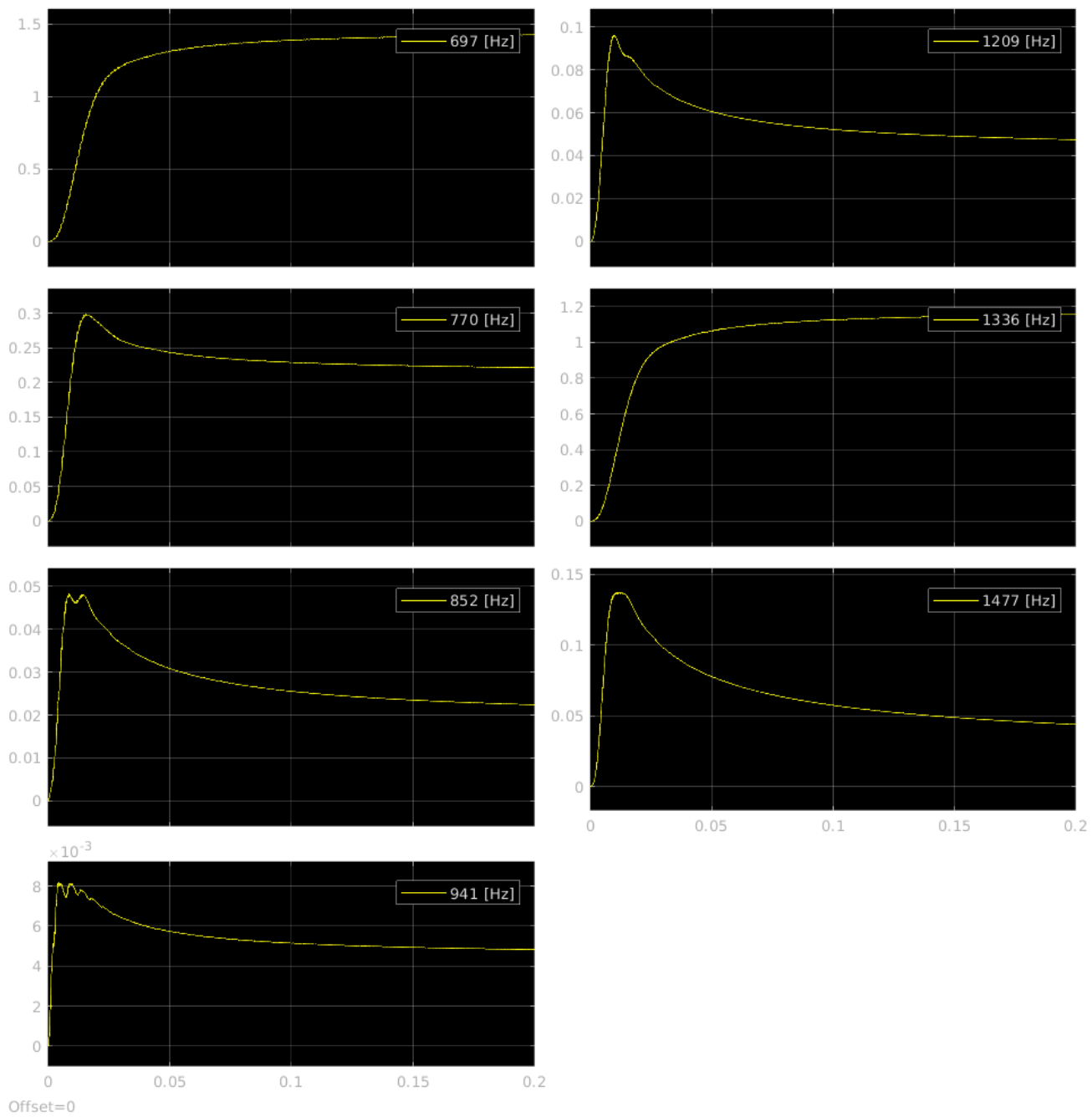


Figura D.4: Valor Eficaz de las salida del Banco de Filtros

Ya que ambos valores eficaces de las señales que codifican la Tecla 2 son mayores a 1, se reconoce la activación de la misma.

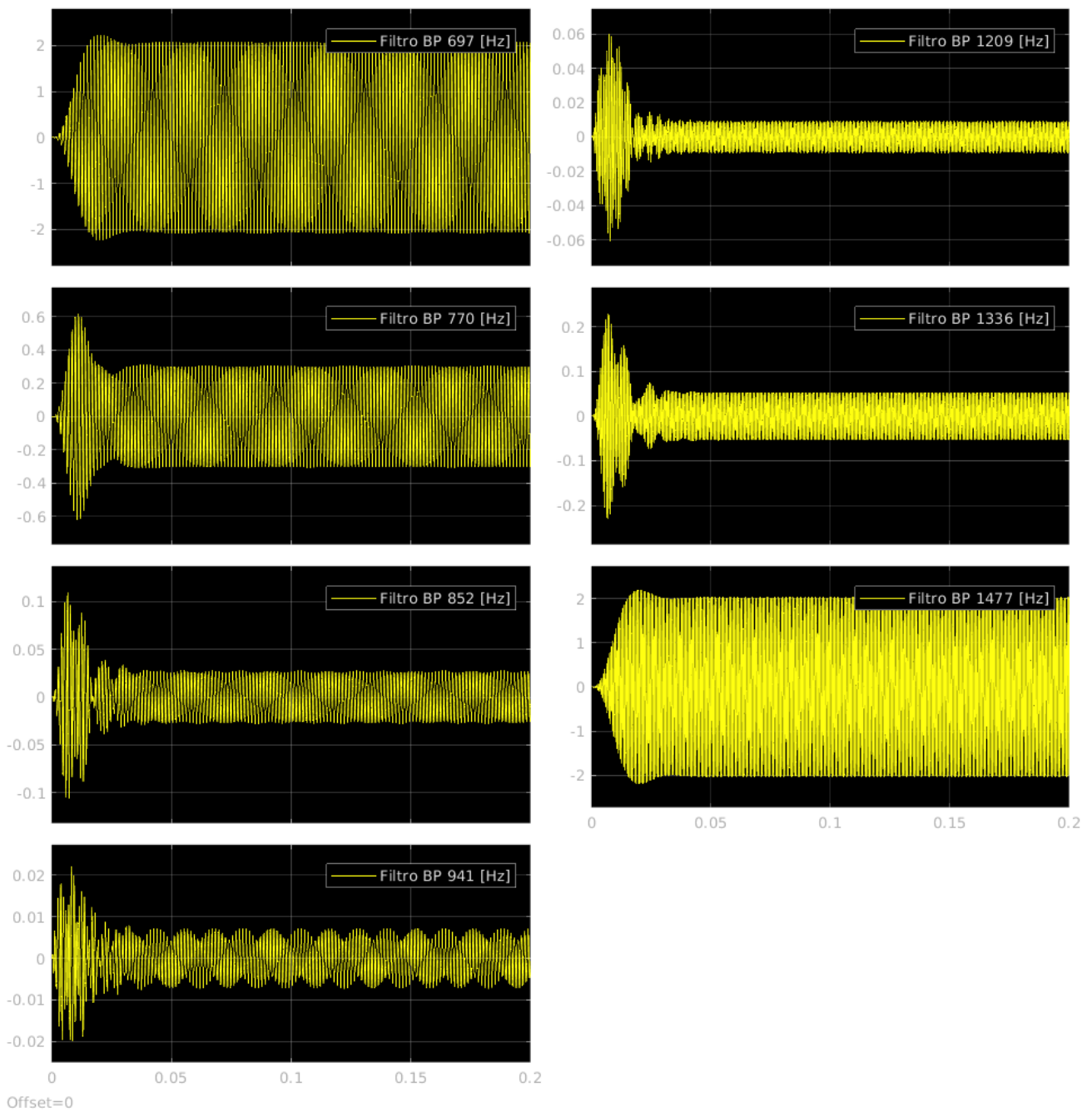
D.3. Número 3: 697 [Hz] + 1477 [Hz]

Figura D.5: Señales en el Banco de Filtro

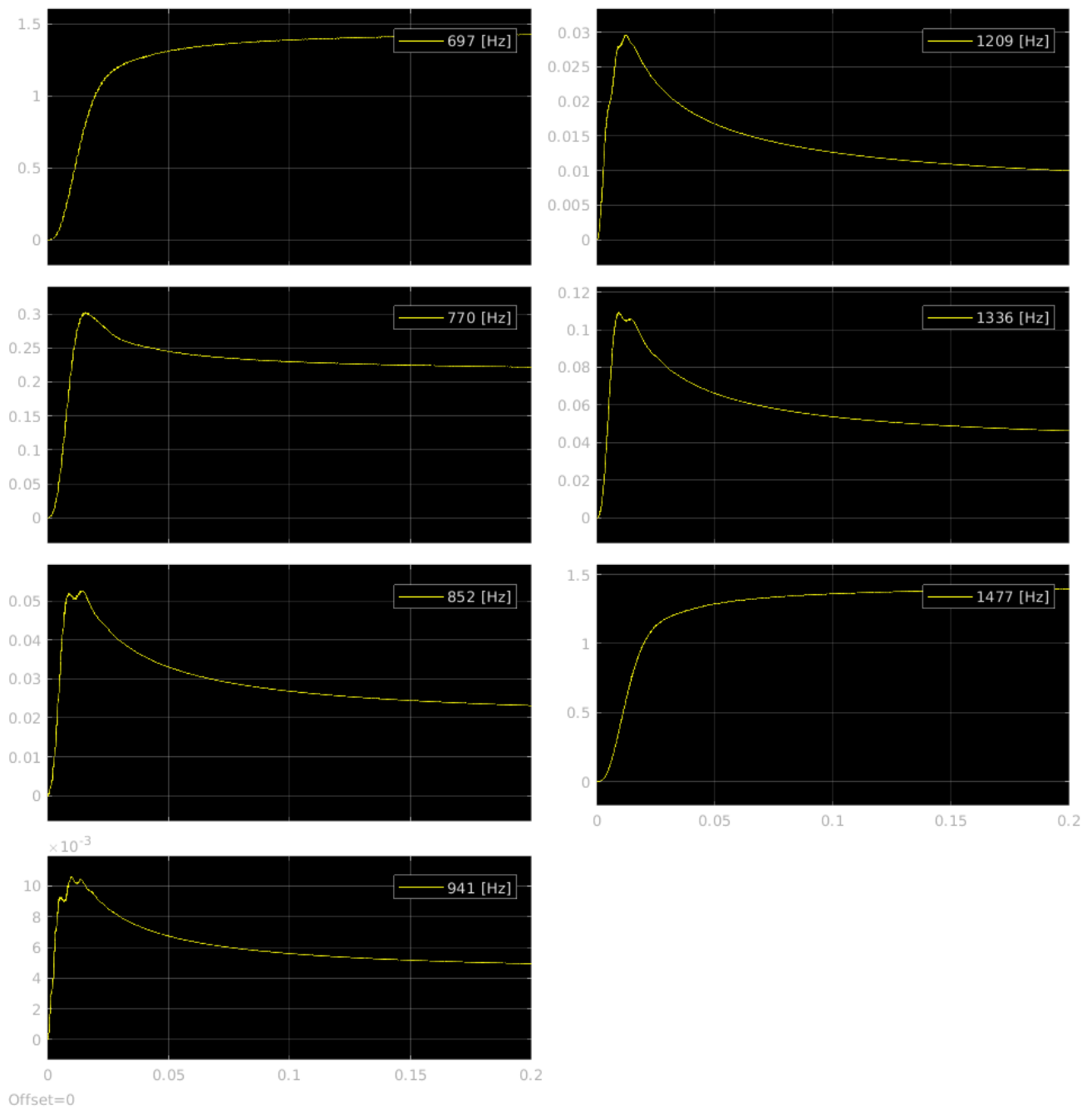


Figura D.6: Valor Eficaz de las salida del Banco de Filtros

Ya que ambos valores eficaces de las señales que codifican la Tecla 3 son mayores a 1, se reconoce la activación de la misma.

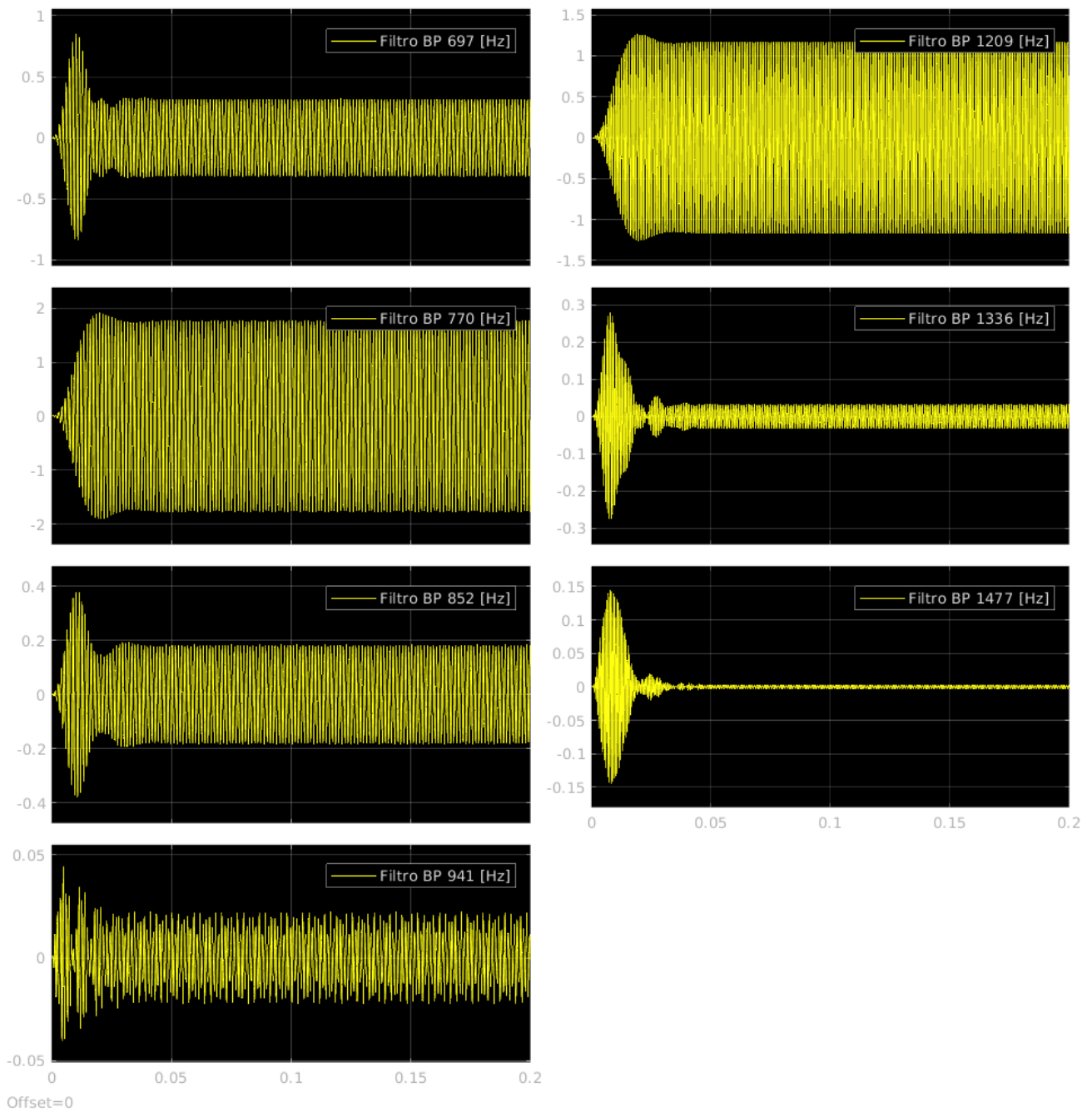
D.4. Número 4: 770 [Hz] + 1336 [Hz]

Figura D.7: Señales en el Banco de Filtro

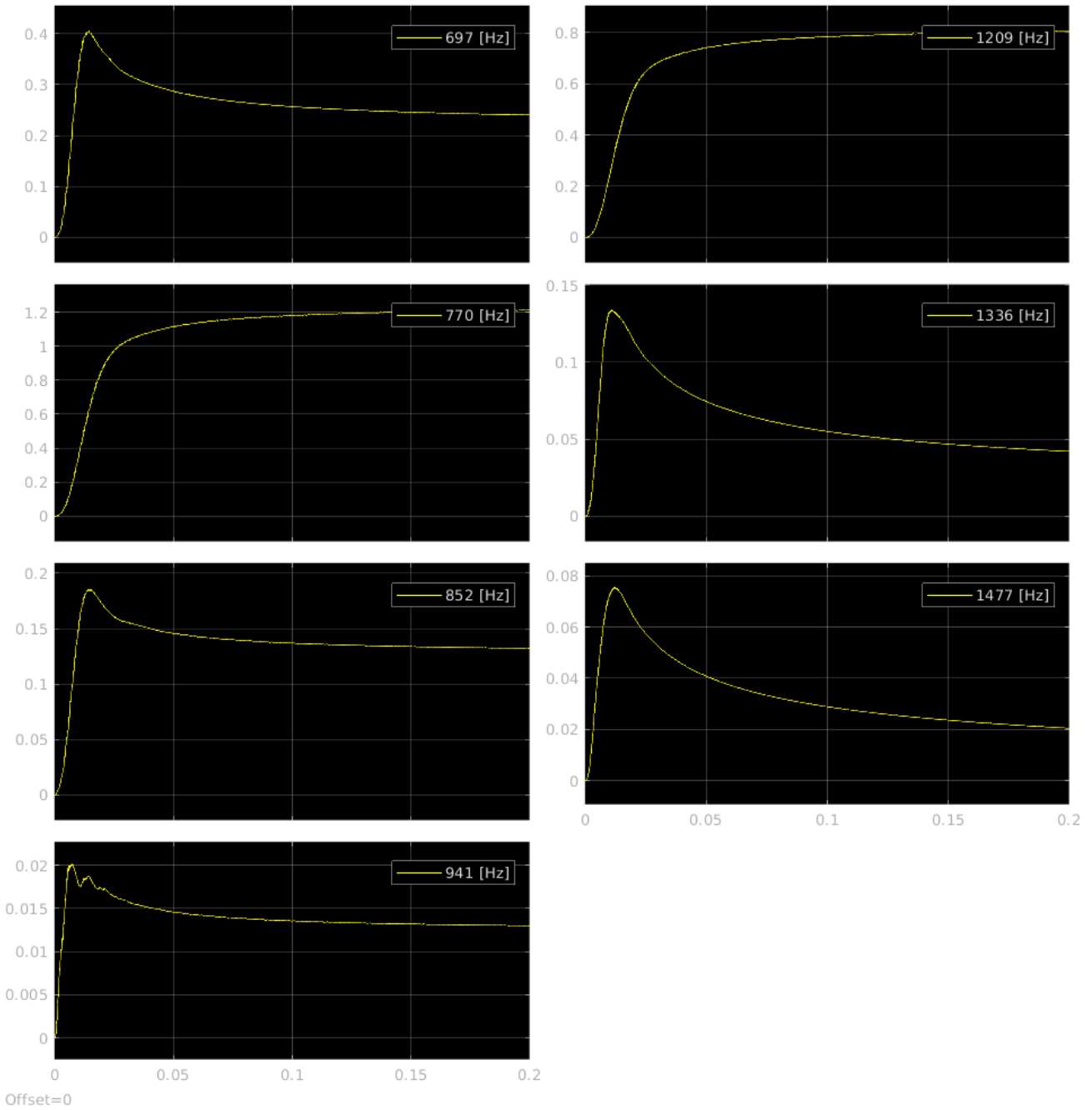


Figura D.8: Valor Eficaz de las salida del Banco de Filtros

Debido a que el valor eficaz de la señal del filtro de 1209 [Hz] es menor a 1, esta se toma como 0 para la compuerta lógica. En consecuencia, no se reconoce la activación de la Tecla 4.

D.5. Número 5: 770 [Hz] + 1336 [Hz]

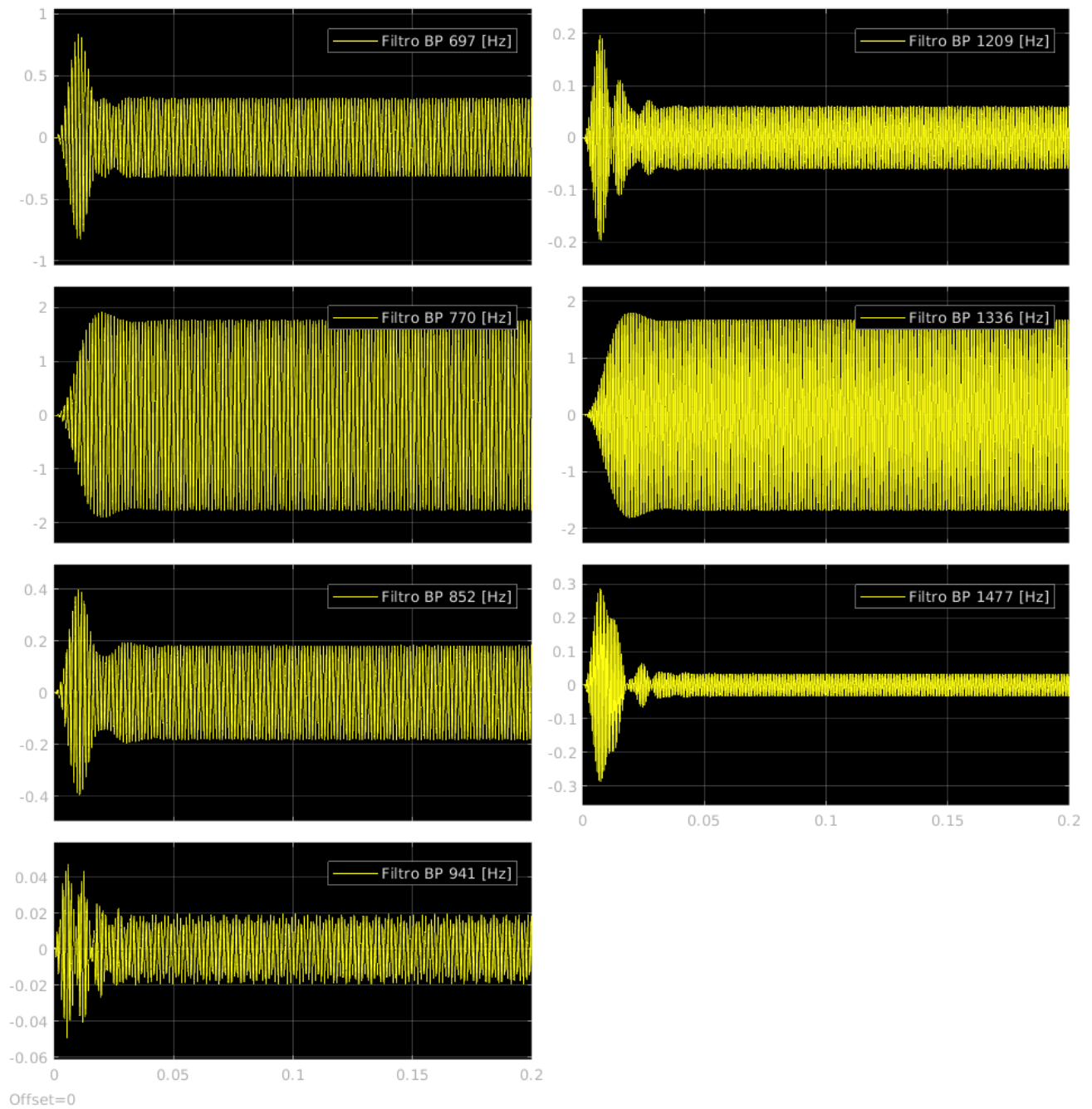


Figura D.9: Señales en el Banco de Filtro

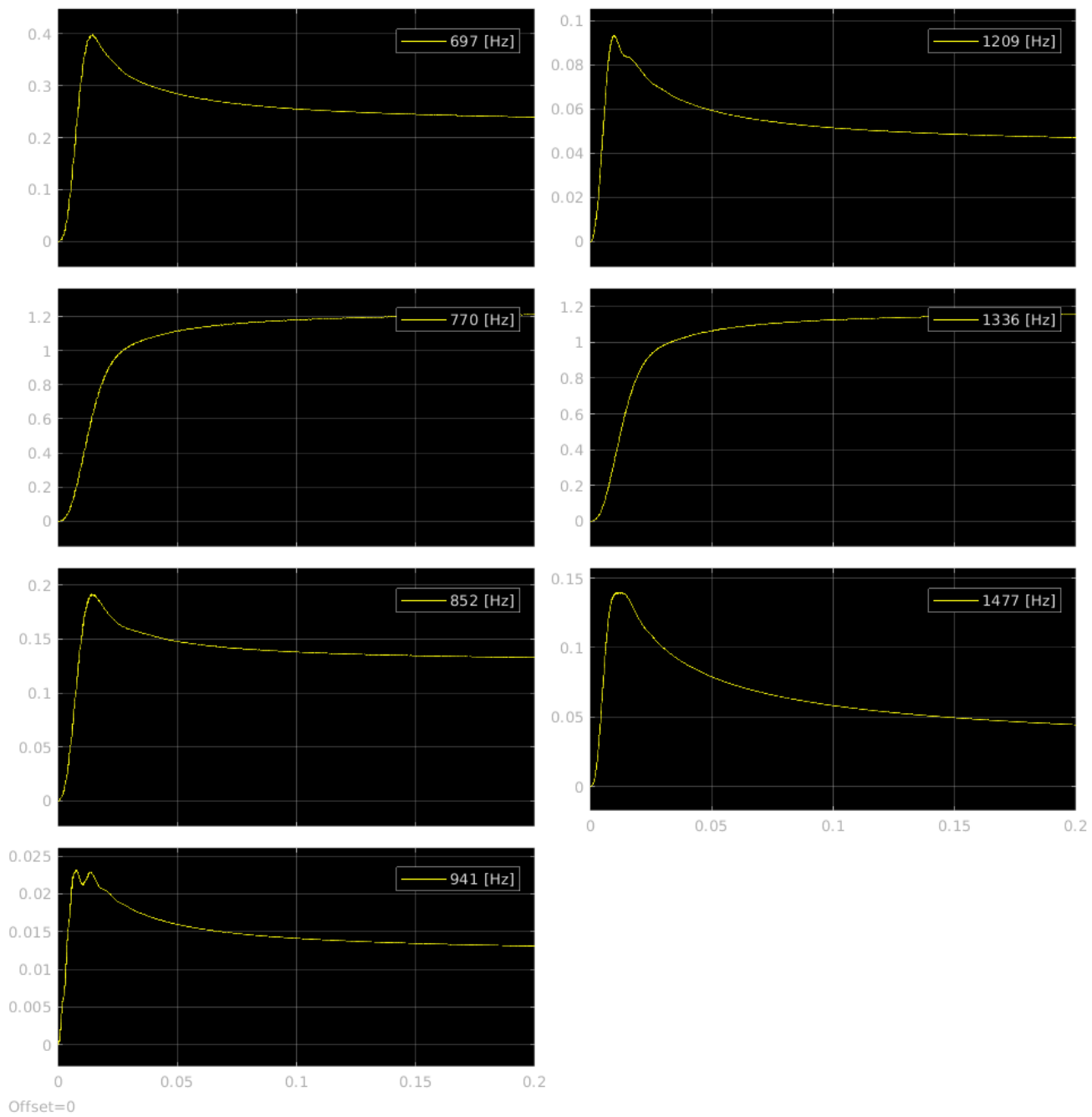


Figura D.10: Valor Eficaz de las salidas del Banco de Filtros

Ya que ambos valores eficaces de las señales que codifican la Tecla 5 son mayores a 1, se reconoce la activación de la misma.

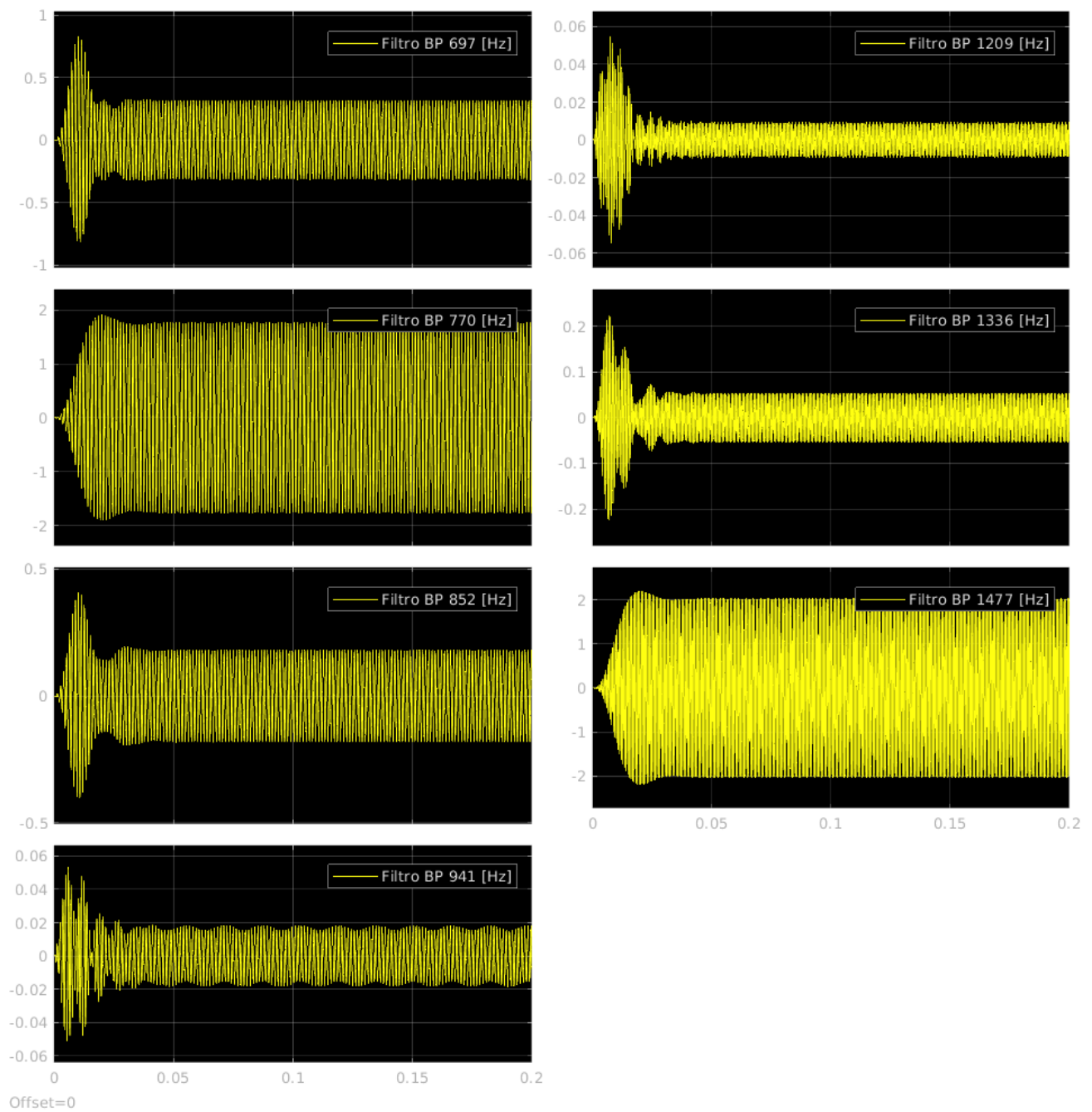
D.6. Número 6: 770 [Hz] + 1477 [Hz]

Figura D.11: Señales en el Banco de Filtro

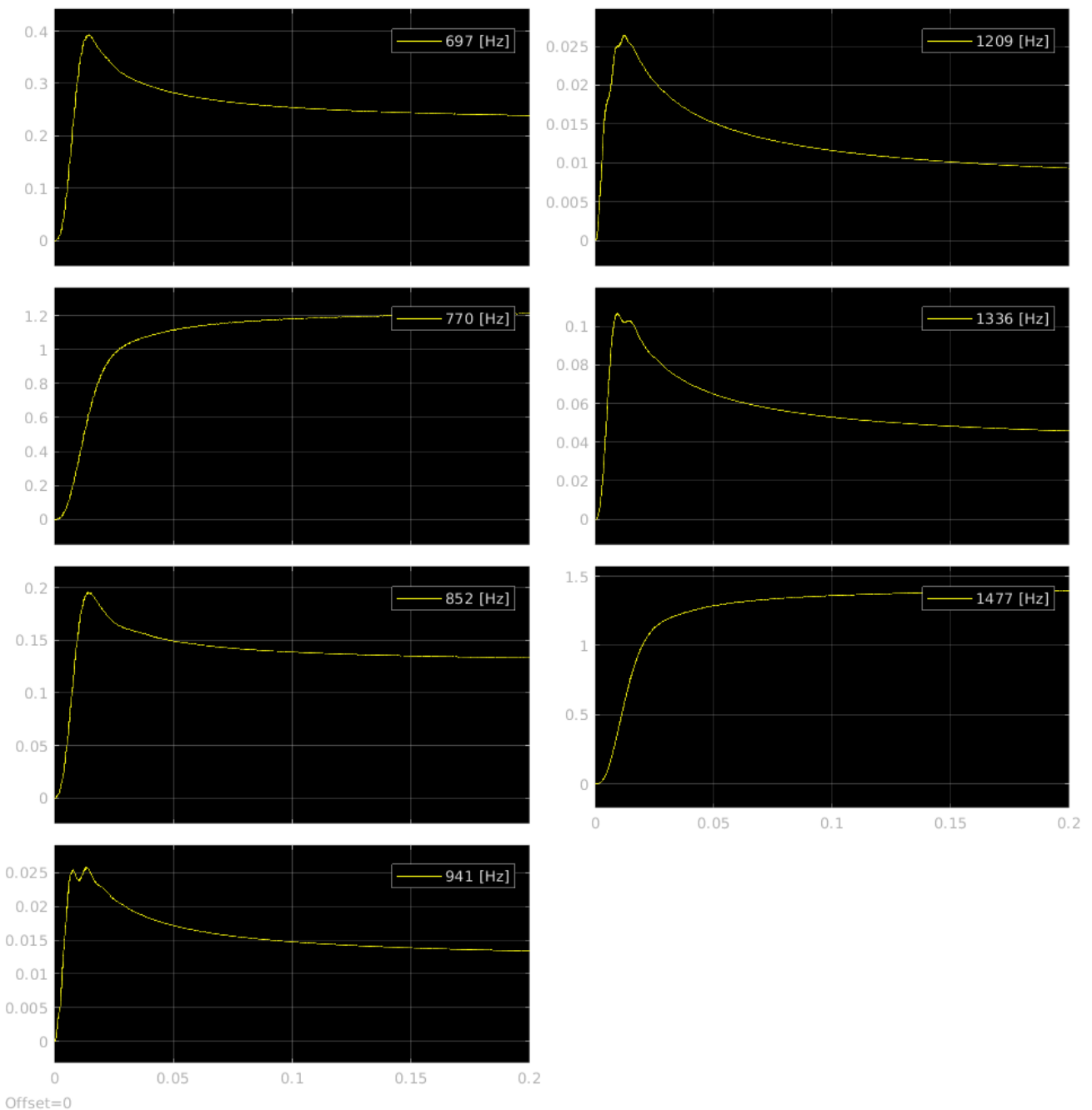


Figura D.12: Valor Eficaz de las salidas del Banco de Filtros

Ya que ambos valores eficaces de las señales que codifican la Tecla 6 son mayores a 1, se reconoce la activación de la misma.

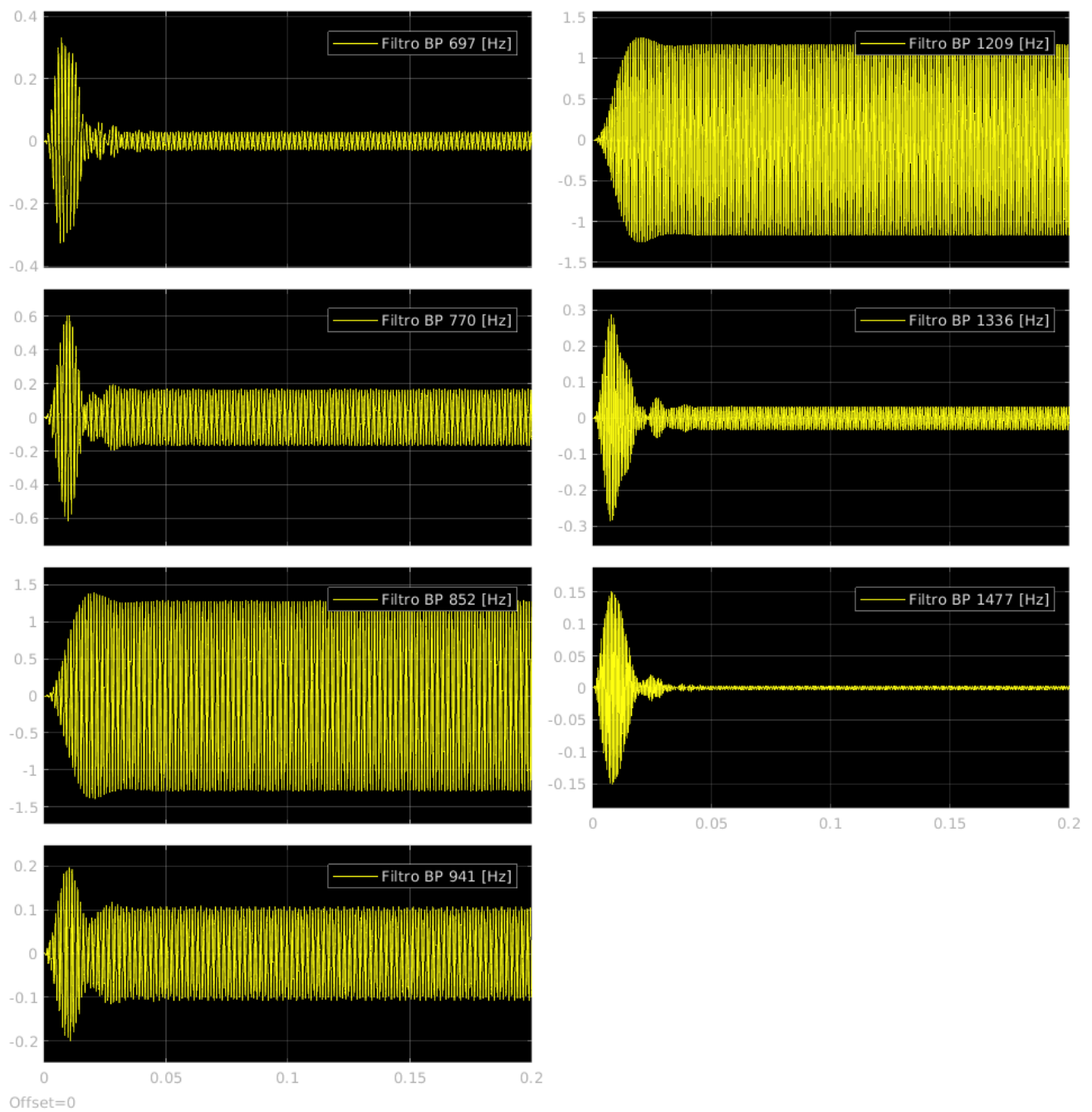
D.7. Número 7: 852 [Hz] + 1209 [Hz]

Figura D.13: Señales en el Banco de Filtro

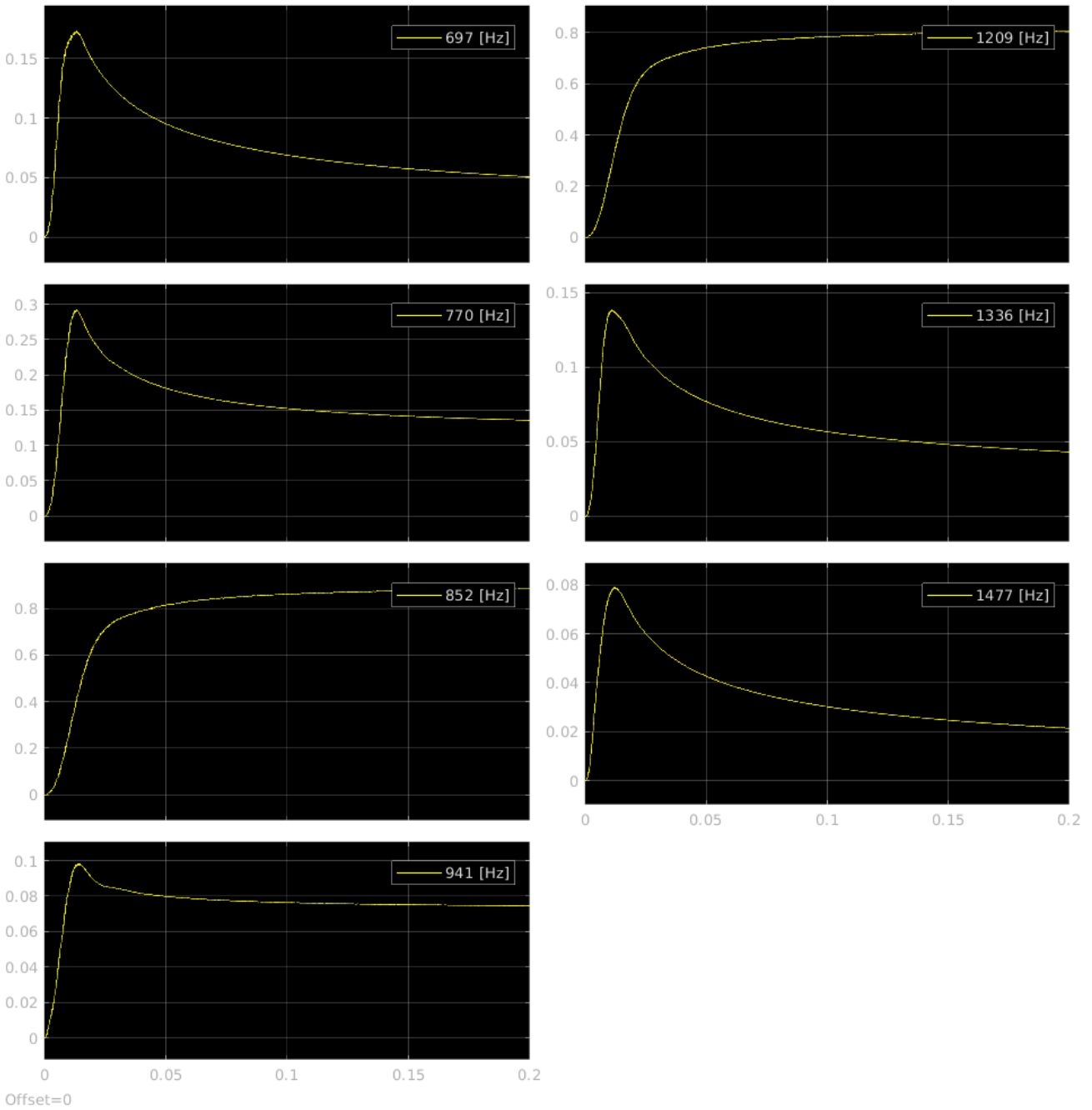


Figura D.14: Valor Eficaz de las salida del Banco de Filtros

Debido a que los valores eficaces de las señales que codifican a la Tecla 7 son menores a 1, estas se toman como 0 para la compuerta lógica. En consecuencia, no se reconoce la activación de la misma.

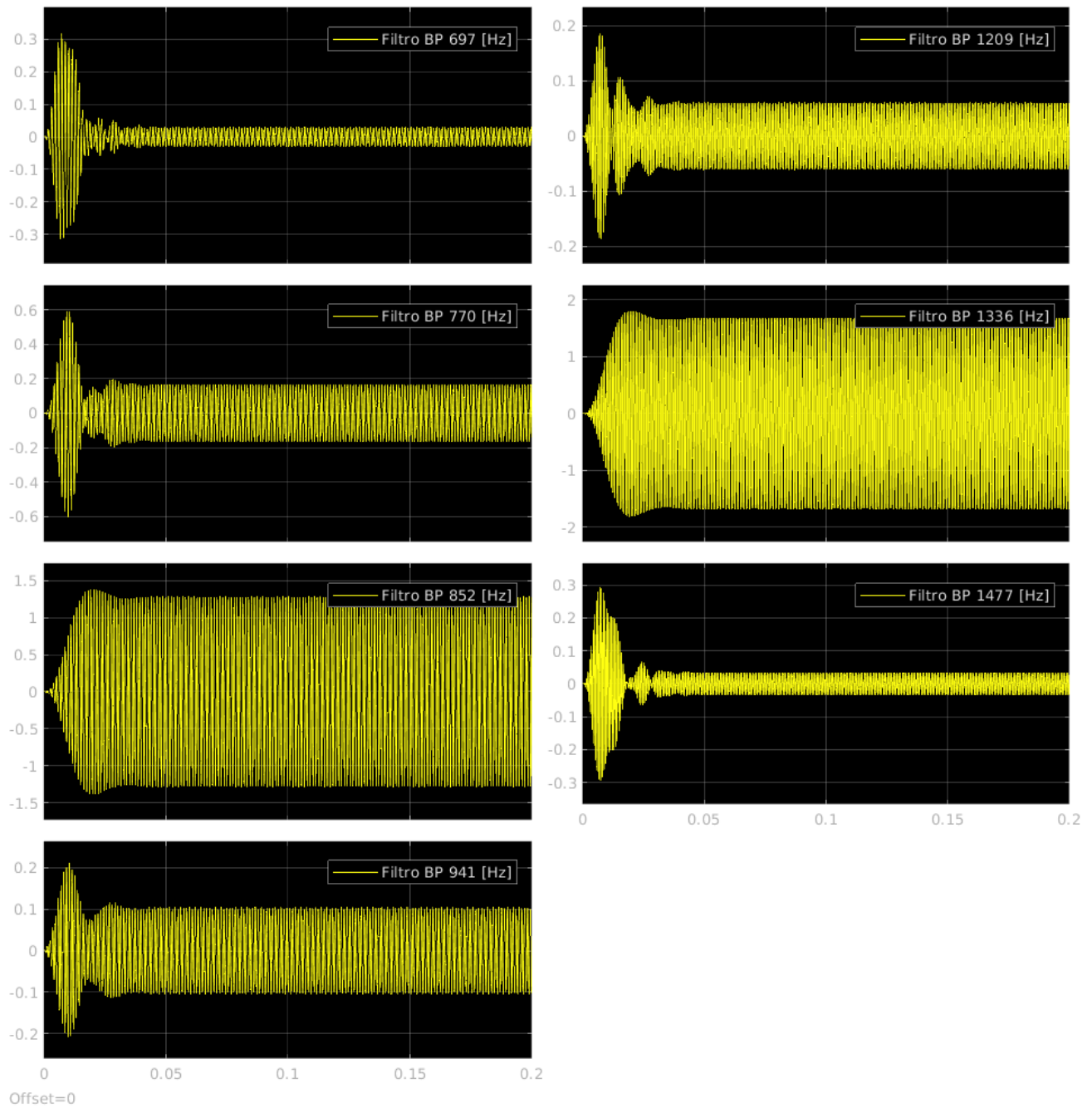
D.8. Número 8: 852 [Hz] + 1336 [Hz]

Figura D.15: Señales en el Banco de Filtro

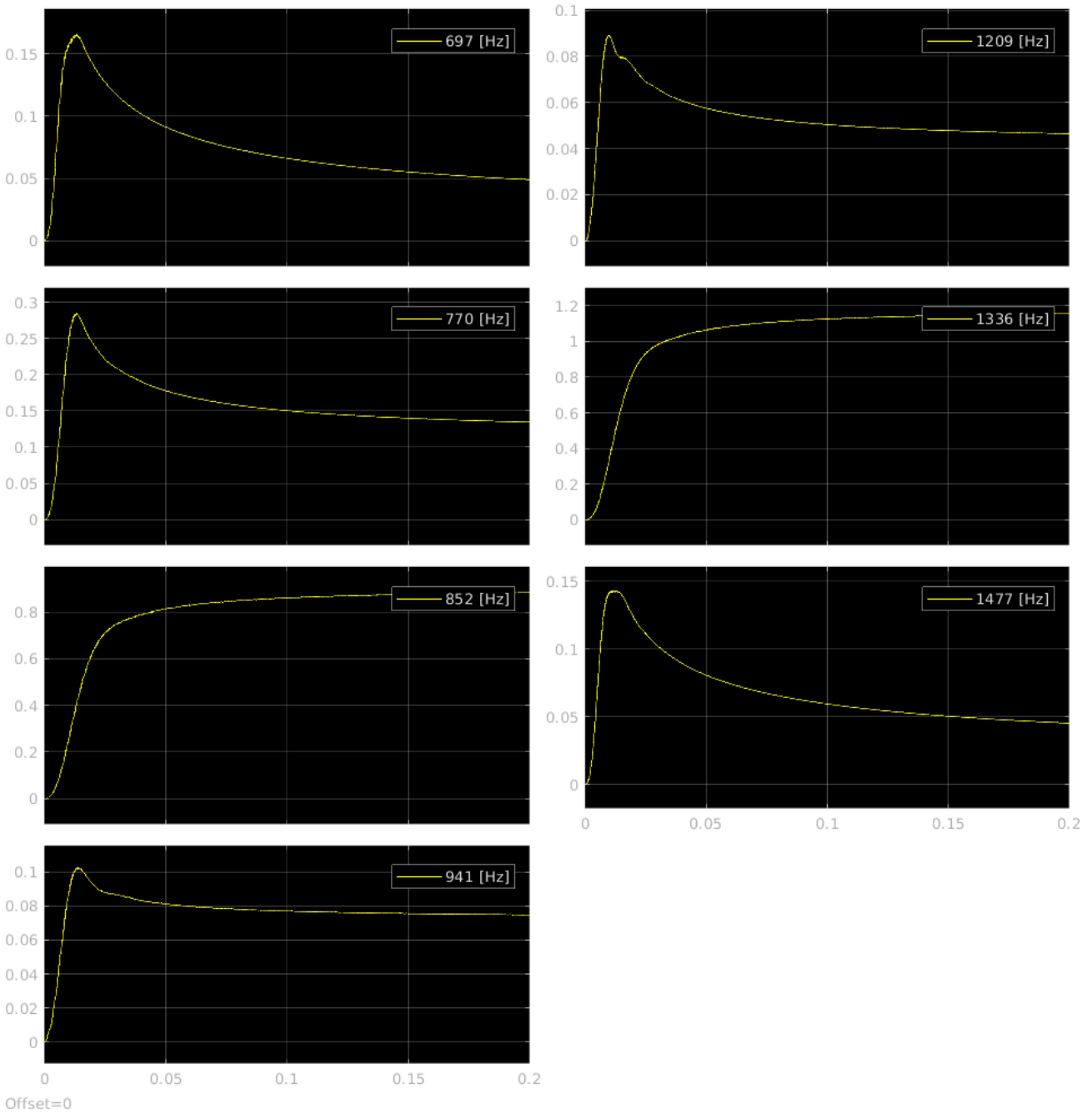


Figura D.16: Valor Eficaz de las salida del Banco de Filtros

Debido a que el valor eficaz de la señal del filtro de 852 [Hz] es menor a 1, esta se toma como 0 para la compuerta lógica. En consecuencia, no se reconoce la activación de la Tecla 8.

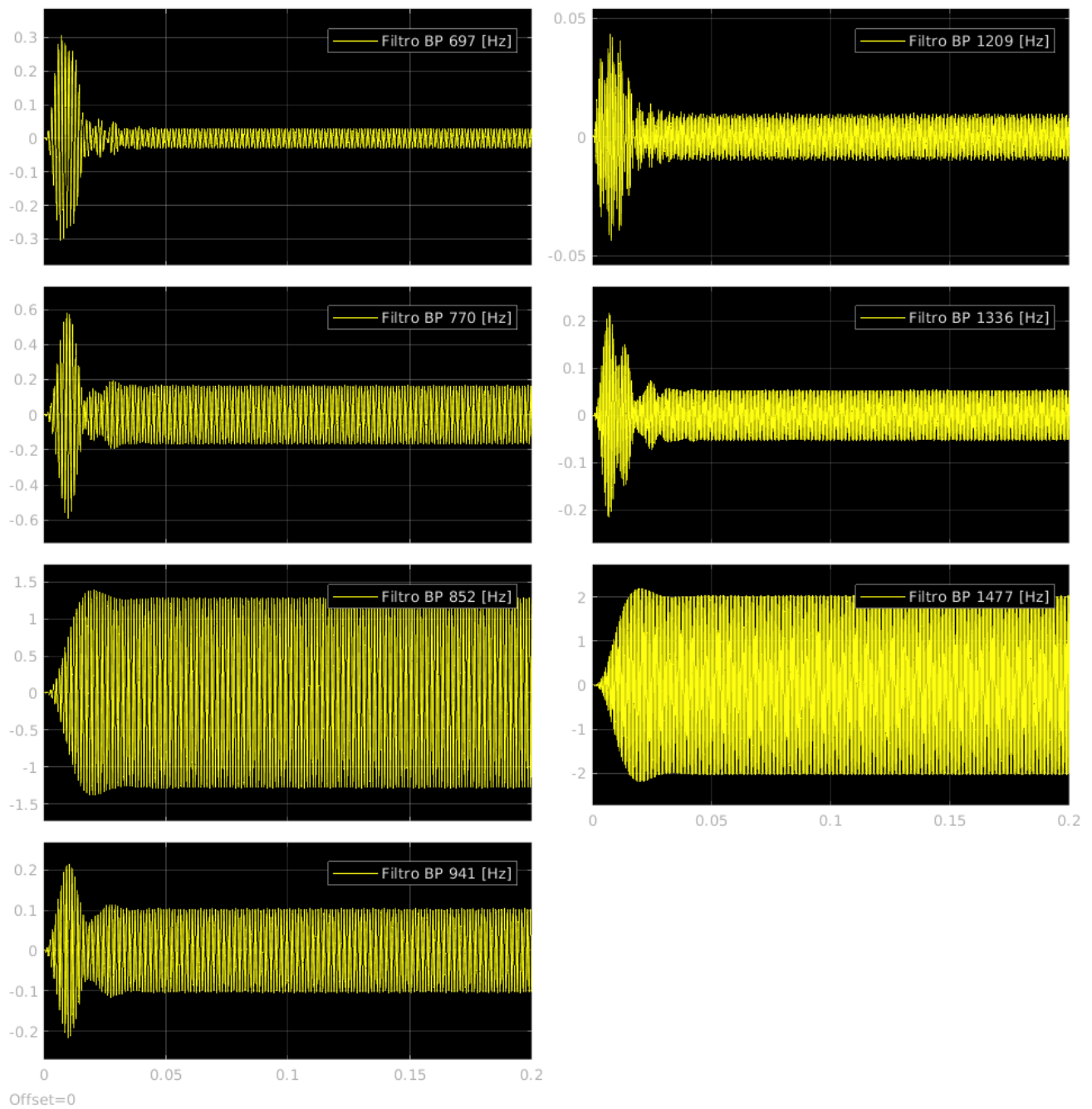
D.9. Número 9: 852 [Hz] + 1477 [Hz]

Figura D.17: Señales en el Banco de Filtro

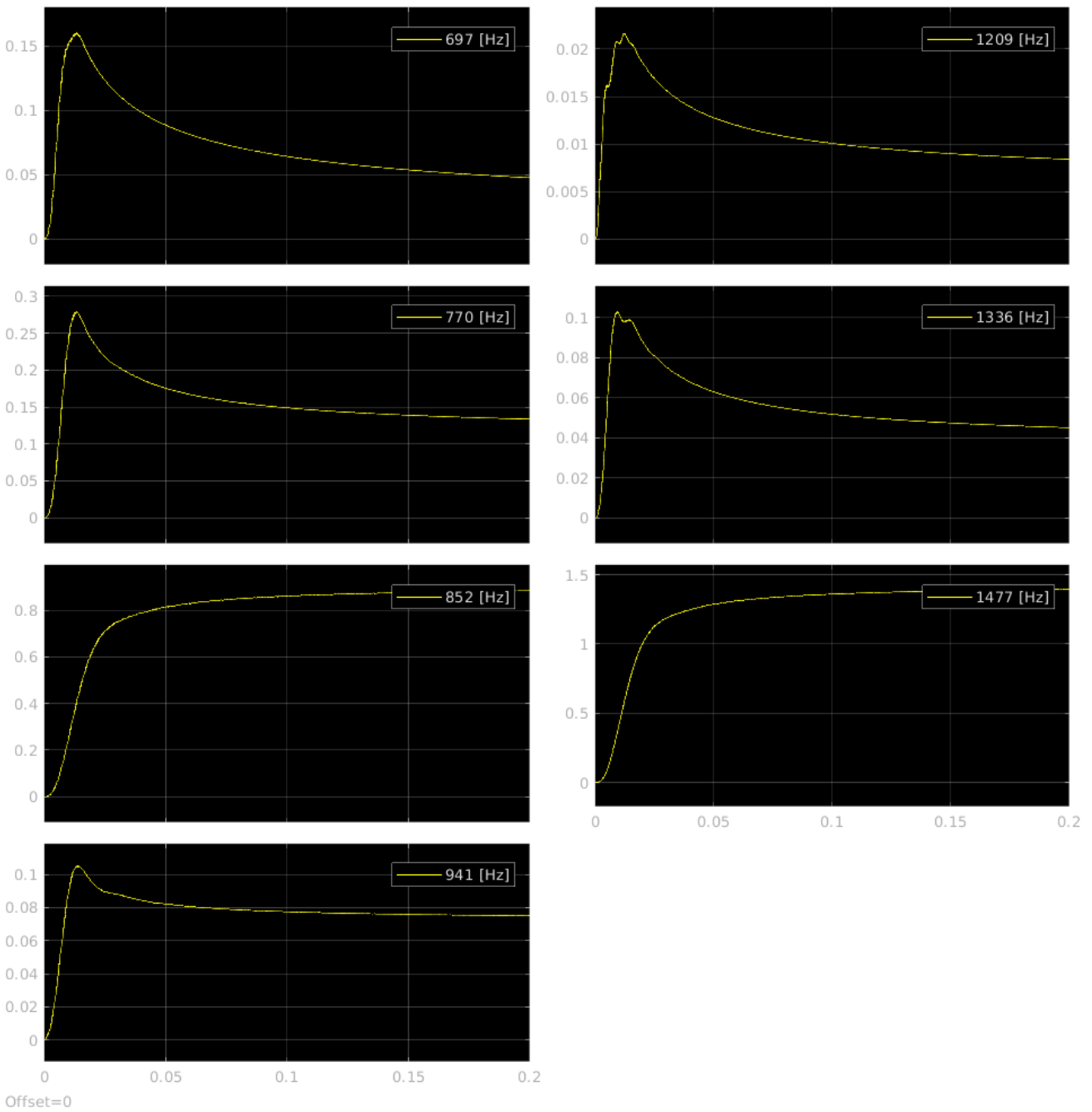


Figura D.18: Valor Eficaz de las salida del Banco de Filtros

Debido a que el valor eficaz de la señal del filtro de 852 [Hz] es menor a 1, esta se toma como 0 para la compuerta lógica. En consecuencia, no se reconoce la activación de la Tecla 9.

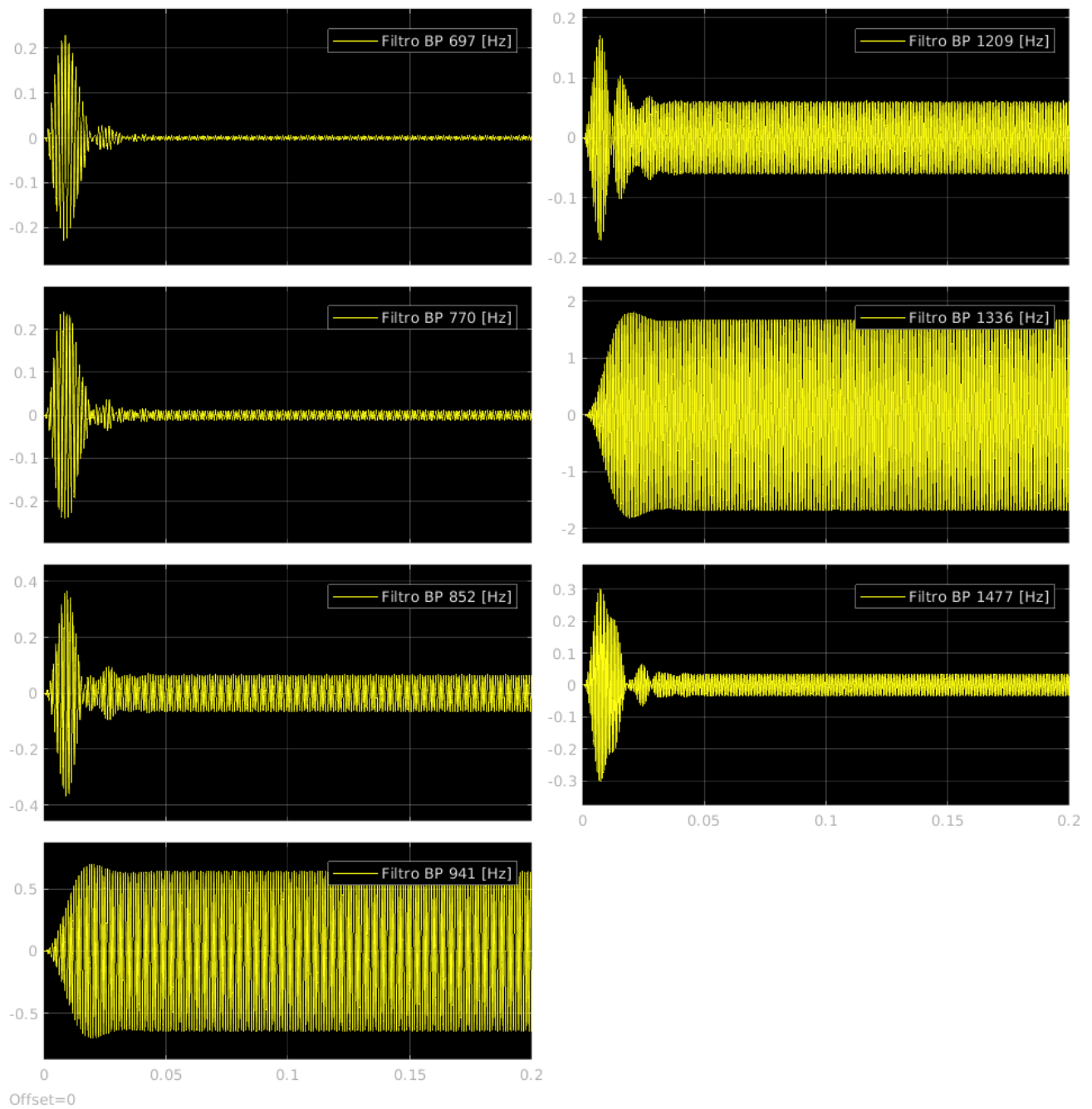
D.10. Número 0: 941 [Hz] + 1336 [Hz]

Figura D.19: Señales en el Banco de Filtro

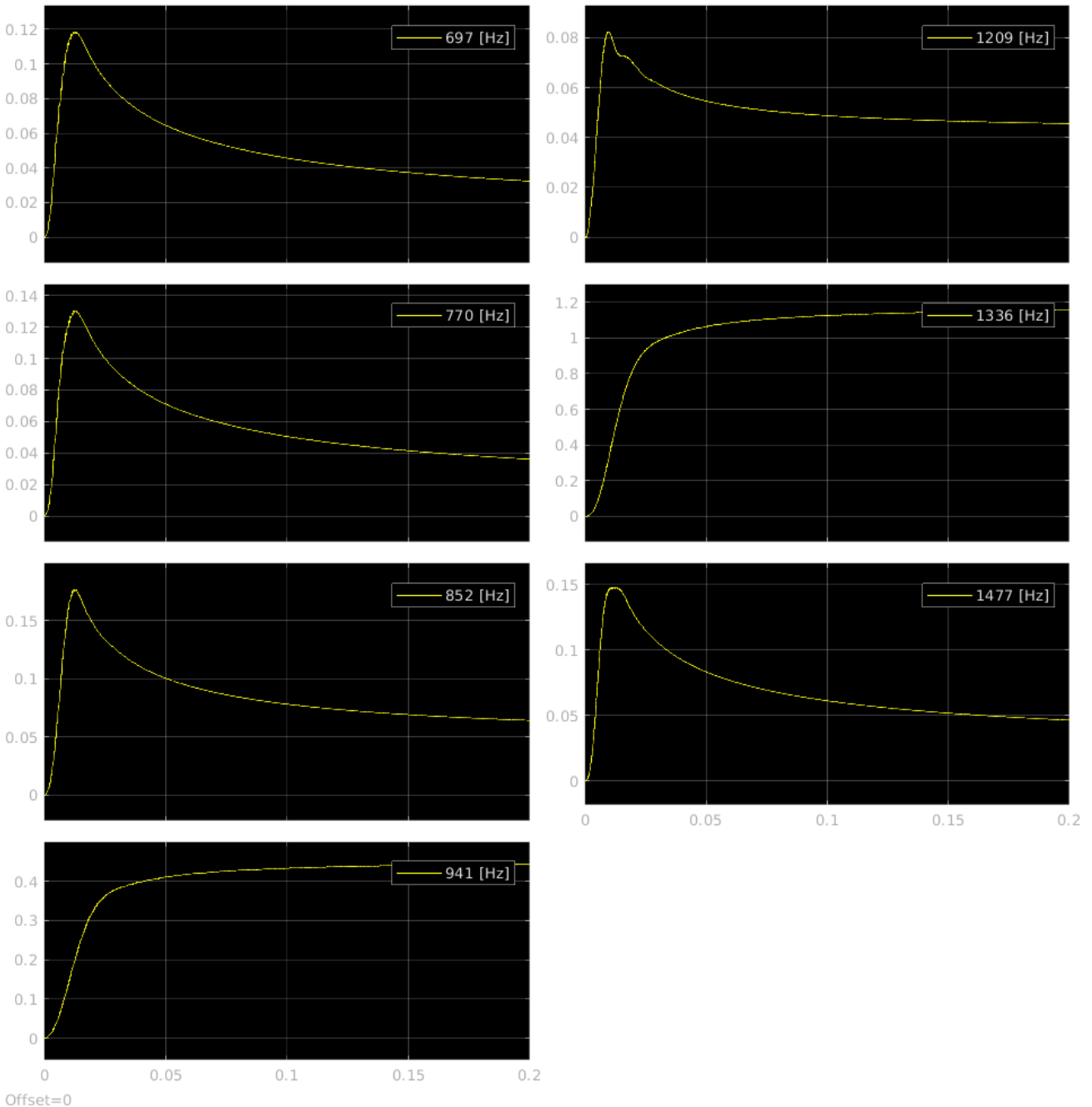


Figura D.20: Valor Eficaz de las salida del Banco de Filtros

Debido a que el valor eficaz de la señal del filtro de 941 [Hz] es menor a 1, esta se toma como 0 para la compuerta lógica. En consecuencia, no se reconoce la activación de la Tecla 0.